

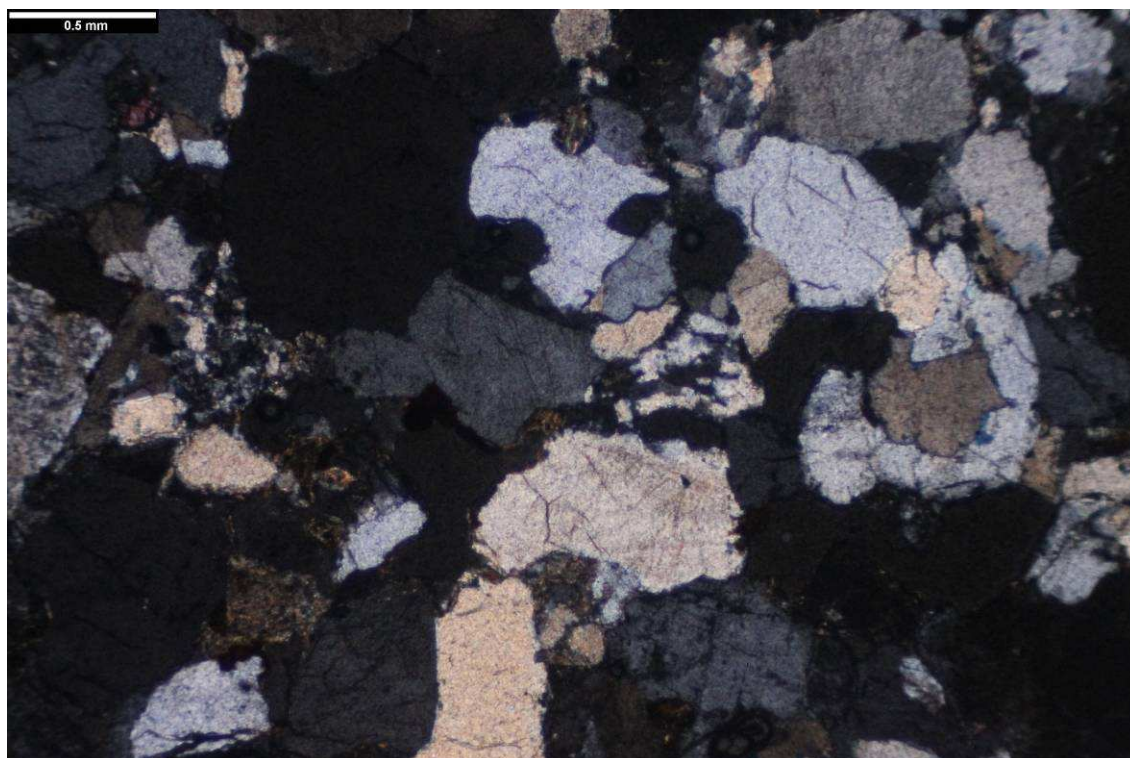
## PŘÍLOHY

### I Petrografická charakteristika zkoušených hornin

#### Vzorek KM-ZE

Makropopis: klastická sedimentární hornina šedoběžové barvy, na makrovzorku není patrné usměrnění.

Mikropopis: Klastická složka horniny je z největší části, přibližně 60%, zastoupena suboválnými až subangulárními křemennými zrny, které mají mono- i polykrystalický charakter (v druhém případě pocházejí z magmatických i metamorfovaných hornin). Jejich velikost se pohybuje od přibližně 0,1 mm do 1,5 mm. Další hojně zastoupenou složkou jsou klasty K živce (asi 20 obj. %). Dále je přítomen muskovit, který tvoří přibližně 12 obj. % horniny, dále jsou přítomny úlomky silicitu a v akcesorickém množství jsou přítomny opakní minerály. Matrix tvoří přibližně 5% veškeré hmoty a je tvořena křemičitým gelem s drobným podílem jílových minerálů. Hornina je zrnitostně středně vytríděná. Struktura horniny má subangulárně až suboválně psammitický charakter, dle množství pojiva ji lze označit jako pórovou.

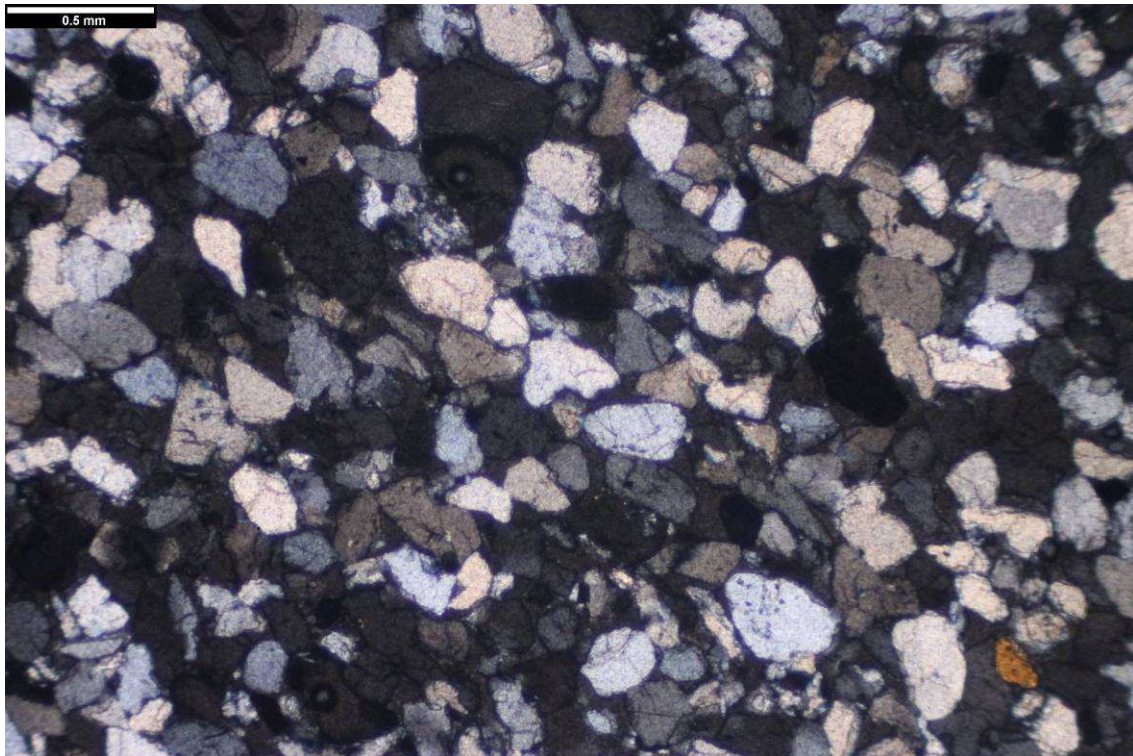


Obr. 19. Mikrofotografie neporušené horniny (vzorek KM-ZE).

### Vzorek KM-ZE1

Makropopis: klastická sedimentární hornina šedobílé barvy, bez znatelné sedimentární vrstevnatosti.

Mikropopis: Nejvíce zastoupenou klastickou složkou horniny jsou křemenné klasy (80 obj. %), převážně suboválné. Velikost křemenných zrn se pohybuje 0,05 do 0,3 mm. Další složkou horniny je slída – muskovit, který tvoří přibližně 15 obj. % horniny. Základní hmota (jílové minerály) tvoří přibližně 5 %. Akcesoricky se vyskytují opakní minerály. Hornina je velmi dobře vytríděna, struktura suboválně psammitická, pórová.

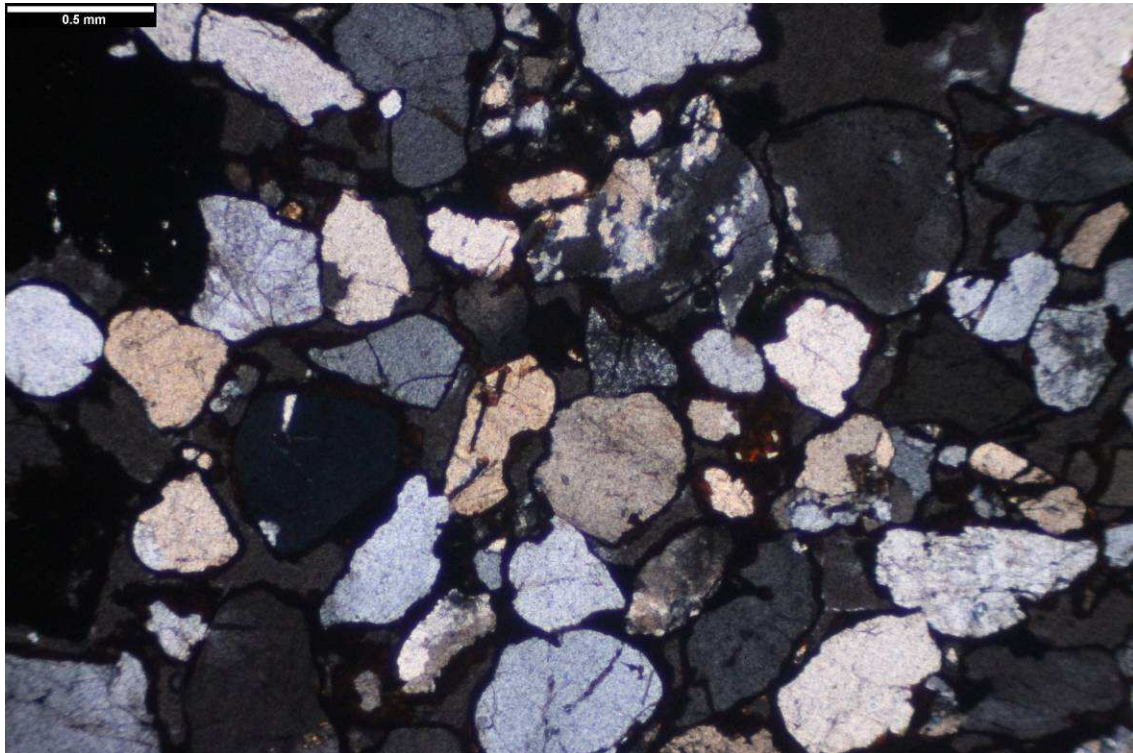


Obr. 20. Mikrofotografie neporušené horniny (vzorek KM-ZE1).

### Vzorek KM-ZE2

Makropopis: klastická sedimentární hornina s hojným tmelem tvořeným Fe-oxyhydroxidy, které dodávají rudohnědé zbarvení. Na makrovzorku dobře patrná proměnlivá velikost zrn (gradační zvrstvení).

Mikropopis: Z klastických součástí jsou přítomny pouze křemenné klasty, které mají subangulární až suboválné omezení. Velikost křemenných zrn se pohybuje od 0,03 mm do 0,8 mm. Velmi hojné povlaky pojiva (opakní minerály ze skupiny Fe-oxyhydroxidů) dodávají subangulárně psammitické struktúře korosivní charakter.

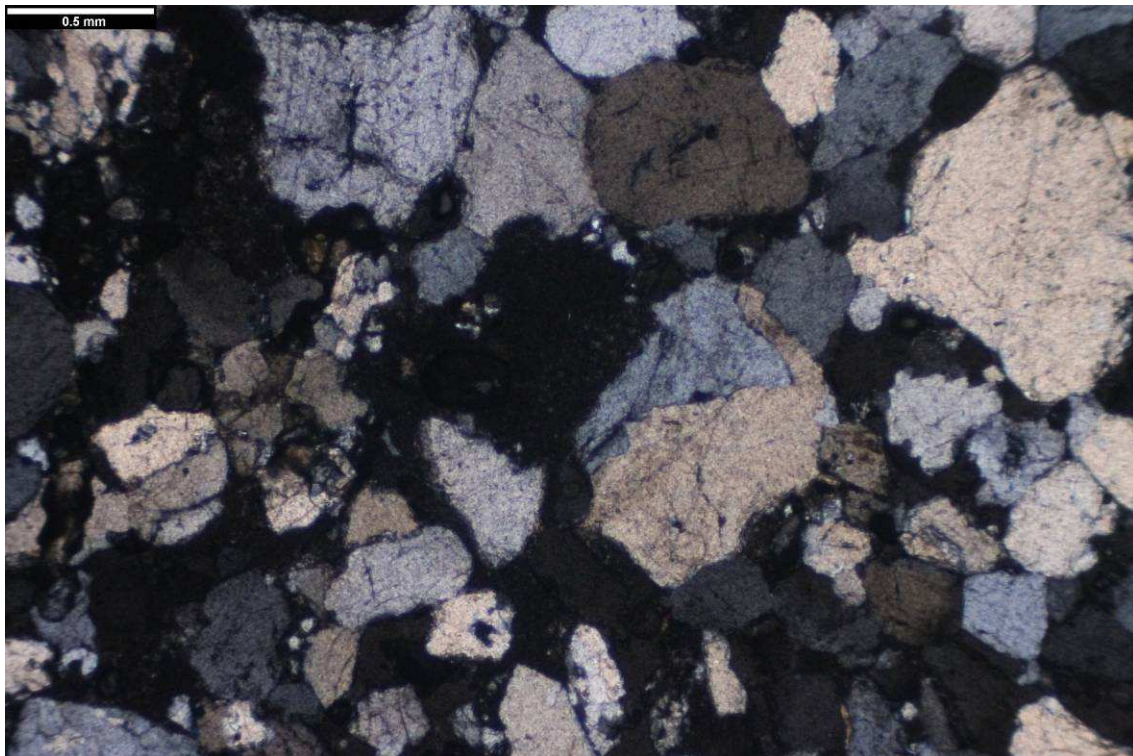


Obr. 21. Mikrofotografie neporušené horniny (vzorek KM-ZE2).

## Vzorek KO-S

Makropopis: klastická sedimentární hornina šedobílé barvy, na makrovzorku dobře patrná proměnlivá velikost zrn (gradační zvrstvení).

Mikropopis: Nejvíce zastoupenou klastickou složkou horniny jsou monokrystalické křemenné klasty (80 obj. %), převážně suboválné, doprovázené polykrystalickými křemennými agregáty, pocházejícími z magmatických i metamorfovaných hornin. Velikost křemenných zrn se pohybuje 0,05 do 2,5 mm. Další složkou horniny je slída – muskovit, který tvoří přibližně 5 obj. % horniny. Základní hmota ( $\text{SiO}_2$ , případně jílové minerály) tvoří přibližně 5 %. Akcesoricky se vyskytují opakní minerály. Hornina je středně dobře vytríděna, struktura suboválně psammitická, pórová.

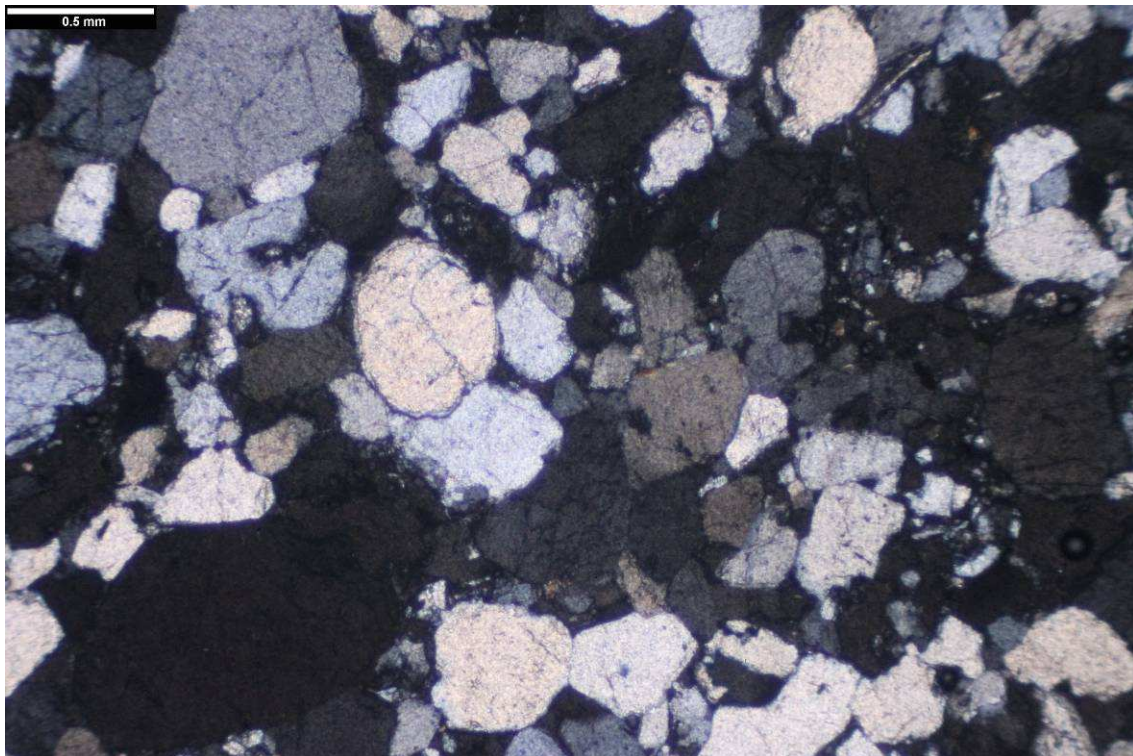


Obr. 22. Mikrofotografie neporušené horniny (vzorek KO-S).

## Vzorek KO-M

Makropopis: klastická sedimentární hornina šedobílé barvy, na makrovzorku dobře patrná proměnlivá velikost zrn (gradační zvrstvení).

Mikropopis: Nejvíce zastoupenou klastickou složkou horniny jsou monokrystalické křemenné klasty (80 obj. %), převážně suboválné, doprovázené polykrystalickými křemennými agregáty, pocházejícími z magmatických i metamorfovaných hornin. Velikost křemenných zrn se pohybuje 0,05 do 2,5 mm. Další složkou horniny je slída – muskovit, který tvoří přibližně 5 obj. % horniny. Základní hmota ( $\text{SiO}_2$ , případně jílové minerály) tvoří přibližně 5 %. Akcesoricky se vyskytují opakní minerály. Hornina je středně dobře vytríděna, struktura suboválně psammitická, pórová.



Obr. 23. Mikrofotografie neporušené horniny (vzorek KO-M).

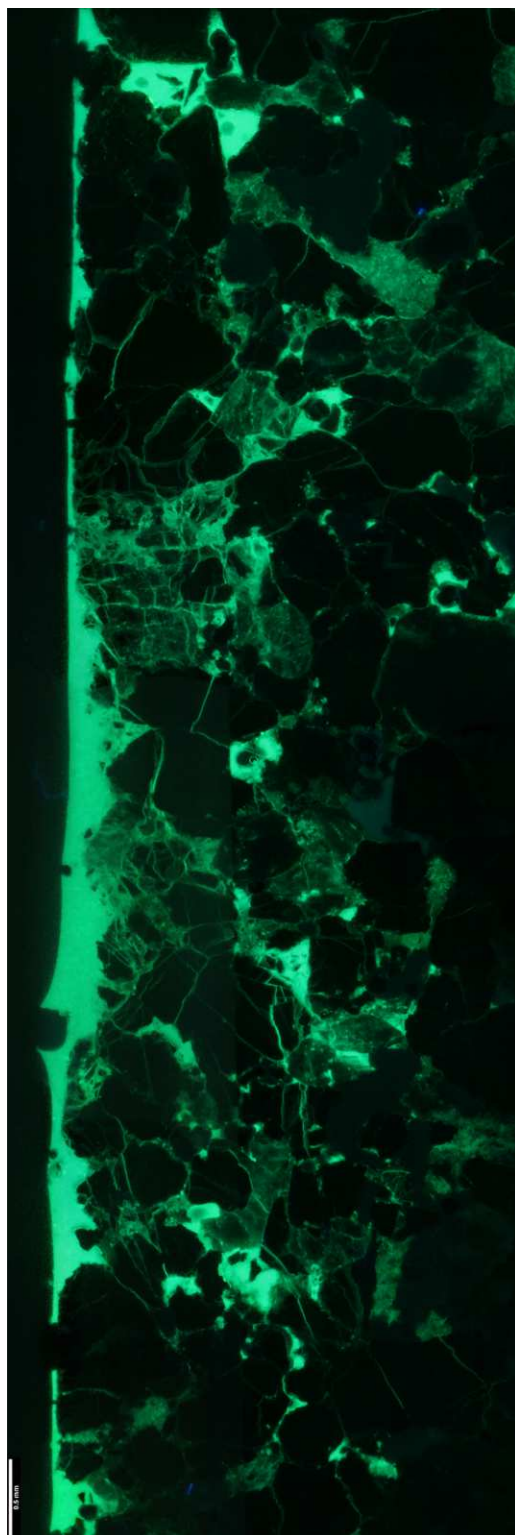
## II Tabulka naměřených hodnot odrazové tvrdosti

Tab. 13. Naměřené hodnoty odrazové tvrdosti.

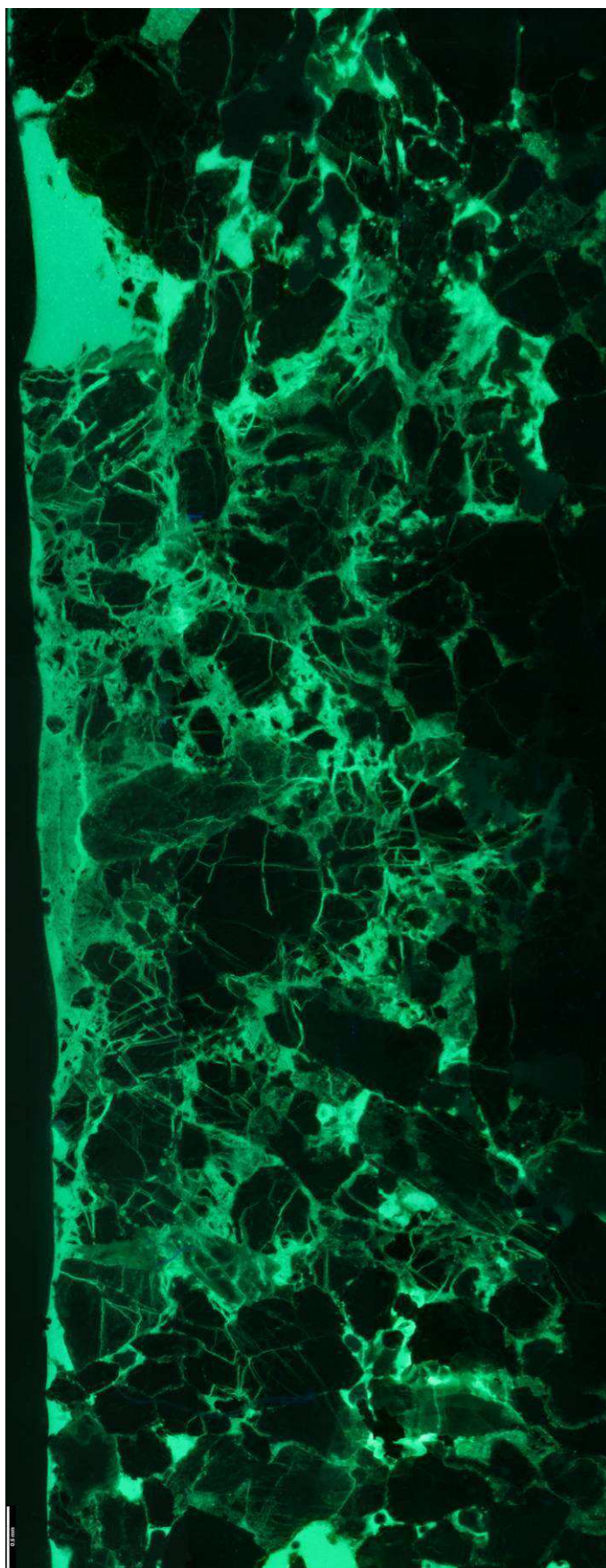
Označení vzorku	Orientace úderů	Hodnoty odrazové tvrdosti R						
		1	2	3	4	5	6	7
KM-ZE 1	svisle	38,2						
KM-ZE 2	svisle	44	47					
KM-ZE 3	vodorovně	33,5	36	40,7				
KM-ZE 4	vodorovně	30,7	38,2	40,2	41,2			
KM-ZE 5	vodorovně	31,8	37	43	45	39,8		
KM-ZE1 - 1	vodorovně	41,7						
KM-ZE1 - 2	vodorovně	40,2	45					
KM-ZE1 - 3	vodorovně	39,2	47,5	44,7				
KM-ZE1 - 4	vodorovně	38,5	40,5	42,5	46,5			
KM-ZE1 - 5	vodorovně	40,7	42,5	46,5	48,2	45		
KM-ZE2 - 1	svisle	34,1						
KM-ZE2 - 2	svisle	33,5	40,5					
KM-ZE2 - 3	svisle	34	39,5	36,5				
KM-ZE2 - 4	svisle	30,5	31,9	35,8	39,2			
KO-S1	svisle	16,5						
KO-S2	svisle	22	24,5					
KO-S3	svisle	17,5	17	20				
KO-S4	svisle	22,5	24,7	24,5	24,2			
KO-S5	svisle	24	24,5	26,2	26	24,1		
KO-S6	svisle	23,8	27	28,2	27,8	27,8	26,5	
KO-S7	svisle	25,5	27,8	26,5	27	27	26,8	26,1
KO-M1	svisle	19						
KO-M2	svisle	20,5	21,8					
KO-M3	svisle	25,8	25,2	25,2				
KO-M4	svisle	24,3	28	24	25			
KO-M5	svisle	22,5	22,3	26	25,7	25,9		
KO-M6	svisle	25,2	27	27	27,8	27,7	28	
KO-M7	svisle	21,8	23,1	21,9	25,3	24,2	24	23,8

### III Mikrofotografie drcených zón vytvořených dopadem razníku Schmidtova kladiva

Vzorek KM-ZE

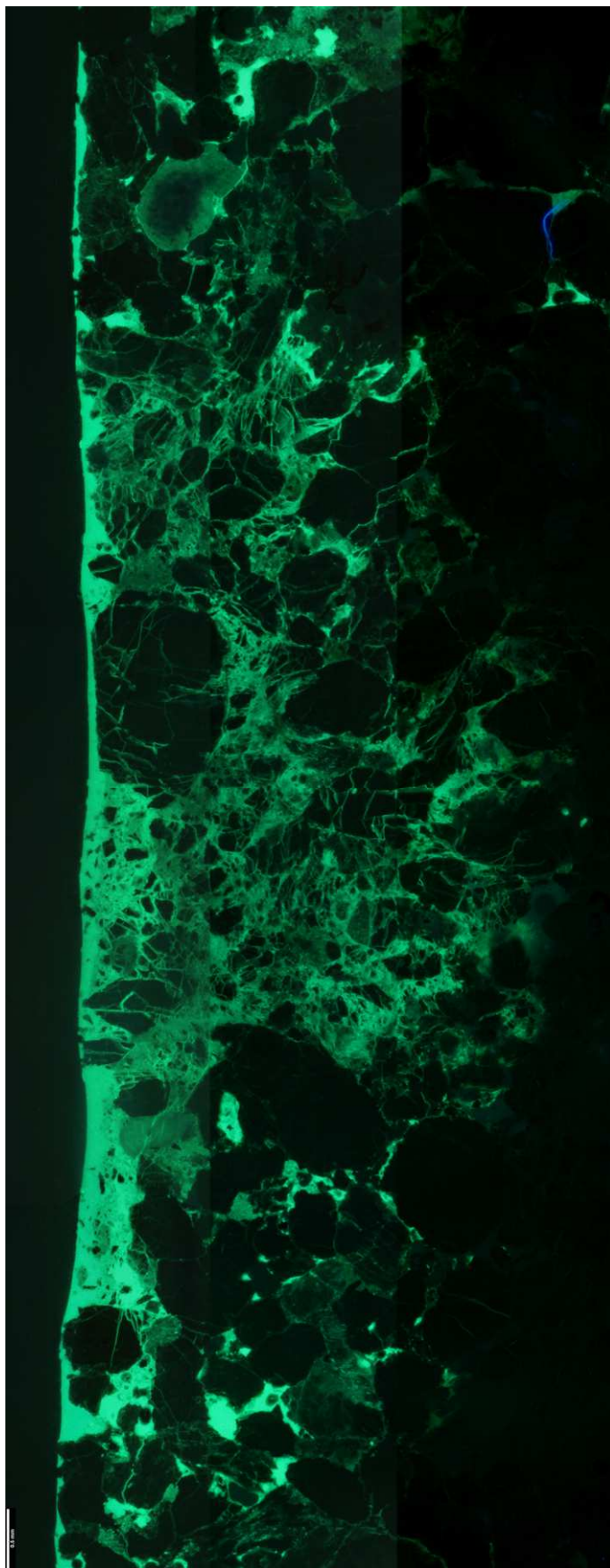


Obr. 24. Mikrofotografie dokumentující rozsah porušení horniny KM-ZE v místě dopadu razníku Schmidtova kladiva typu N (jeden úder). Měřítka v levém dolním rohu odpovídá délce 0,5 mm.

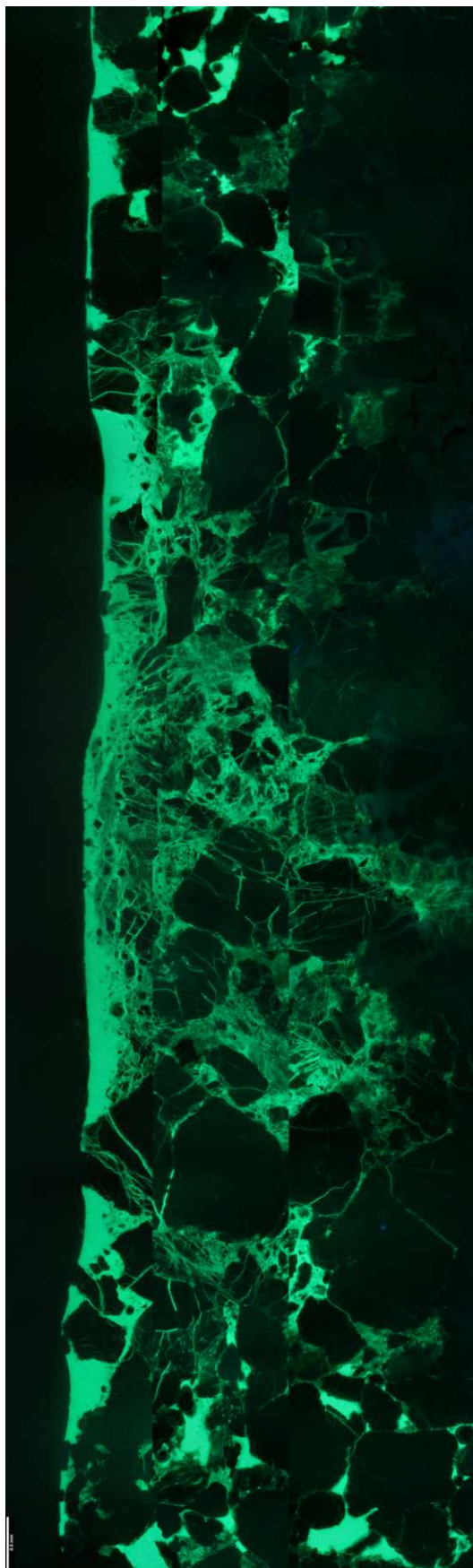


Obr. 25. Mikrofotografie dokumentující rozsah porušení horniny KM-ZE v místě dopadu razníku Schmidtova kladiva typu N (dva údery). Měřítka v levém dolním rohu odpovídá délce 0,5 mm.

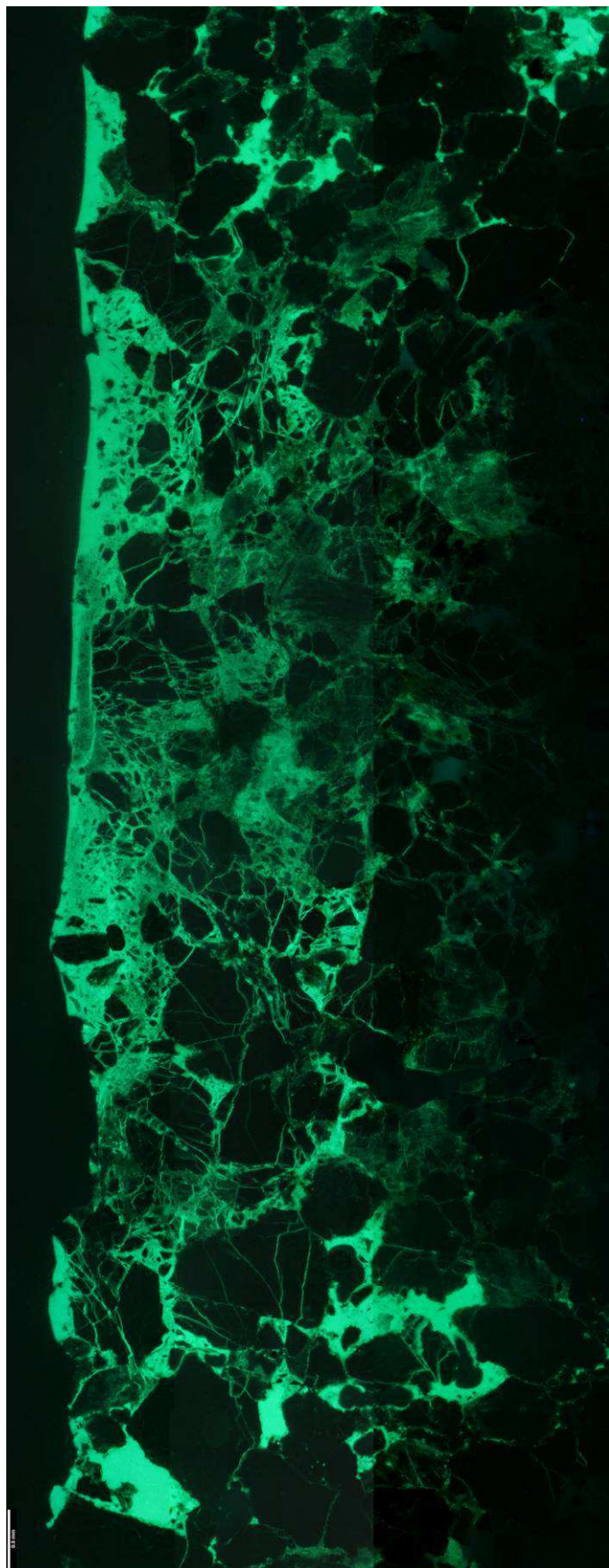




Obr. 26. Mikrofotografie dokumentující rozsah porušení horniny KM-ZE v místě dopadu razníku Schmidtova kladiva typu N (tři údery). Měřítka v levém dolním rohu odpovídá délce 0,5 mm.

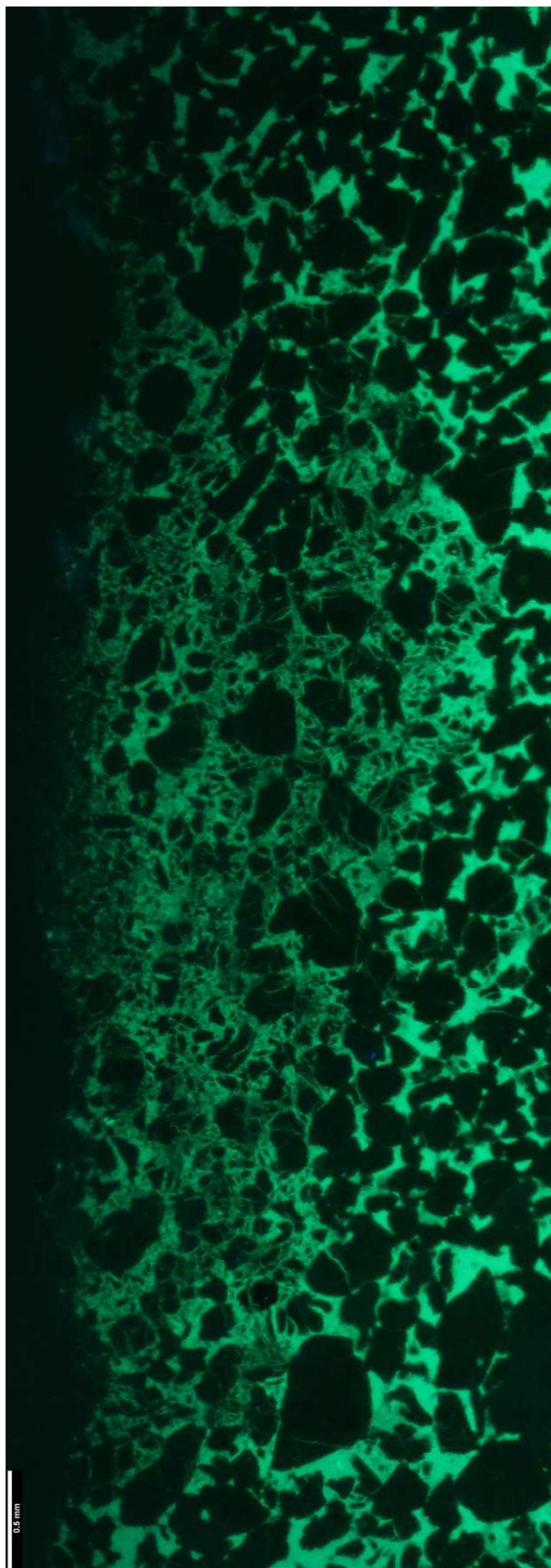


Obr. 27. Mikrofotografie dokumentující rozsah porušení horniny KM-ZE v místě dopadu razníku Schmidtova kladiva typu N (čtyři údery). Měřítka v levém dolním rohu odpovídá délce 0,5 mm.

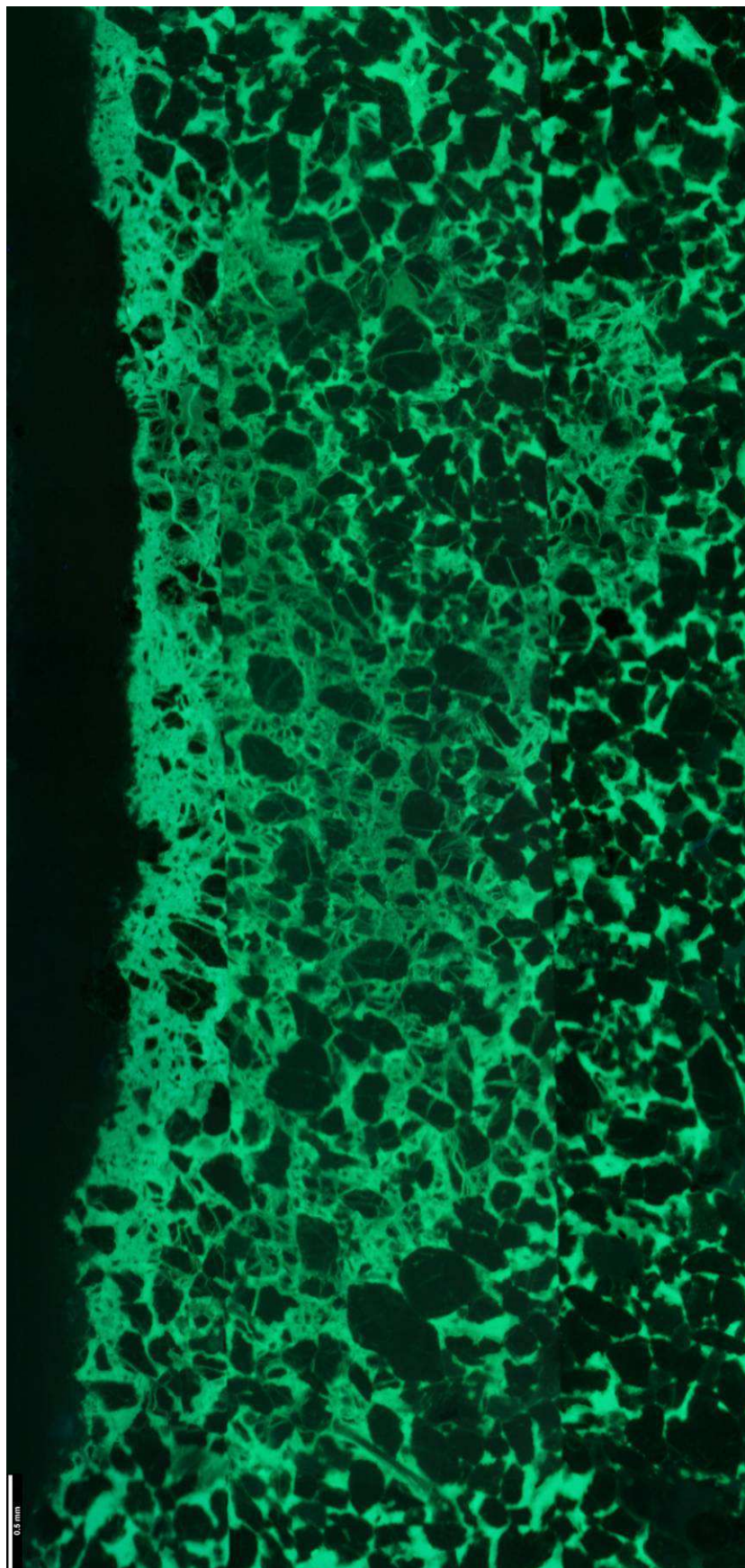


Obr. 28. Mikrofotografie dokumentující rozsah porušení horniny KM-ZE v místě dopadu razníku Schmidtova kladiva typu N (pět úderů). Měřítka v levém dolním rohu odpovídá délce 0,5 mm.

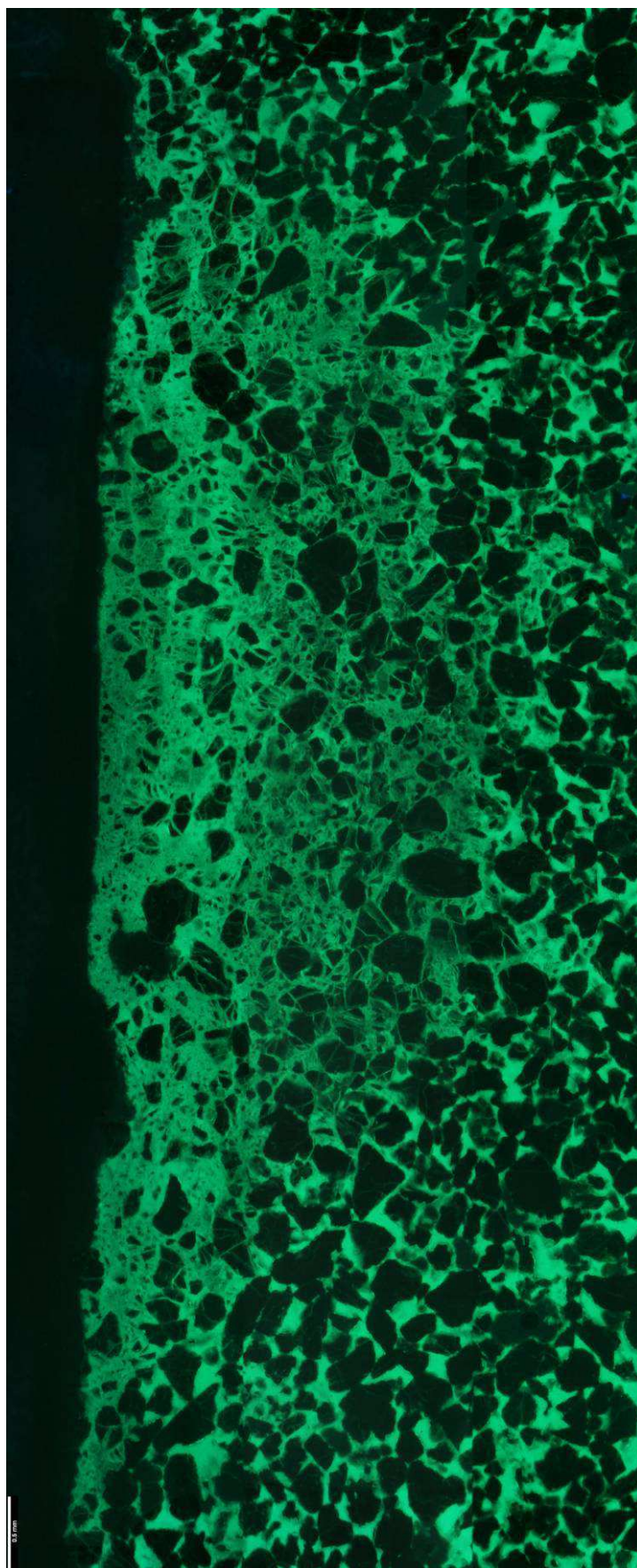
**Vzorek KM-ZE1**



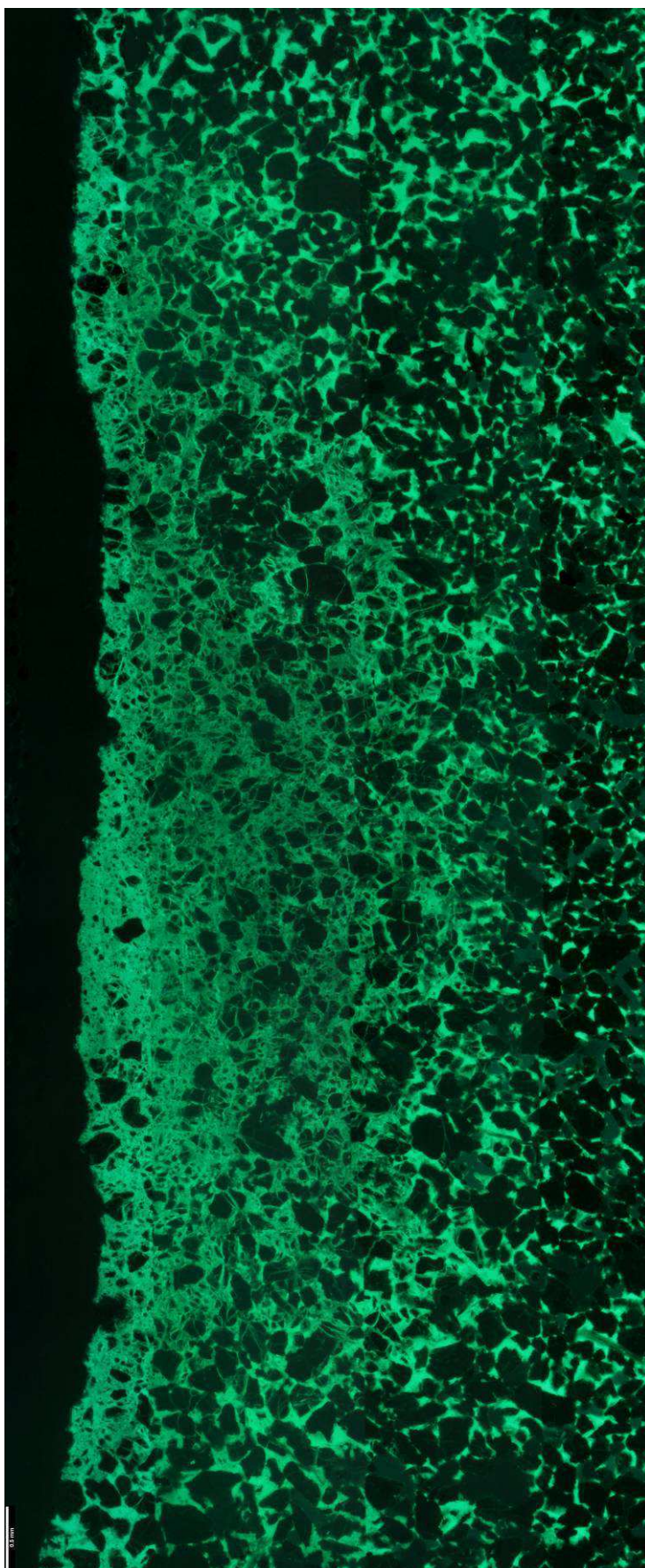
Obr. 29. Mikrofotografie dokumentující rozsah porušení horniny KM-ZE1 v místě dopadu razníku Schmidtova kladiva typu N (jeden úder). Měřítko v levém dolním rohu odpovídá délce 0,5 mm.



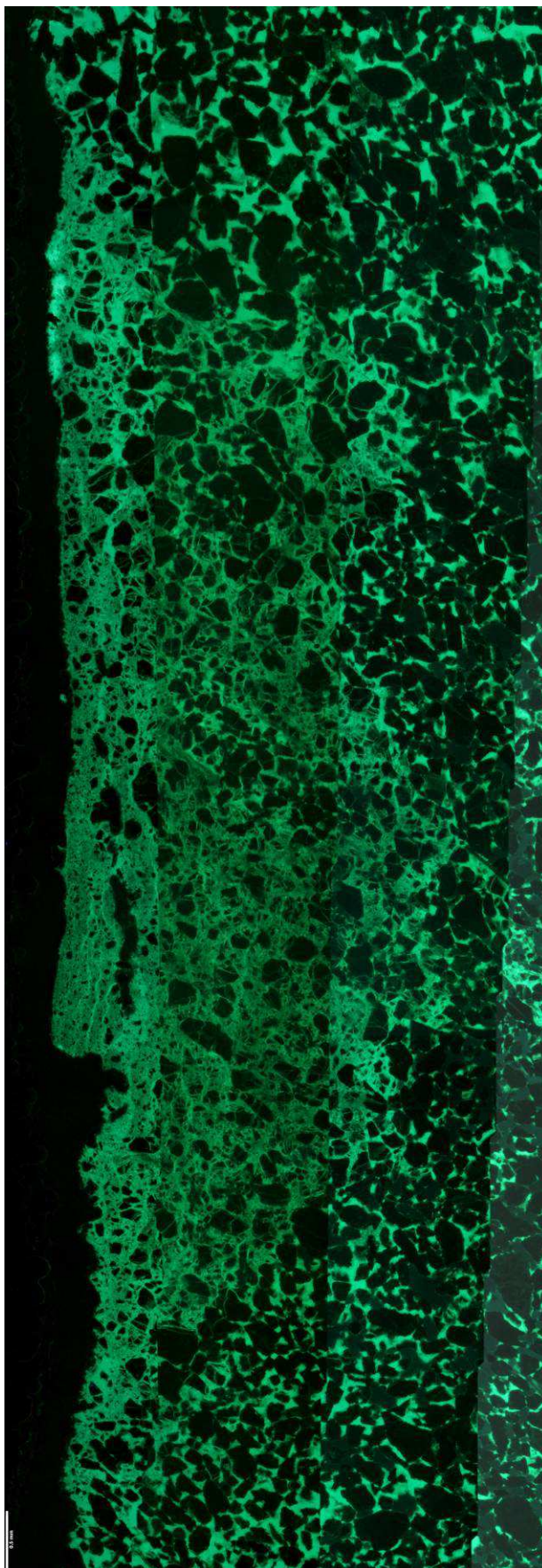
Obr. 30. Mikrofotografie dokumentující rozsah porušení horniny KM-ZE1 v místě dopadu razníku Schmidtova kladiva typu N (dva údery). Měřítka v levém dolním rohu odpovídá délce 0,5 mm.



Obr. 31. Mikrofotografie dokumentující rozsah porušení horniny KM-ZE1 v místě dopadu razníku Schmidtova kladiva typu N (tři údery). Měřítko v levém dolním rohu odpovídá délce 0,5 mm.



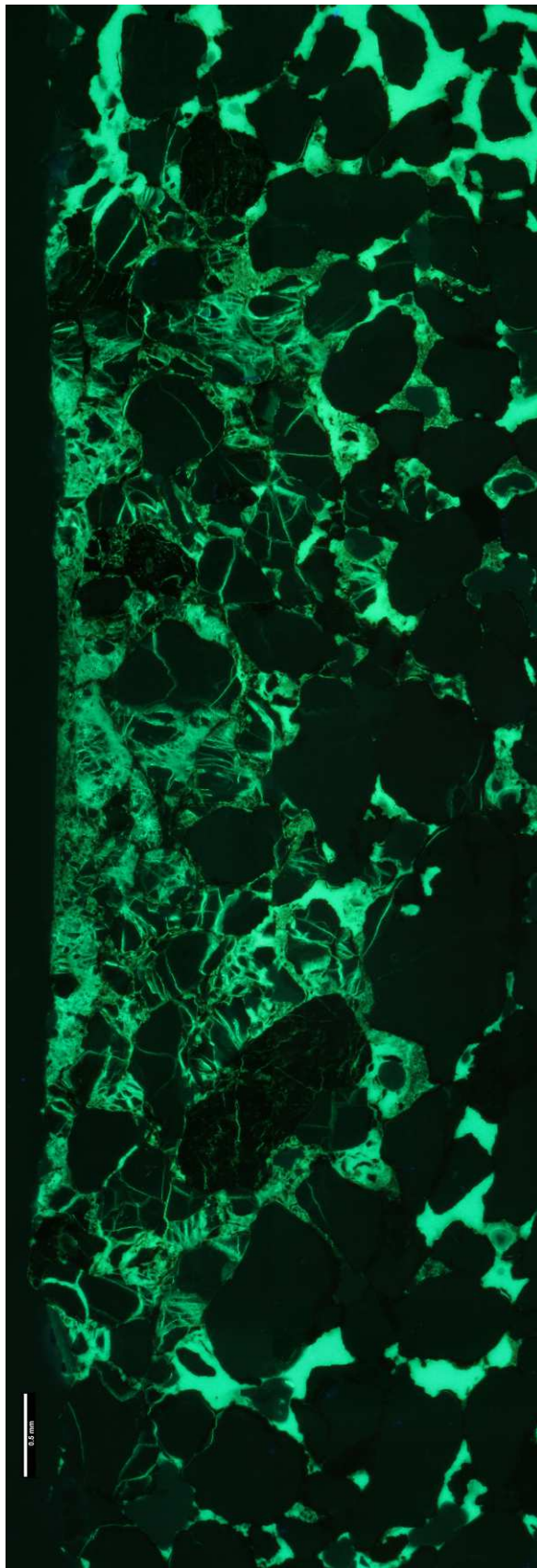
Obr. 32. Mikrofotografie dokumentující rozsah porušení horniny KM-ZE1 v místě dopadu razníku Schmidtova kladiva typu N (čtyři údery). Měřítka v levém dolním rohu odpovídá délce 0,5 mm.



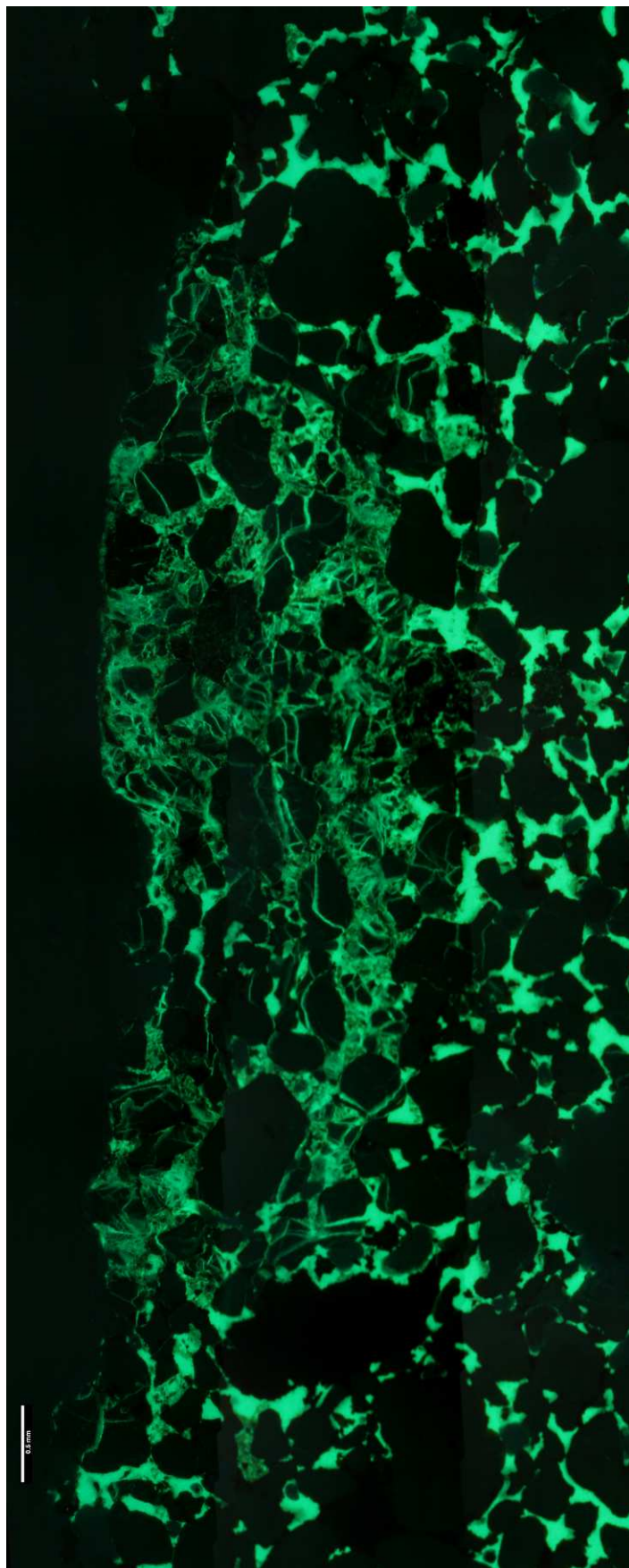
Obr. 33. Mikrofotografie dokumentující rozsah porušení horniny KM-ZE1 v místě dopadu razníku Schmidtova kladiva typu N (pět úderů). Měřítka v levém dolním rohu odpovídá délce 0,5 mm.



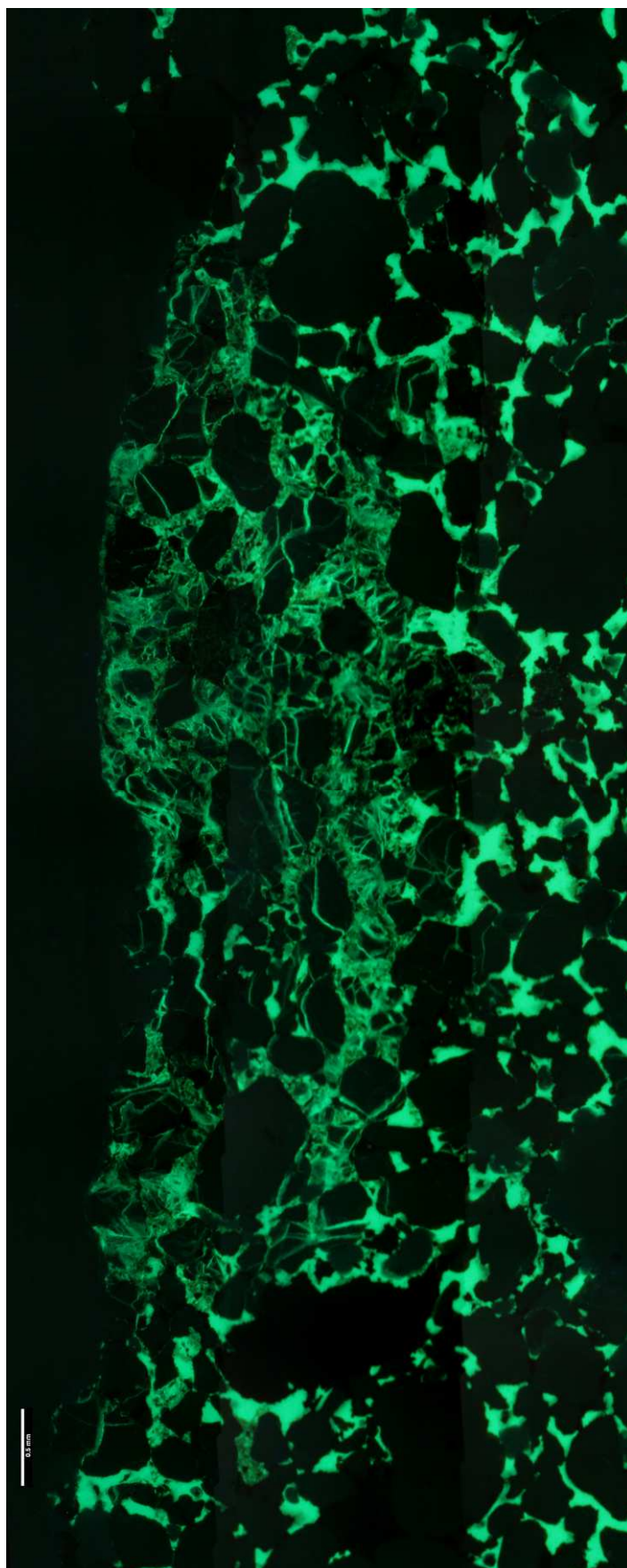
**Vzorek KM-ZE2**



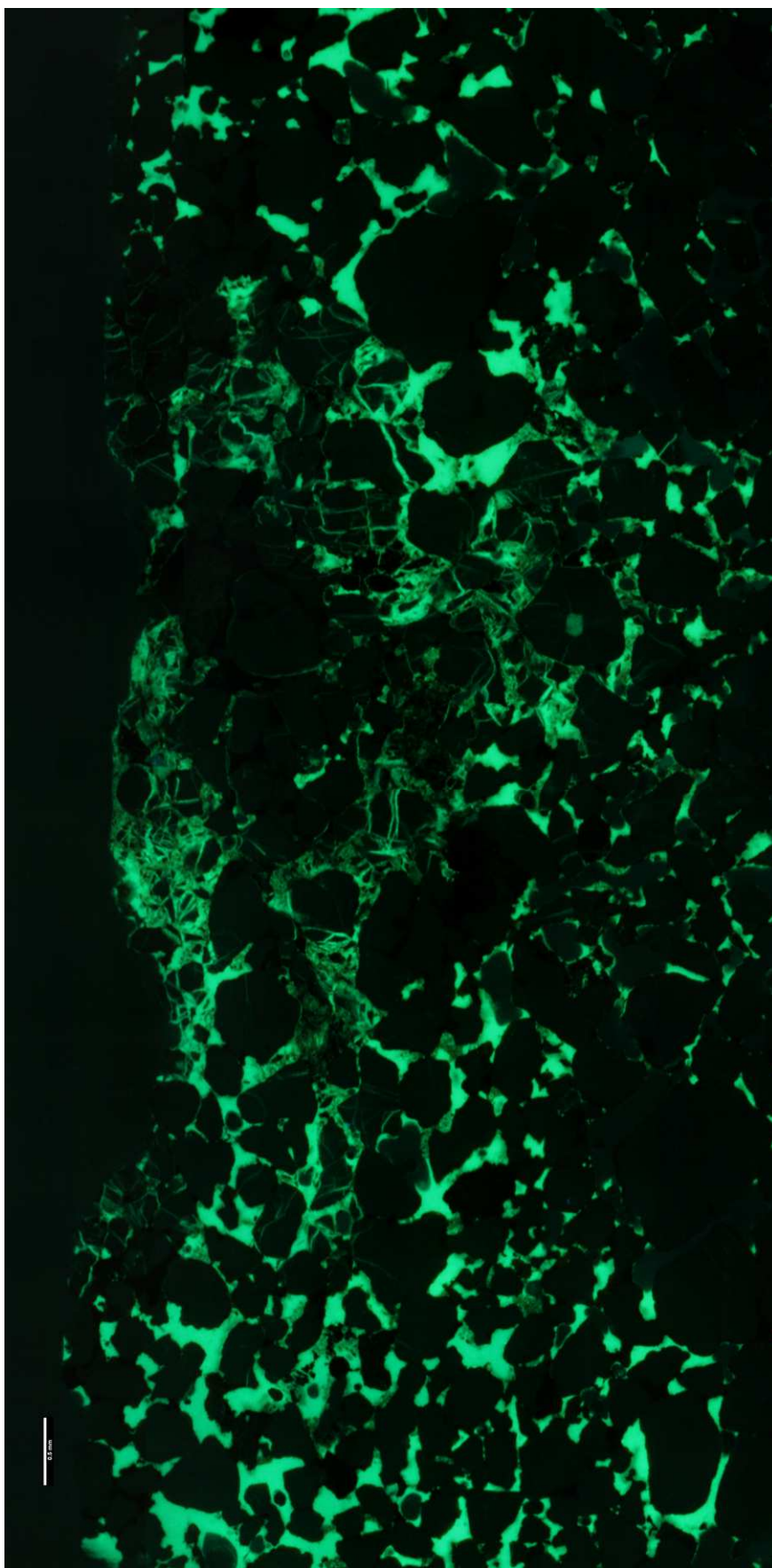
Obr. 34. Mikrofotografie dokumentující rozsah porušení horniny KM-ZE2 v místě dopadu razníku Schmidtova kladiva typu N (jeden úder). Měřítko odpovídá délce 0,5 mm.



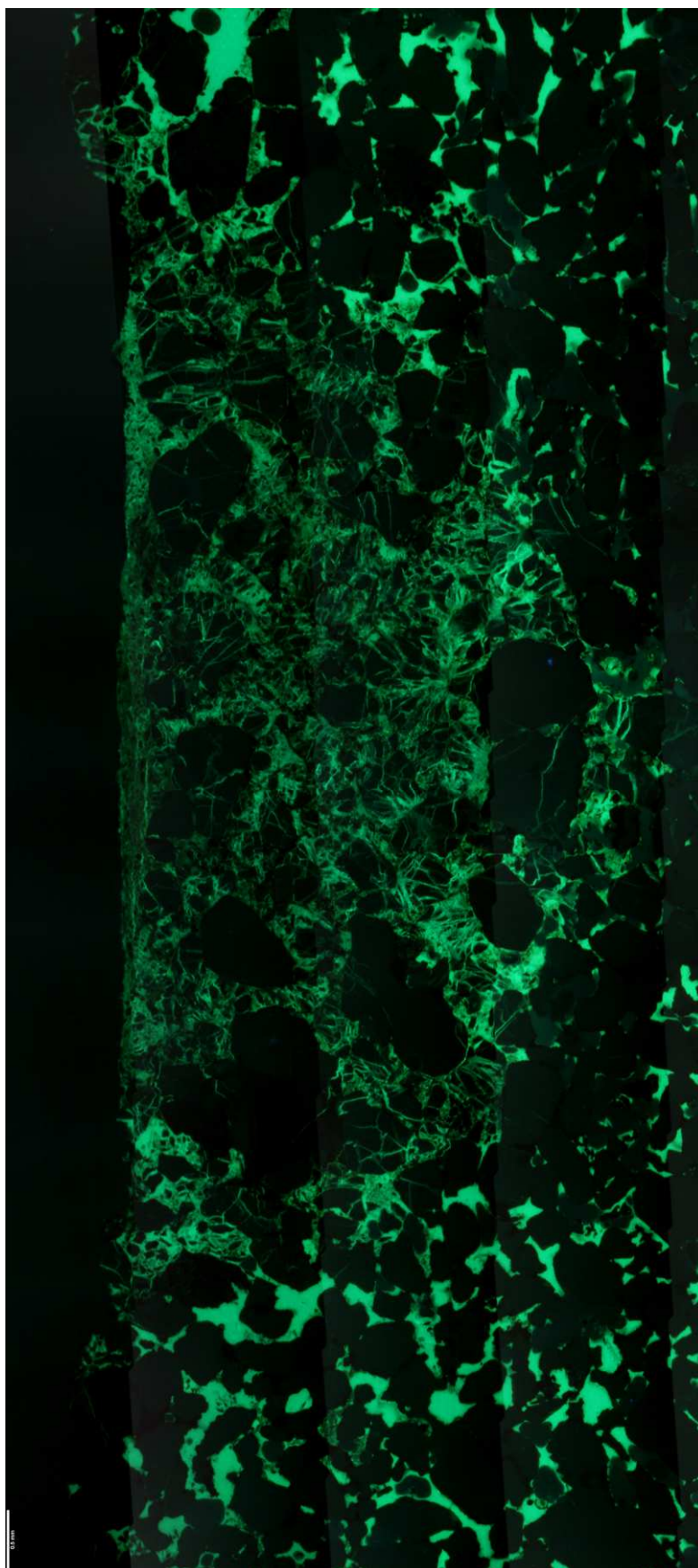
Obr. 35. Mikrofotografie dokumentující rozsah porušení horniny KM-ZE2 v místě dopadu razníku Schmidtova kladiva typu N (jeden úder). Měřítka odpovídá délce 0,5 mm.



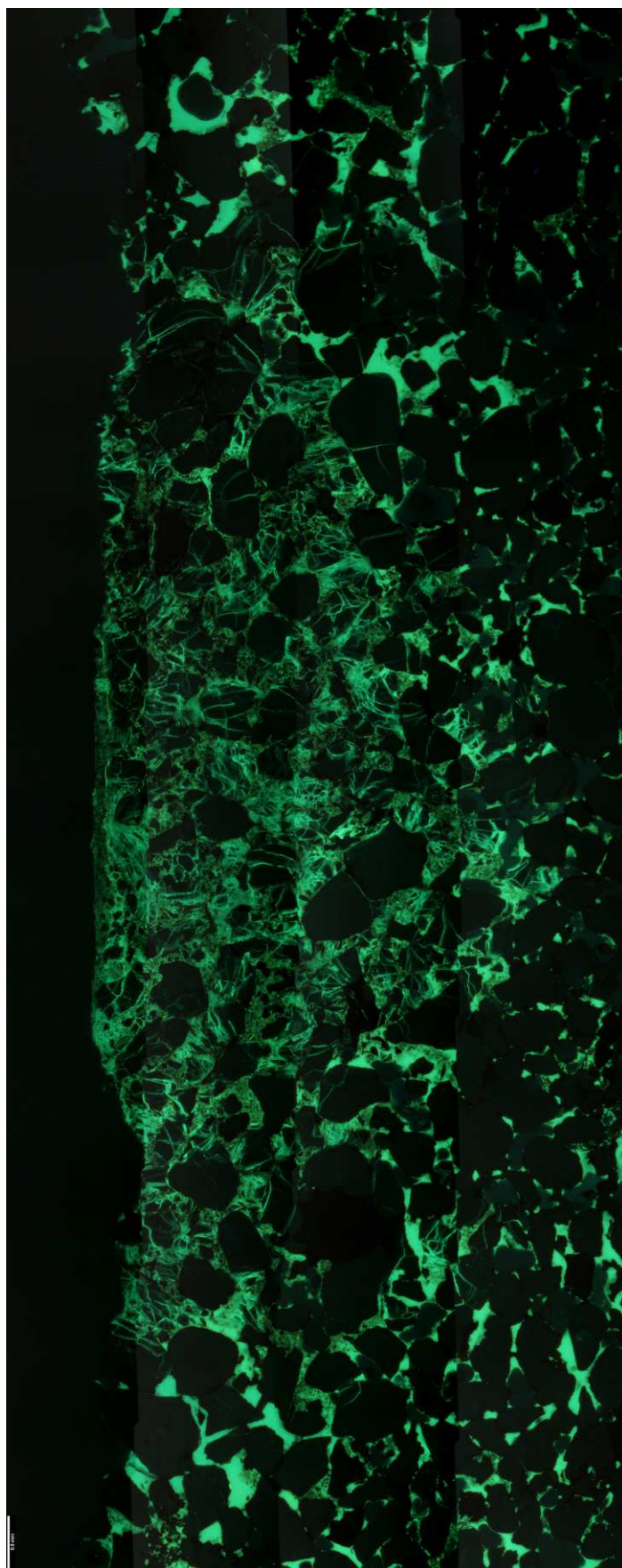
Obr. 36. Mikrofotografie dokumentující rozsah porušení horniny KM-ZE2 v místě dopadu razníku Schmidtova kladiva typu N (dva údery). Měřítka odpovídá délce 0,5 mm.



Obr. 37. Mikrofotografie dokumentující rozsah porušení horniny KM-ZE2 v místě dopadu razníku Schmidtova kladiva typu N (tři údery). Měřítko odpovídá délce 0,5 mm.

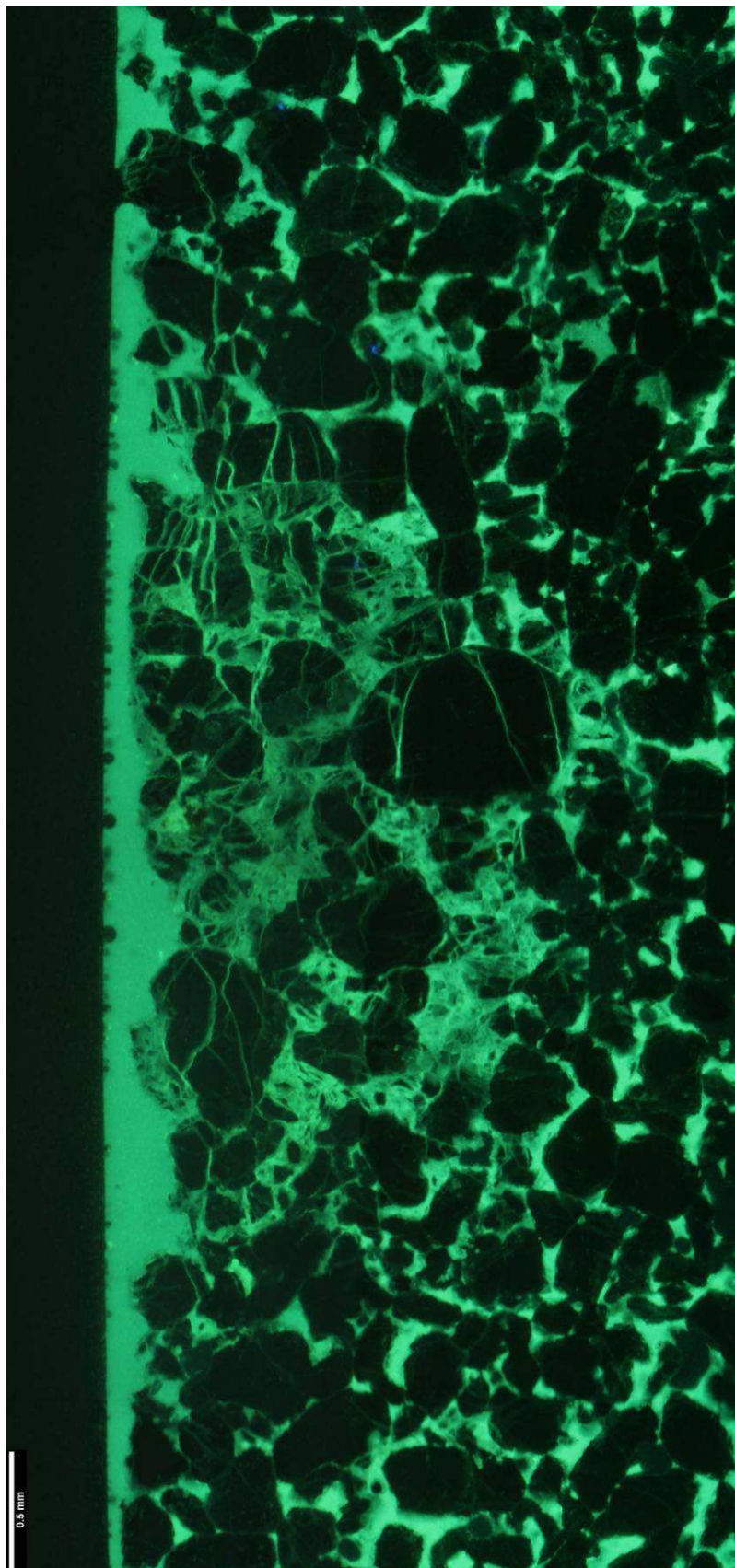


Obr. 38. Mikrofotografie dokumentující rozsah porušení horniny KM-ZE2 v místě dopadu razníku Schmidtova kladiva typu N (čtyři údery). Měřítka v levém dolním rohu odpovídá délce 0,5 mm.

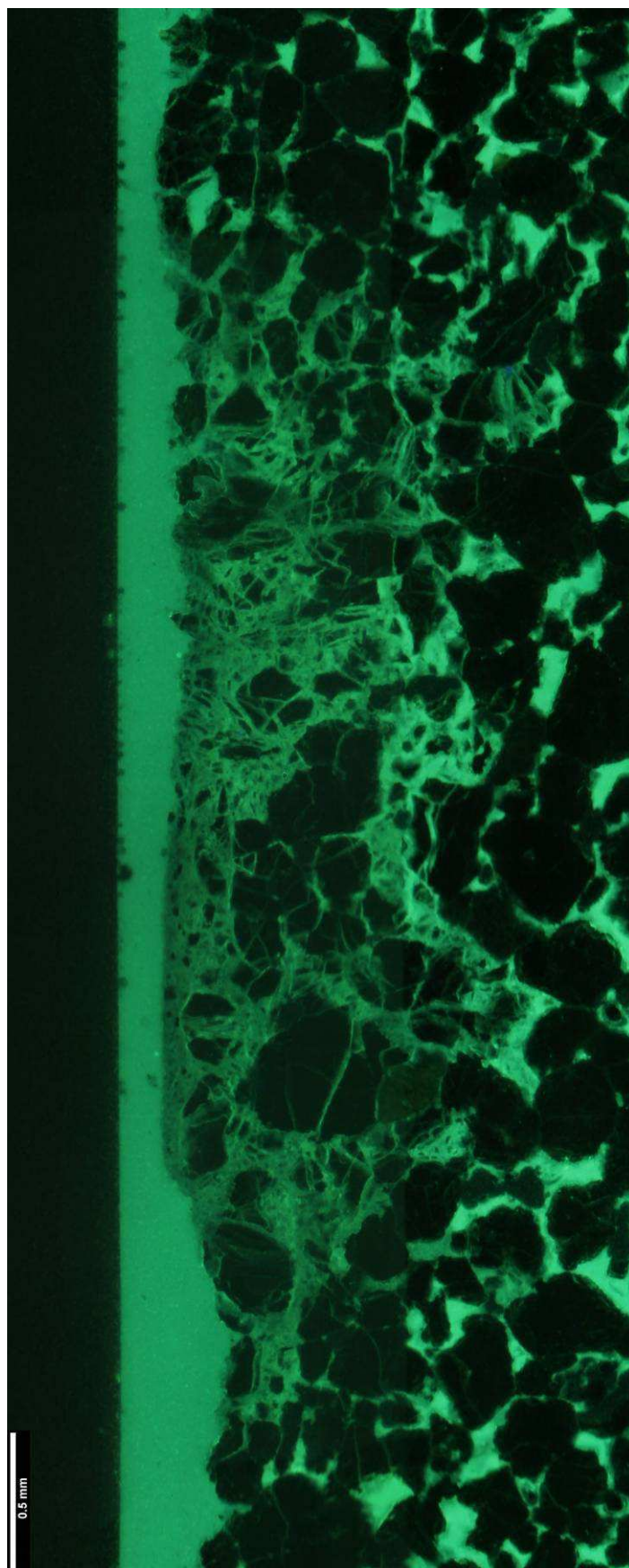


Obr. 39. Mikrofotografie dokumentující rozsah porušení horniny KM-ZE2 v místě dopadu razníku Schmidtova kladiva typu N (pět úderů). Měřítka v levém dolním rohu odpovídá délce 0,5 mm.

Vzorek KO-S

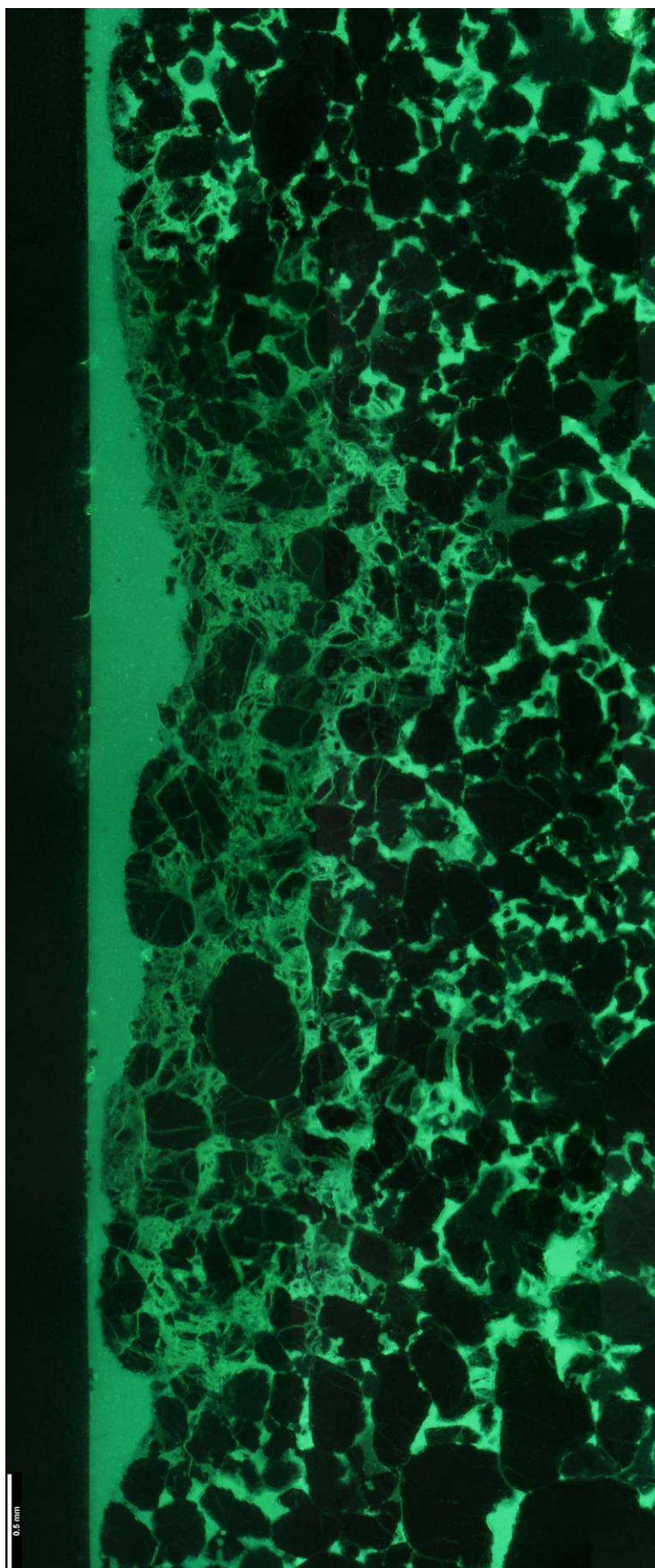


Obr. 40. Mikrofotografie dokumentující rozsah porušení horniny KO-S v místě dopadu razníku Schmidtova kladiva typu N (jeden úder). Měřítka v levém dolním rohu odpovídá délce 0,5 mm.

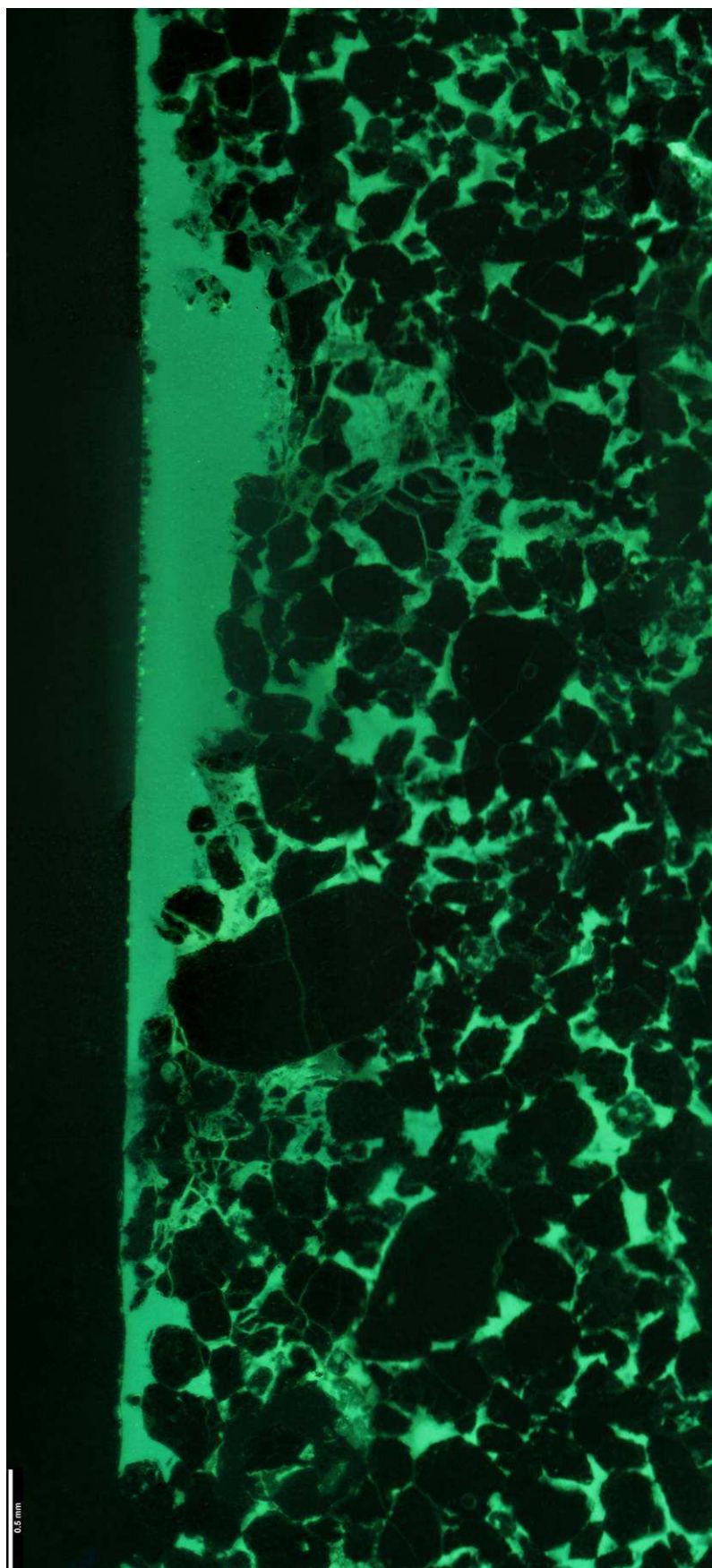


Obr. 41. Mikrofotografie dokumentující rozsah porušení horniny KO-S v místě dopadu razníku Schmidtova kladiva typu N (dva údery). Měřítka v levém dolním rohu odpovídá délce 0,5 mm.

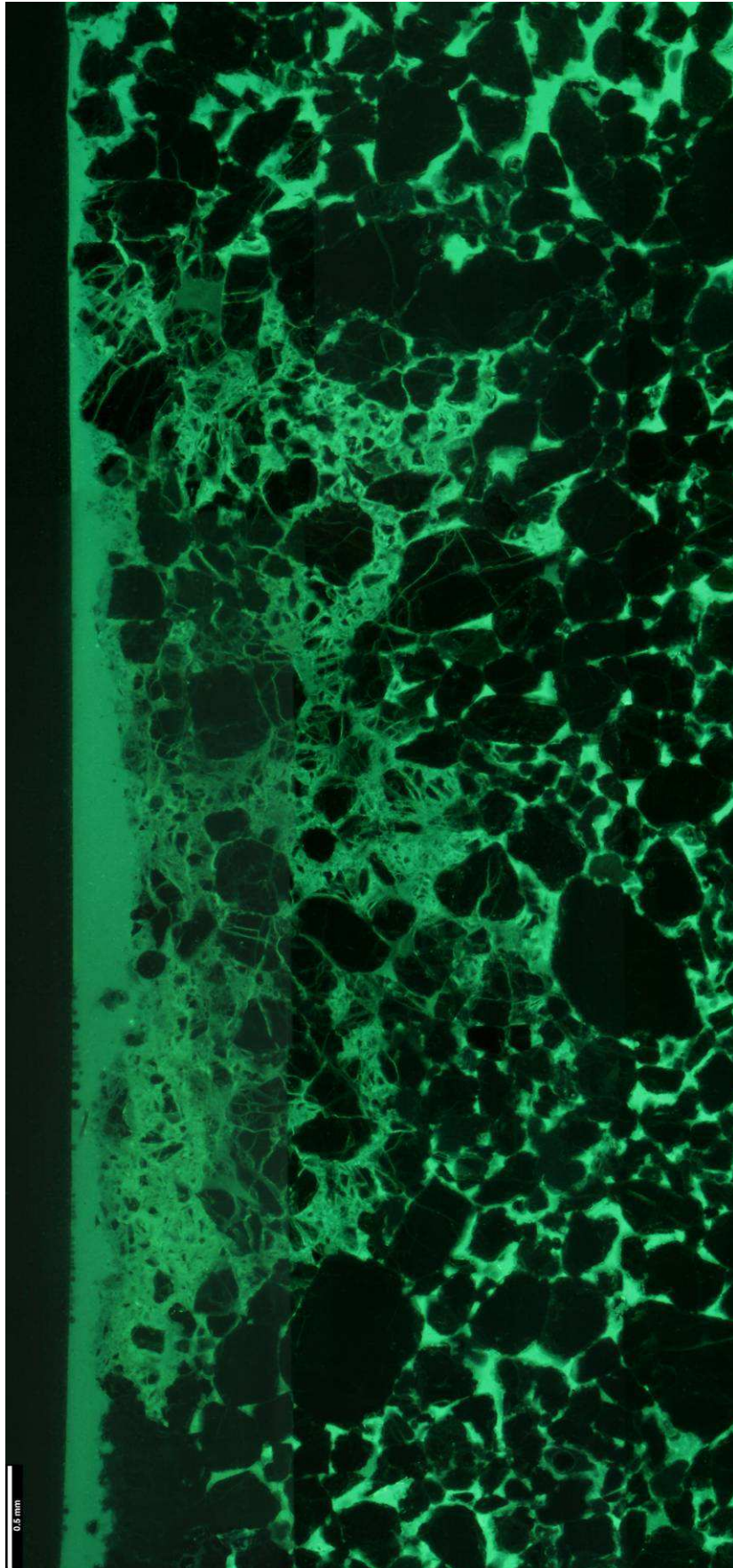




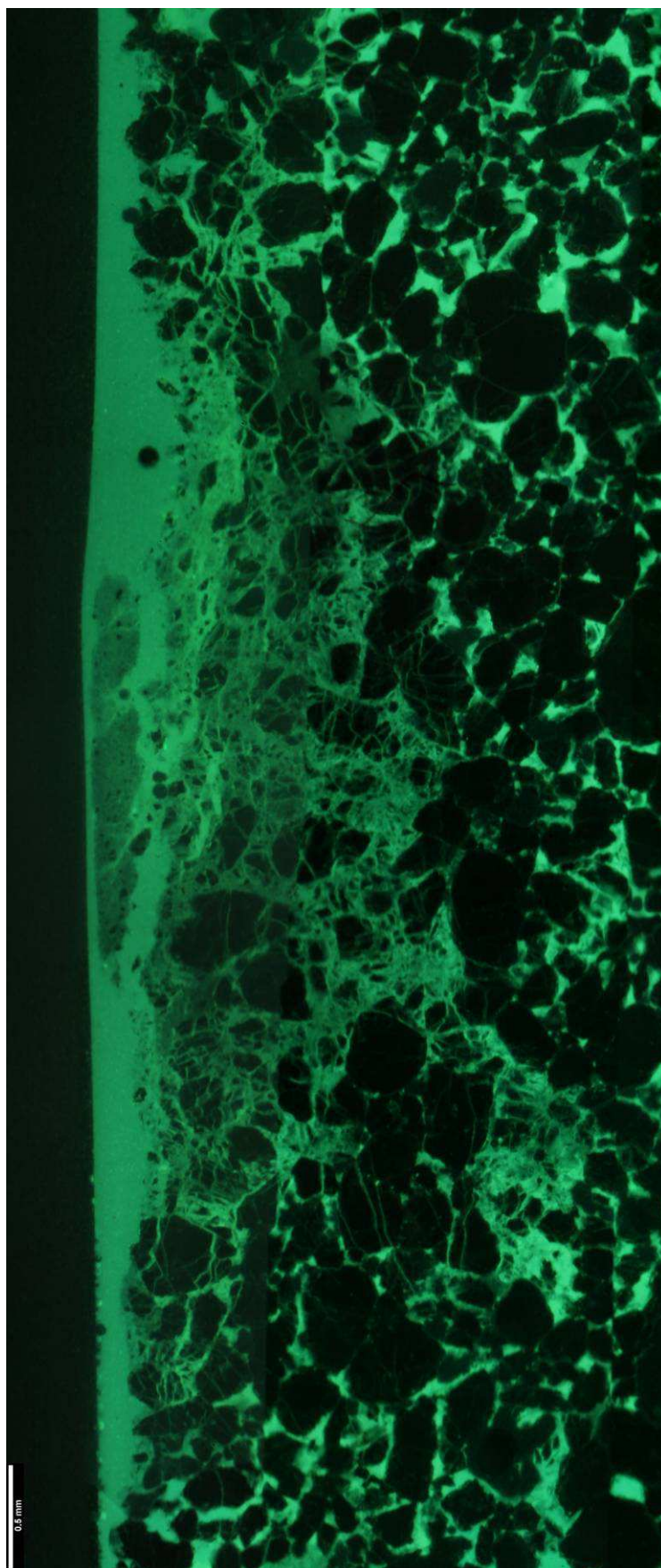
Obr. 42. Mikrofotografie dokumentující rozsah porušení horniny KO-S v místě dopadu razníku Schmidtova kladiva typu N (tři údery). Měřítka v levém dolním rohu odpovídá délce 0,5 mm.



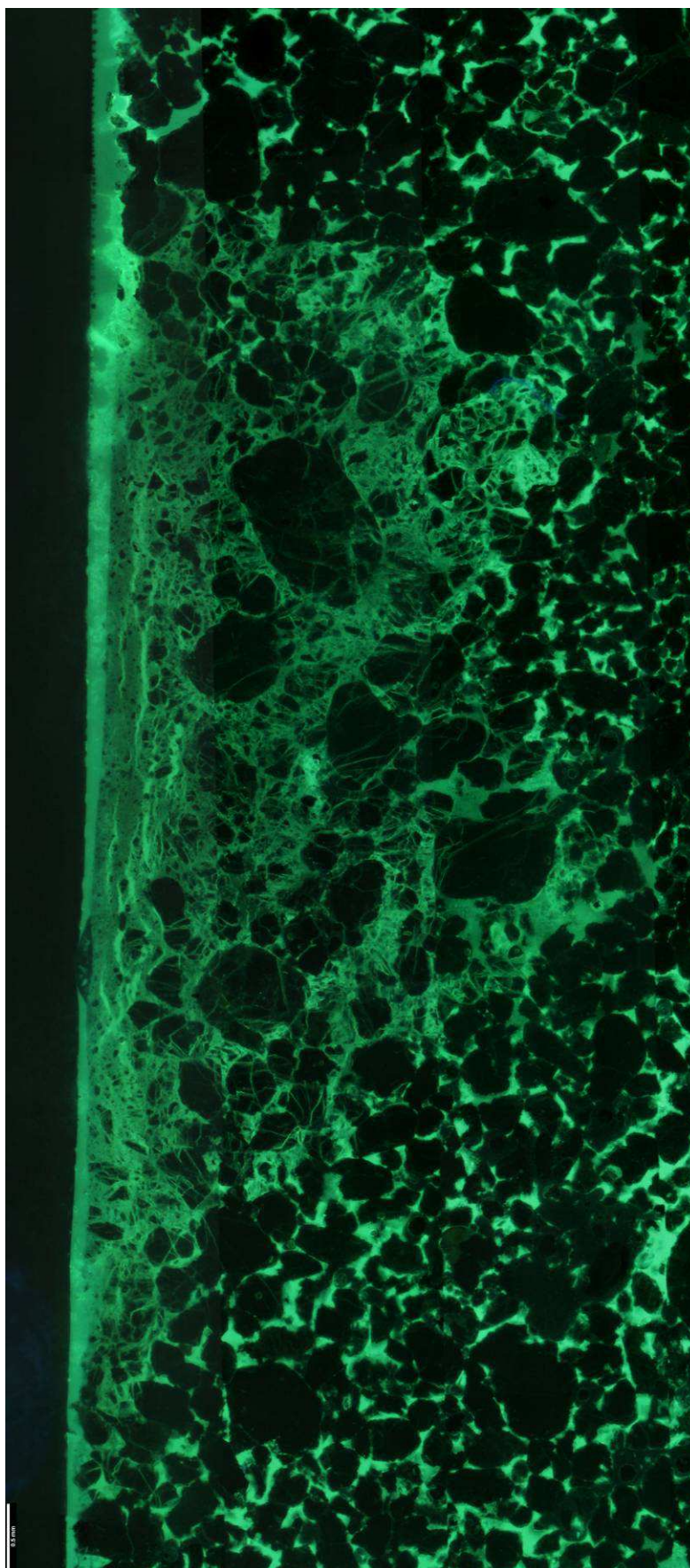
Obr. 43. Mikrofotografie dokumentující rozsah porušení horniny KO-S v místě dopadu razníku Schmidtova kladiva typu N (čtyři údery). Měřítka v levém dolním rohu odpovídá délce 0,5 mm.



Obr. 44. Mikrofotografie dokumentující rozsah porušení horniny KO-S v místě dopadu razníku Schmidtova kladiva typu N (pět úderů). Měřítka v levém dolním rohu odpovídá délce 0,5 mm.

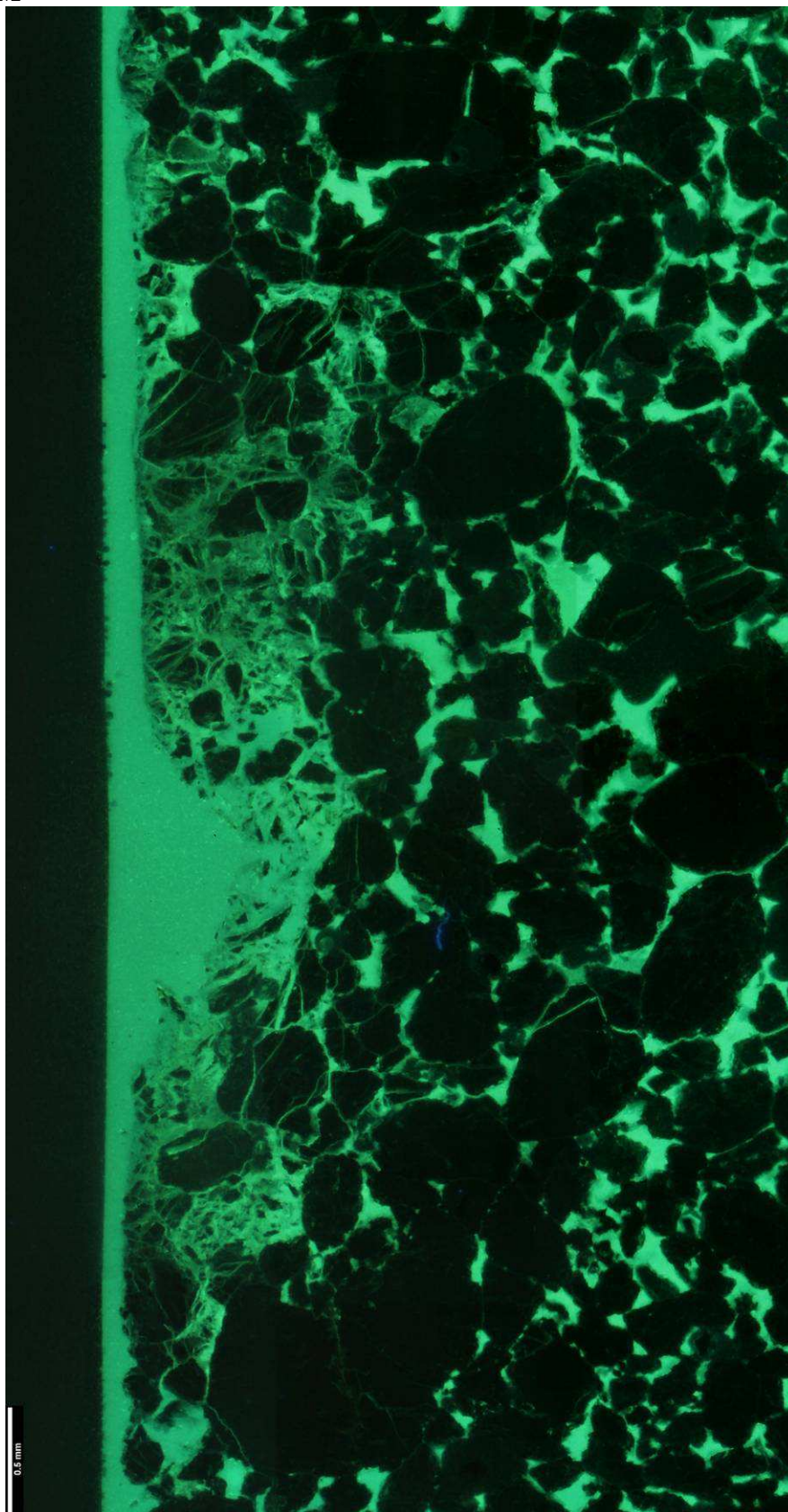


Obr. 45. Mikrofotografie dokumentující rozsah porušení horniny KO-S v místě dopadu razníku Schmidtova kladiva typu N (šest úderů). Měřítka v levém dolním rohu odpovídá délce 0,5 mm.

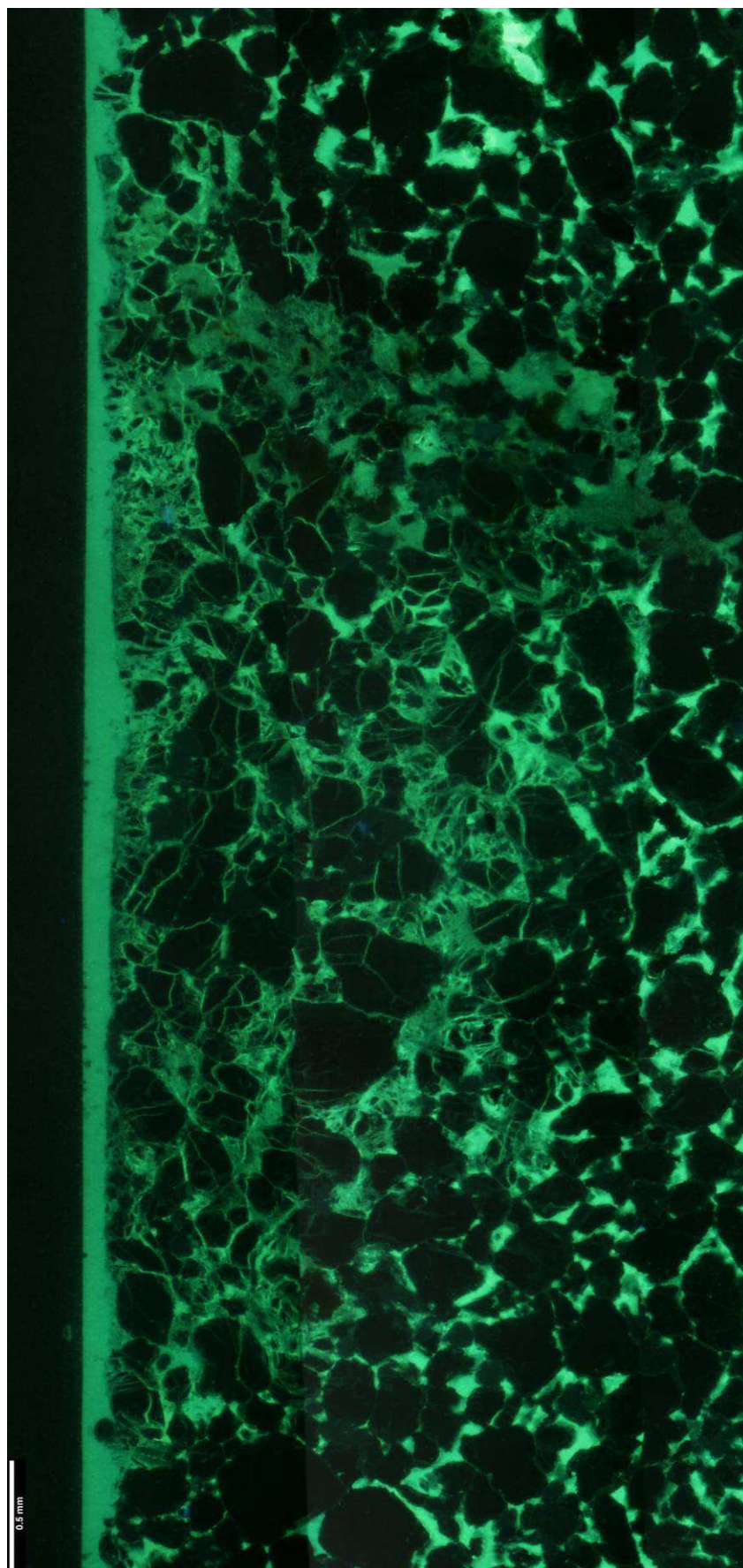


Obr. 46. Mikrofotografie dokumentující rozsah porušení horniny KO-S v místě dopadu razníku Schmidtova kladiva typu N (sedm úderů). Měřítka v levém dolním rohu odpovídá délce 0,5 mm.

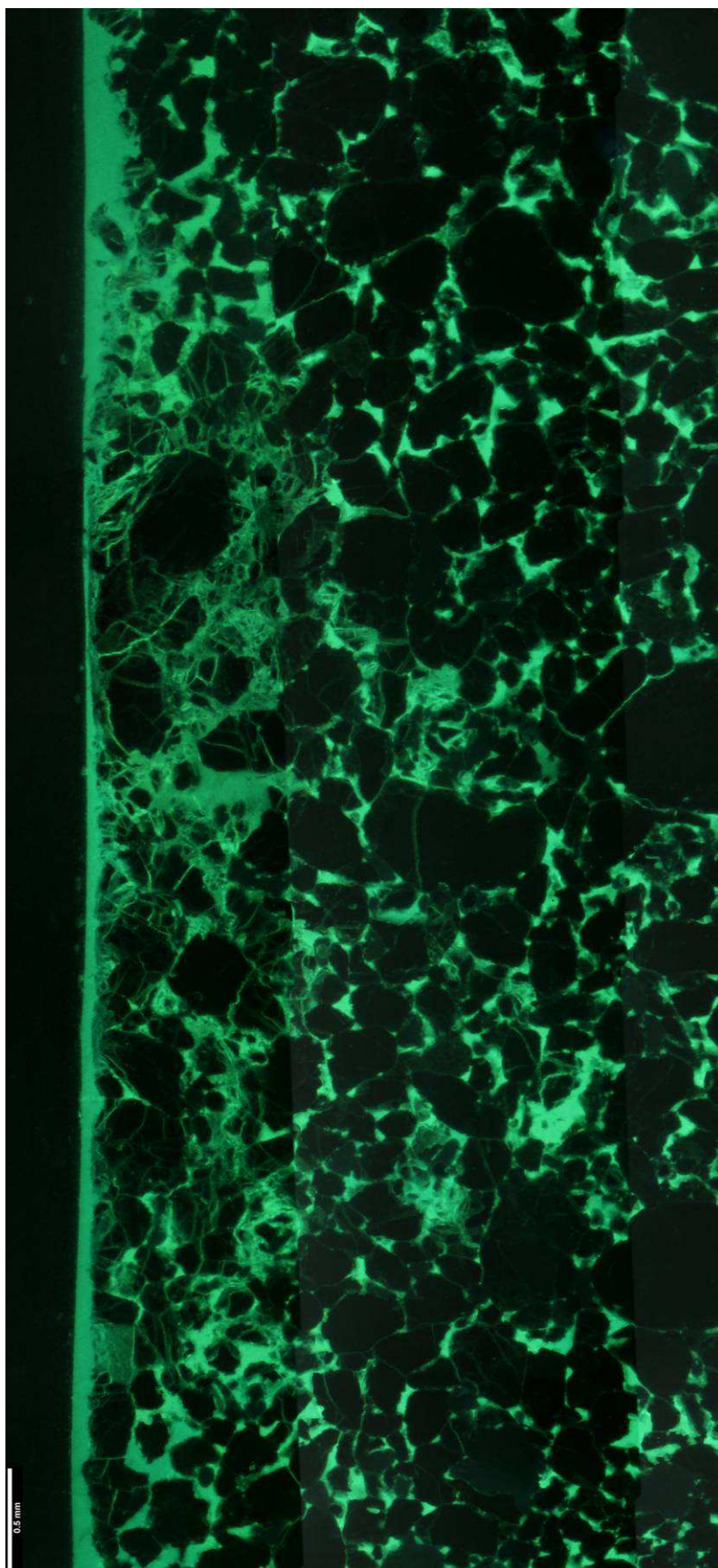
Vzorek KO-M



Obr. 47. Mikrofotografie dokumentující rozsah porušení horniny KO-M v místě dopadu razníku Schmidtova kladiva typu N (jeden úder). Měřítka v levém dolním rohu odpovídá délce 0,5 mm.

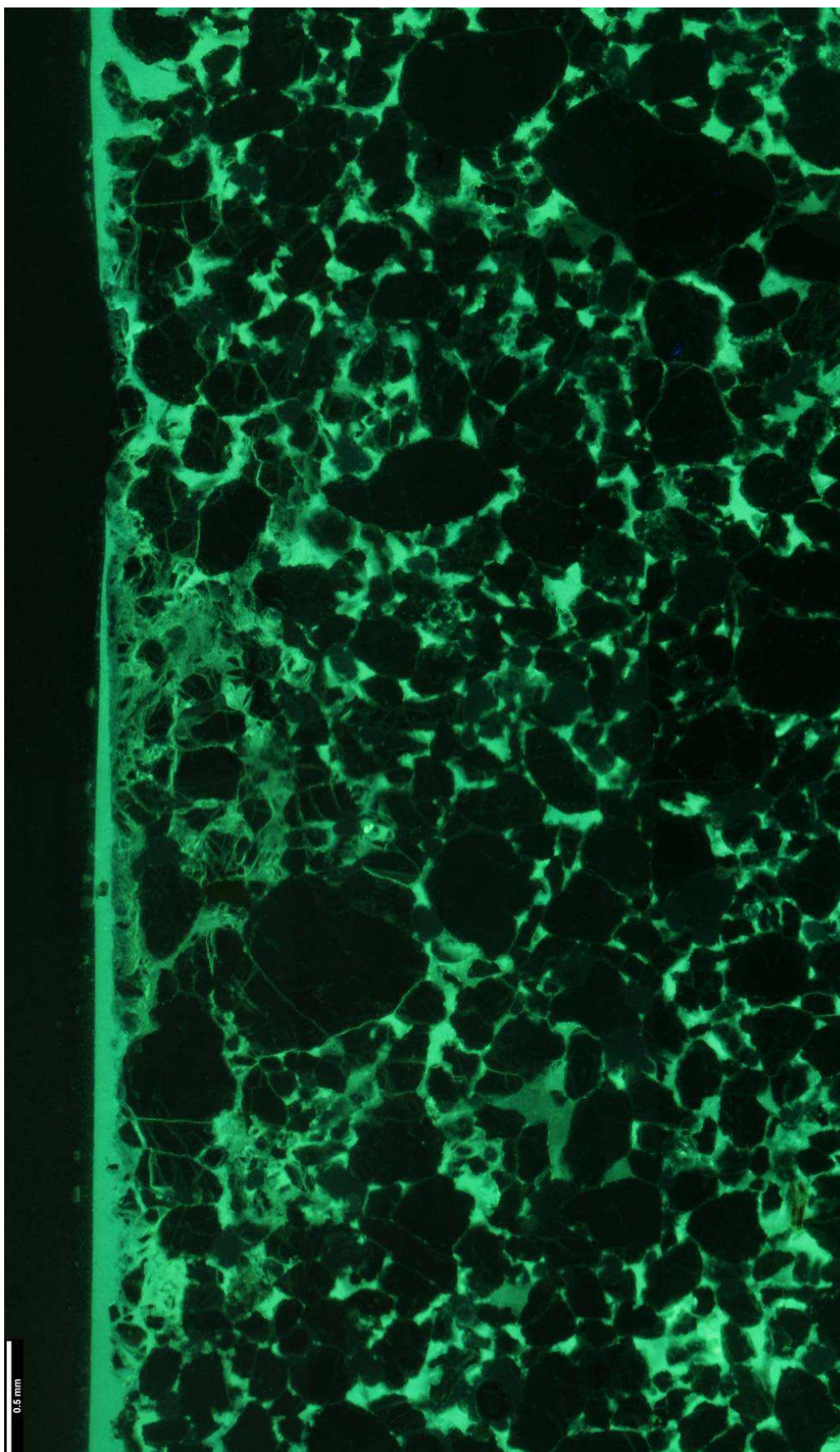


Obr. 48. Mikrofotografie dokumentující rozsah porušení horniny KO-M v místě dopadu razníku Schmidtova kladiva typu N (dva údery). Měřítka v levém dolním rohu odpovídá délce 0,5 mm.

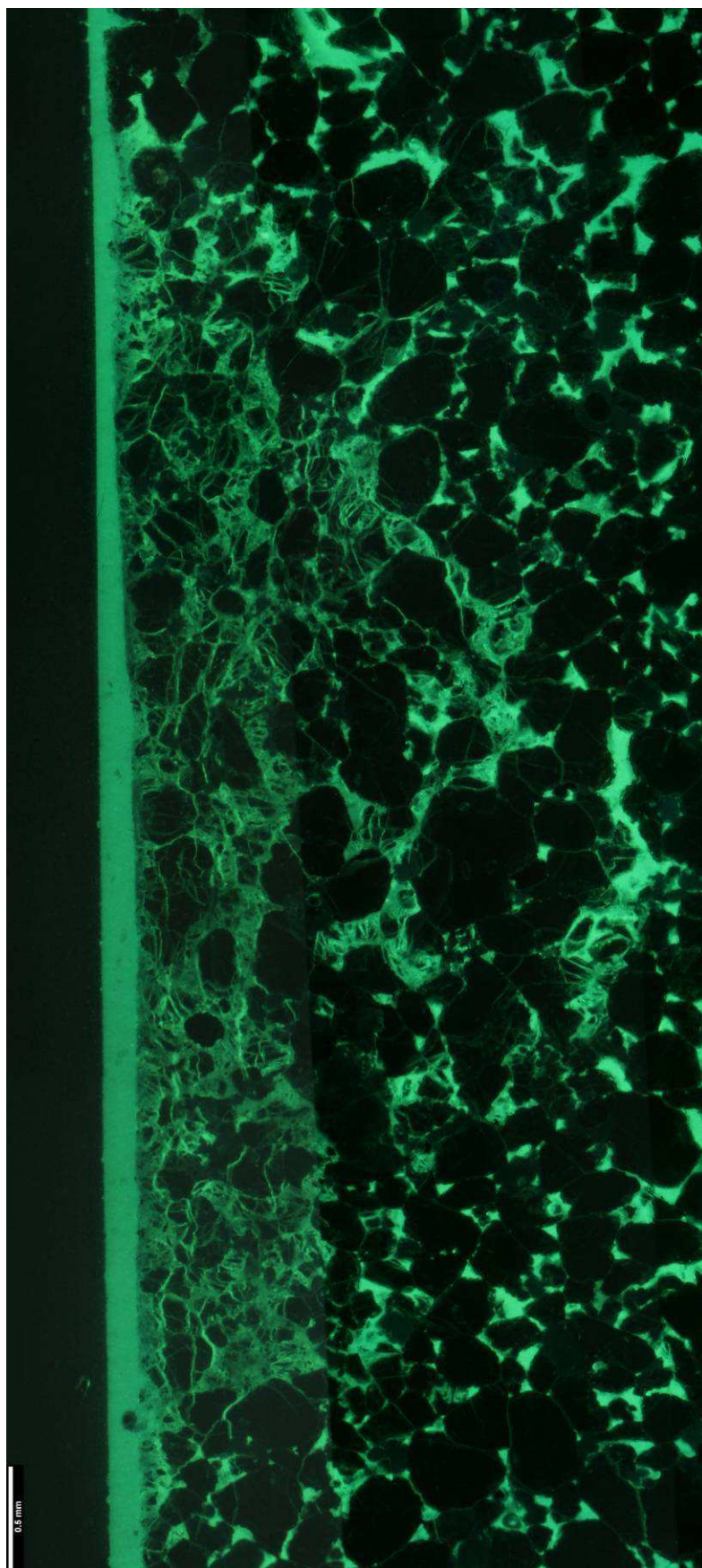


Obr. 49. Mikrofotografie dokumentující rozsah porušení horniny KO-M v místě dopadu razníku Schmidtova kladiva typu N (čtyři údery). Měřítka v levém dolním rohu odpovídá délce 0,5 mm.

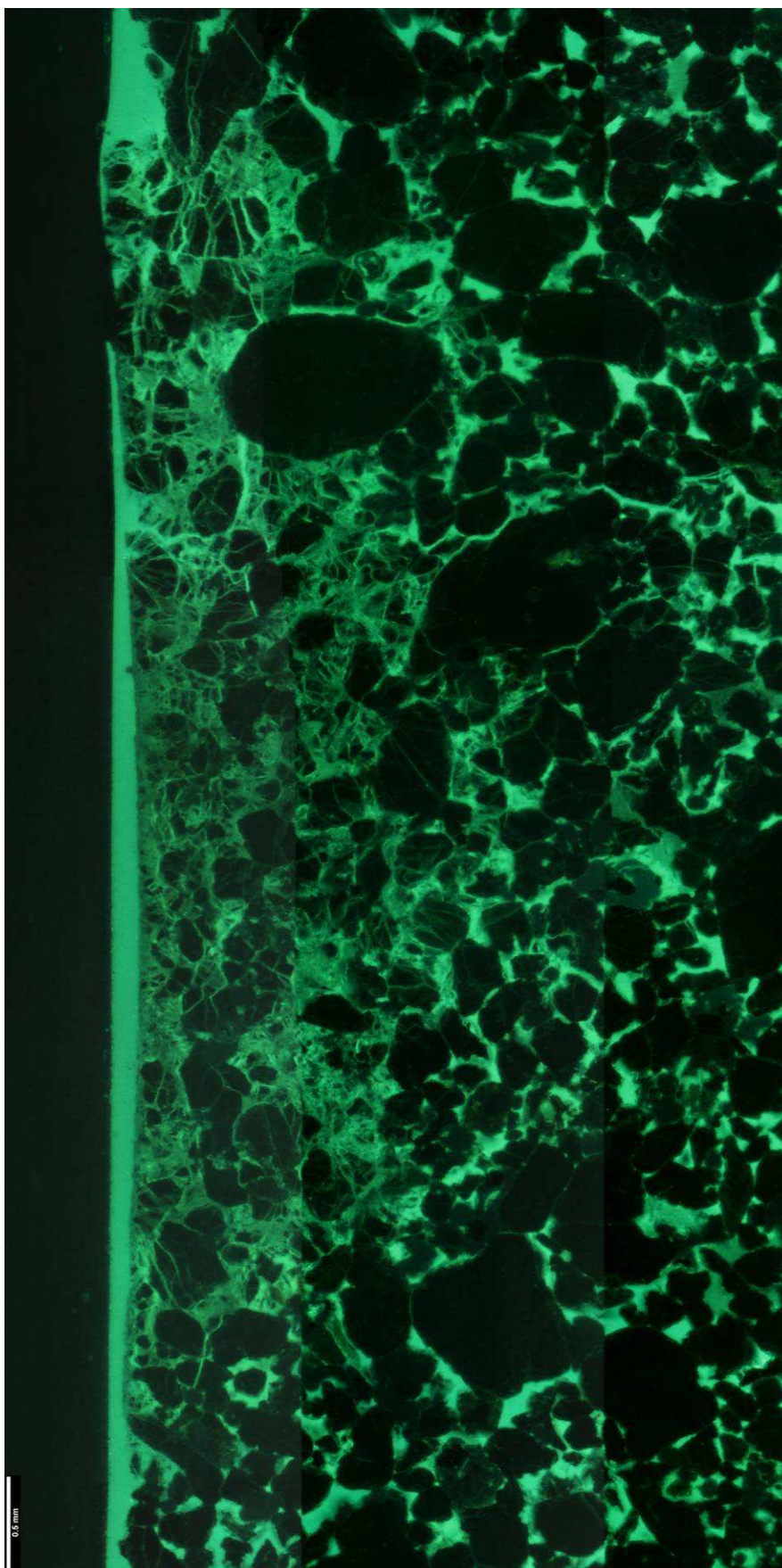




Obr. 50. Mikrofotografie dokumentující rozsah porušení horniny KO-M v místě dopadu razníku Schmidtova kladiva typu N (pět úderů). Měřítko v levém dolním rohu odpovídá délce 0,5 mm.



Obr. 51. Mikrofotografie dokumentující rozsah porušení horniny KO-M v místě dopadu razníku Schmidtova kladiva typu N (šest úderů). Měřítka v levém dolním rohu odpovídá délce 0,5 mm.



Obr. 52. Mikrofotografie dokumentující rozsah porušení horniny KO-M v místě dopadu razníku Schmidtova kladiva typu N (sedm úderů). Měřítko v levém doplním rohu odpovídá délce 0,5 mm.

## IV Přehled kvantitativních dat naměřených ve vzorcích

### KM-ZE

Tab. 14. Přehled ploch porušených zón a kvantitativních dat kompaktnosti, ekvivalentního průměru, tvarového faktoru a poměru os ve vzorcích s označením KM-ZE.

KM-ZE	výchozí	1	2	3	4	5
Plocha porušení	X	13,364	30,337	21,154	21,315	26,690
<b>Kompaktnost</b>						
Minimum	14,288	13,033	13,028	11,725	8,000	8,000
Maximum	91,180	91,906	121,485	73,027	250,346	83,601
Medián	21,826	22,083	22,087	21,226	19,984	20,046
Průměr	24,186	25,011	24,960	23,173	22,870	22,025
25% kvartil	18,144	19,350	18,560	18,172	16,985	17,219
75% kvartil	26,615	27,874	28,459	25,542	25,407	24,611
Sm. odchylka	9,896	9,450	10,465	7,652	12,686	7,785
<b>Ekvivalentní průměr</b>						
Minimum	0,005	0,011	0,017	0,013	0,010	0,006
Maximum	1,089	0,822	0,805	0,671	1,124	0,594
Medián	0,139	0,097	0,106	0,096	0,055	0,066
Průměr	0,224	0,151	0,142	0,126	0,085	0,095
25% kvartil	0,070	0,056	0,065	0,052	0,038	0,040
75% kvartil	0,312	0,196	0,176	0,159	0,091	0,114
Sm. odchylka	0,211	0,141	0,118	0,105	0,100	0,086
<b>Tvarový faktor</b>						
Minimum	0,138	0,137	0,103	0,172	0,050	0,150
Maximum	0,880	0,964	0,965	1,072	1,571	1,571
Medián	0,576	0,569	0,569	0,592	0,629	0,627
Průměr	0,574	0,551	0,560	0,589	0,619	0,623
25% kvartil	0,472	0,451	0,442	0,492	0,495	0,511
75% kvartil	0,693	0,649	0,677	0,692	0,740	0,730
Sm. odchylka	0,153	0,146	0,157	0,155	0,181	0,172
<b>Poměr os</b>						
Minimum	1,033	1,030	1,000	1,000	1,000	1,000
Maximum	4,950	7,831	10,932	10,104	14,577	10,156
Medián	1,600	1,908	1,830	1,831	1,956	1,991
Průměr	1,737	2,157	2,164	2,163	2,410	2,276
25% kvartil	1,316	1,415	1,463	1,485	1,500	1,565
75% kvartil	1,957	2,486	2,430	2,475	2,702	2,608
Sm. odchylka	0,610	1,030	1,210	1,115	1,509	1,151

**KM-ZE1**

Tab. 15. Přehled ploch porušených zón a kvantitativních dat kompaktnosti, ekvivalentního průměru, tvarového faktoru a poměru os ve vzorcích s označením KM-ZE1.

<b>KM-ZE1</b>	výchozí	1	2	3	4	5
Plocha porušení	X	9,369	15,656	23,115	26,676	25,990
<b>Kompaktnost</b>						
Minimum	14,488	13,020	8,000	8,000	8,000	8,000
Maximum	113,519	229,154	265,308	80,930	70,450	65,433
Medián	24,504	21,584	22,308	20,822	20,043	18,425
Průměr	27,808	23,564	24,608	22,677	21,874	19,683
25% kvartil	20,607	18,226	18,750	17,852	17,144	16,182
75% kvartil	31,487	25,342	27,549	25,464	24,637	21,358
Sm. odchylka	11,360	12,579	12,303	7,451	7,170	5,484
<b>Ekvivalentní průměr</b>						
Minimum	0,010	0,008	0,004	0,008	0,012	0,009
Maximum	0,416	0,445	0,437	0,381	0,304	0,337
Medián	0,135	0,064	0,054	0,068	0,065	0,051
Průměr	0,143	0,084	0,069	0,084	0,078	0,061
25% kvartil	0,092	0,042	0,030	0,037	0,043	0,035
75% kvartil	0,185	0,108	0,093	0,105	0,099	0,075
Sm. odchylka	0,071	0,063	0,052	0,063	0,047	0,037
<b>Tvarový faktor</b>						
Minimum	0,111	0,055	0,047	0,155	0,178	0,192
Maximum	0,867	0,965	1,571	1,571	1,571	1,571
Medián	0,513	0,582	0,563	0,604	0,627	0,682
Průměr	0,504	0,586	0,566	0,602	0,623	0,676
25% kvartil	0,399	0,496	0,456	0,494	0,510	0,588
75% kvartil	0,610	0,689	0,670	0,704	0,733	0,777
Sm. odchylka	0,145	0,148	0,162	0,162	0,163	0,148
<b>Poměr os</b>						
Minimum	1,000	1,000	1,000	1,000	1,000	1,000
Maximum	14,460	8,515	11,045	9,552	11,045	10,050
Medián	1,670	1,794	1,861	1,776	1,709	1,824
Průměr	1,827	2,004	2,165	2,035	2,006	2,093
25% kvartil	1,387	1,407	1,485	1,441	1,426	1,473
75% kvartil	2,069	2,300	2,486	2,294	2,286	2,409
Sm. odchylka	0,733	0,917	1,095	0,979	0,939	0,967

**KM-ZE2**

Tab. 16. Přehled ploch porušených zón a kvantitativních dat kompaktnosti, ekvivalentního průměru, tvarového faktoru a poměru os ve vzorcích s označením KM-ZE2.

<b>KM-ZE2</b>	výchozí	1	2	3	4	5
Plocha porušení	X	14,647	14,455	18,083	34,093	36,232
<b>Kompaktnost</b>						
Minimum	13,490	8,000	8,000	10,892	8,000	8,000
Maximum	93,407	231,776	97,617	78,013	190,979	81,837
Medián	22,600	25,148	24,572	25,062	21,985	22,941
Průměr	25,625	29,356	27,396	27,301	27,018	25,429
25% kvartil	19,642	20,511	19,478	19,506	18,606	18,928
75% kvartil	28,131	32,757	31,847	31,424	29,739	29,364
Sm. odchylka	9,444	16,508	12,370	11,586	16,464	9,837
<b>Ekvivalentní průměr</b>						
Minimum	0,007	0,008	0,005	0,010	0,007	0,010
Maximum	1,140	0,935	0,769	0,983	1,190	1,132
Medián	0,217	0,056	0,056	0,081	0,097	0,086
Průměr	0,241	0,094	0,092	0,133	0,132	0,124
25% kvartil	0,118	0,033	0,033	0,041	0,061	0,055
75% kvartil	0,330	0,120	0,122	0,170	0,155	0,152
Sm. odchylka	0,158	0,104	0,091	0,148	0,124	0,114
<b>Tvarový faktor</b>						
Minimum	0,135	0,024	0,129	0,161	0,066	0,154
Maximum	0,932	4,725	1,571	1,154	1,571	1,571
Medián	0,556	0,264	0,511	0,501	0,572	0,548
Průměr	0,536	0,457	0,534	0,528	0,554	0,553
25% kvartil	0,447	0,149	0,395	0,400	0,423	0,428
75% kvartil	0,640	0,566	0,645	0,644	0,675	0,664
Sm. odchylka	0,137	0,530	0,203	0,185	0,191	0,174
<b>Poměr os</b>						
Minimum	1,031	1,000	1,000	1,000	1,028	1,000
Maximum	6,034	9,055	16,125	15,133	9,055	11,045
Medián	1,576	2,099	2,071	1,958	1,886	2,034
Průměr	1,795	2,462	2,481	2,315	2,197	2,336
25% kvartil	1,341	1,547	1,612	1,475	1,509	1,532
75% kvartil	1,992	2,832	2,894	2,614	2,580	2,720
Sm. odchylka	0,689	1,311	1,446	1,463	1,069	1,190

## KO-S

Tab. 17. Přehled ploch porušených zón a kvantitativních dat kompaktnosti, ekvivalentního průměru, tvarového faktoru a poměru os ve vzorcích KO-S.

KO-S	výchozí	1	2	3	4	5	6	7
Plocha porušení	X	6,710	4,227	7,313	5,711	8,786	7,732	18,063
<b>Kompaktnost</b>								
Minimum	14,218	8,000	8,000	8,000	11,800	10,286	8,000	8,000
Maximum	83,156	101,815	60,075	56,216	96,408	62,429	59,026	87,803
Medián	22,283	20,951	21,994	20,388	20,824	19,448	19,569	19,897
Průměr	24,598	22,957	23,935	21,855	22,711	21,113	21,158	21,764
25% kvartil	19,189	17,876	18,565	17,510	18,080	16,826	17,022	17,055
75% kvartil	27,439	25,342	27,083	25,120	24,707	23,644	23,925	24,257
Sm. odchylka	8,205	8,401	8,197	6,197	8,097	6,584	6,200	7,622
<b>Ekvivalentní průměr</b>								
Minimum	0,010	0,005	0,003	0,004	0,009	0,006	0,005	0,006
Maximum	0,786	0,539	0,299	0,570	0,675	0,385	0,399	0,603
Medián	0,147	0,048	0,032	0,039	0,045	0,039	0,034	0,055
Průměr	0,167	0,070	0,048	0,058	0,080	0,058	0,052	0,071
25% kvartil	0,086	0,028	0,020	0,025	0,024	0,024	0,022	0,038
75% kvartil	0,230	0,093	0,062	0,068	0,109	0,069	0,060	0,085
Sm. odchylka	0,107	0,064	0,043	0,055	0,090	0,053	0,052	0,056
<b>Tvarový faktor</b>								
Minimum	0,151	0,123	0,209	0,224	0,130	0,201	0,213	0,143
Maximum	0,884	1,571	1,571	1,571	1,065	1,222	1,571	1,571
Medián	0,564	0,600	0,571	0,616	0,603	0,646	0,642	0,632
Průměr	0,552	0,597	0,576	0,617	0,600	0,640	0,638	0,627
25% kvartil	0,458	0,496	0,464	0,500	0,509	0,531	0,525	0,518
75% kvartil	0,655	0,703	0,677	0,718	0,695	0,747	0,738	0,737
Sm. odchylka	0,136	0,158	0,166	0,160	0,155	0,157	0,162	0,163
<b>Poměr os</b>								
Minimum	1,002	1,000	1,000	1,000	1,062	1,000	1,000	1,000
Maximum	6,383	10,012	9,633	8,809	6,620	12,042	11,045	12,358
Medián	1,585	1,870	2,000	2,000	1,887	1,906	1,886	1,876
Průměr	1,740	2,226	2,220	2,235	2,180	2,125	2,227	2,256
25% kvartil	1,348	1,466	1,552	1,577	1,509	1,502	1,516	1,500
75% kvartil	1,986	2,657	2,568	2,599	2,547	2,389	2,572	2,558
Sm. odchylka	0,595	1,142	1,009	0,983	0,930	1,017	1,118	1,277

## KO-M

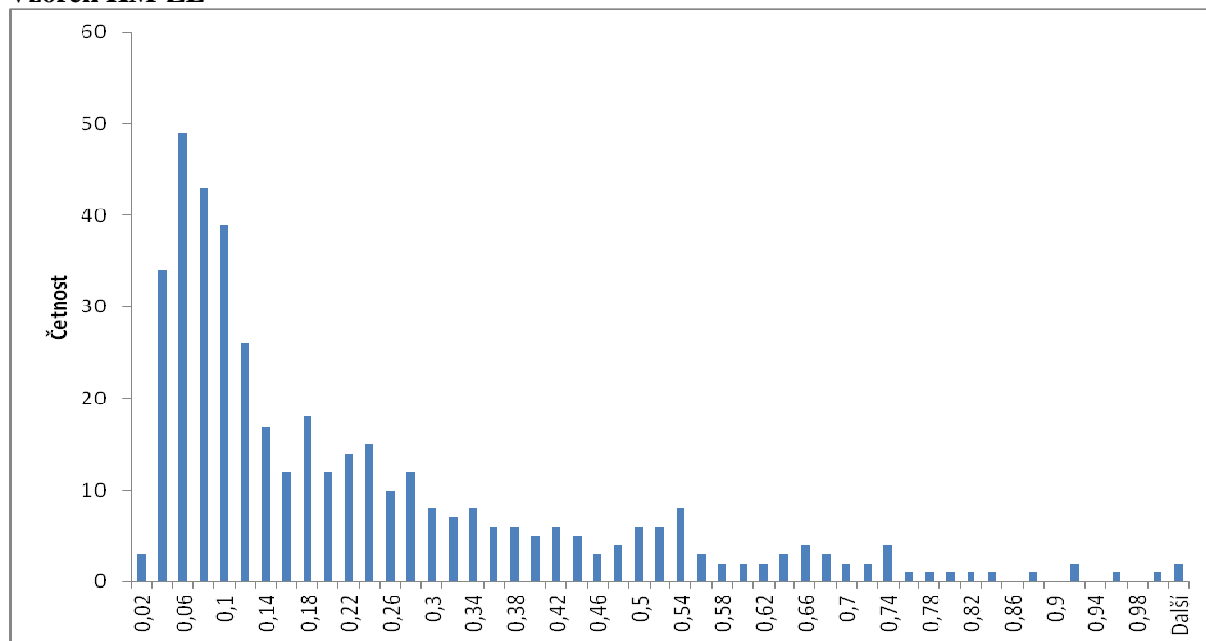
Tab. 18. Přehled ploch porušených zón a kvantitativních dat kompaktnosti, ekvivalentního průměru, tvarového faktoru a poměru os ve vzorcích KO-M.

KO-M	výchozí	1	2	3	4	5	6	7
Plocha porušení	X	6,500	9,358	X	9,840	4,903	9,901	12,295
<b>Kompaktnost</b>								
Minimum	14,751	9,771	12,166	X	8,000	8,000	8,000	8,000
Maximum	239,515	99,957	79,312	X	92,167	80,128	86,744	60,319
Medián	21,093	20,647	20,641	X	20,372	20,903	21,156	20,081
Průměr	23,018	23,187	22,131	X	22,243	23,332	22,716	21,630
25% kvartil	18,510	17,482	17,260	X	17,585	17,908	17,941	17,081
75% kvartil	25,110	26,154	24,896	X	24,486	26,173	25,635	24,236
Sm. odchylka	9,296	8,902	6,945	X	7,386	9,031	7,323	6,793
<b>Ekvivalentní průměr</b>								
Minimum	0,006	0,007	0,009	X	0,006	0,003	0,004	0,006
Maximum	0,702	0,353	0,471	X	0,518	0,707	0,573	0,907
Medián	0,134	0,052	0,062	X	0,062	0,042	0,039	0,046
Průměr	0,156	0,076	0,082	X	0,082	0,062	0,060	0,067
25% kvartil	0,081	0,027	0,037	X	0,035	0,024	0,024	0,030
75% kvartil	0,212	0,099	0,107	X	0,105	0,079	0,070	0,081
Sm. odchylka	0,097	0,068	0,065	X	0,067	0,065	0,063	0,069
<b>Tvar. faktor</b>								
Minimum	0,052	0,126	0,158	X	0,136	0,157	0,145	0,208
Maximum	0,852	1,286	1,033	X	1,571	1,571	1,571	1,571
Medián	0,596	0,609	0,609	X	0,617	0,601	0,594	0,626
Průměr	0,584	0,600	0,611	X	0,611	0,598	0,598	0,626
25% kvartil	0,500	0,480	0,505	X	0,513	0,480	0,490	0,518
75% kvartil	0,679	0,719	0,728	X	0,715	0,702	0,700	0,736
Sm. odchylka	0,127	0,171	0,150	X	0,155	0,178	0,159	0,159
<b>Poměr os</b>								
Minimum	1,000	1,000	1,000	X	1,000	1,000	1,000	1,000
Maximum	7,132	16,500	7,639	X	5,765	11,815	12,510	11,045
Medián	1,580	1,906	1,787	X	1,790	1,860	1,988	1,881
Průměr	1,730	2,277	2,044	X	2,039	2,234	2,299	2,209
25% kvartil	1,336	1,473	1,460	X	1,475	1,495	1,544	1,489
75% kvartil	1,918	2,667	2,406	X	2,339	2,629	2,686	2,581
Sm. odchylka	0,601	1,346	0,882	X	0,850	1,181	1,160	1,137

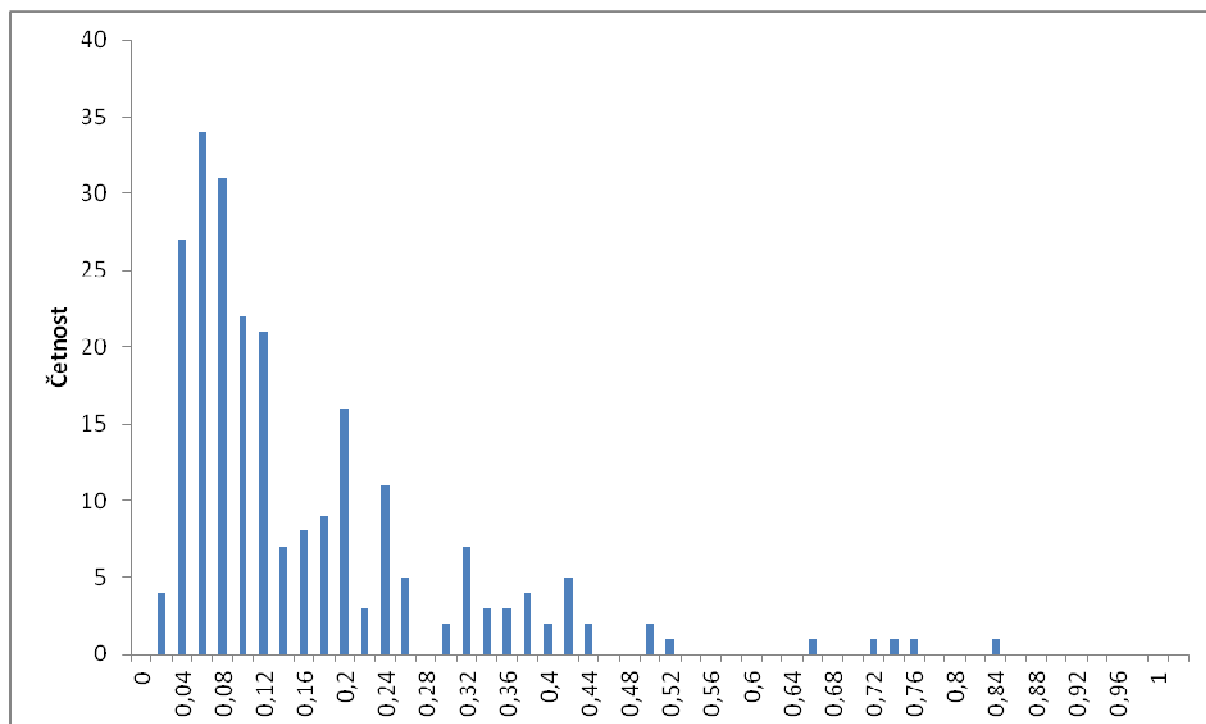


## V Histogramy zrnitosti (ekvivalentního průměru klastů) jednotlivých vzorků

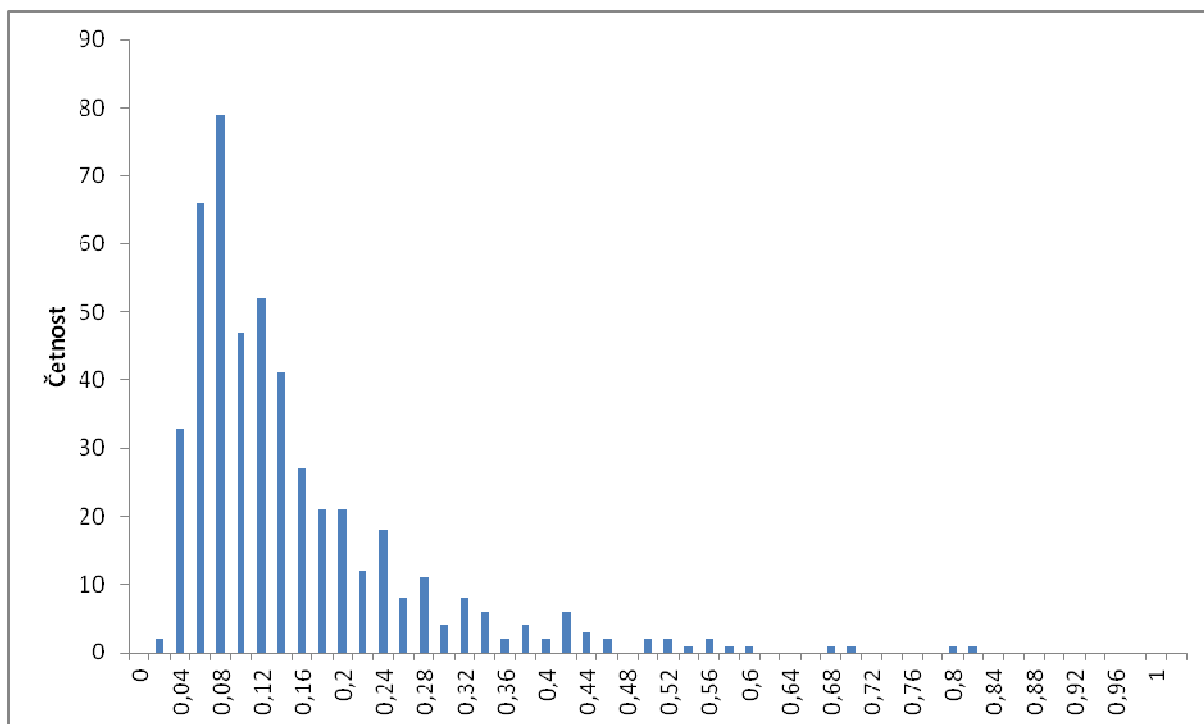
### Vzorek KM-ZE



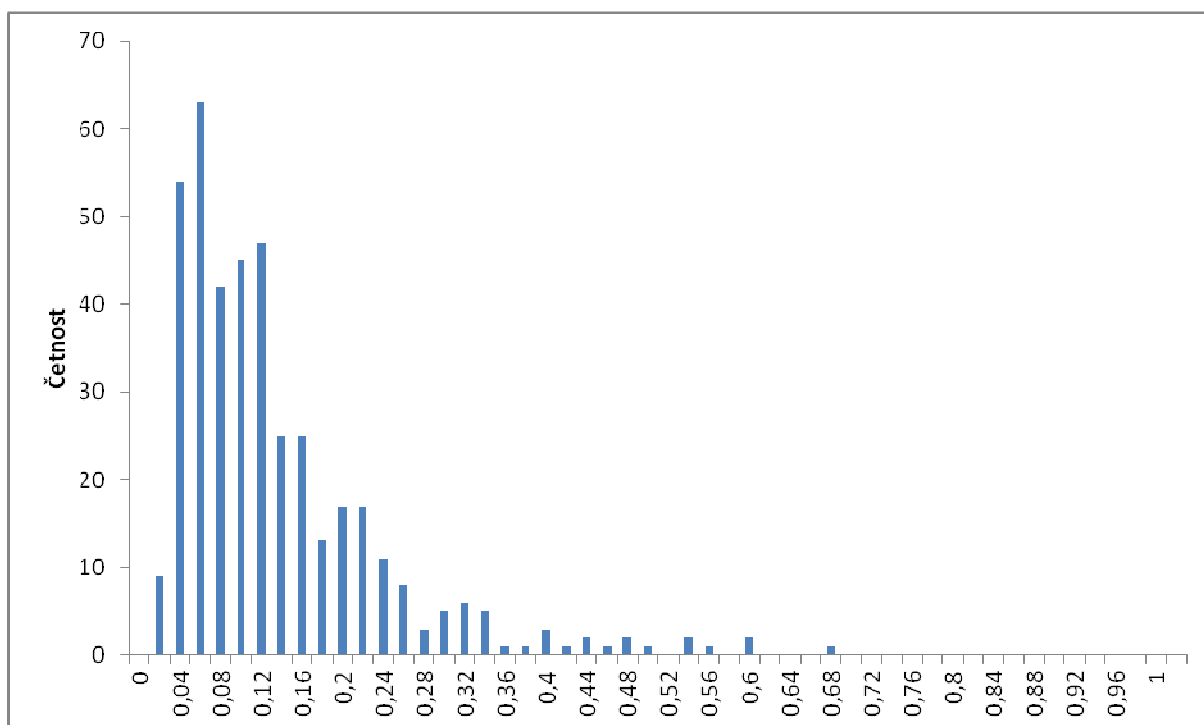
Obr. 53. Histogram ekvivalentního průměru pro neporušenou část horniny ve vzorku KM-ZE.



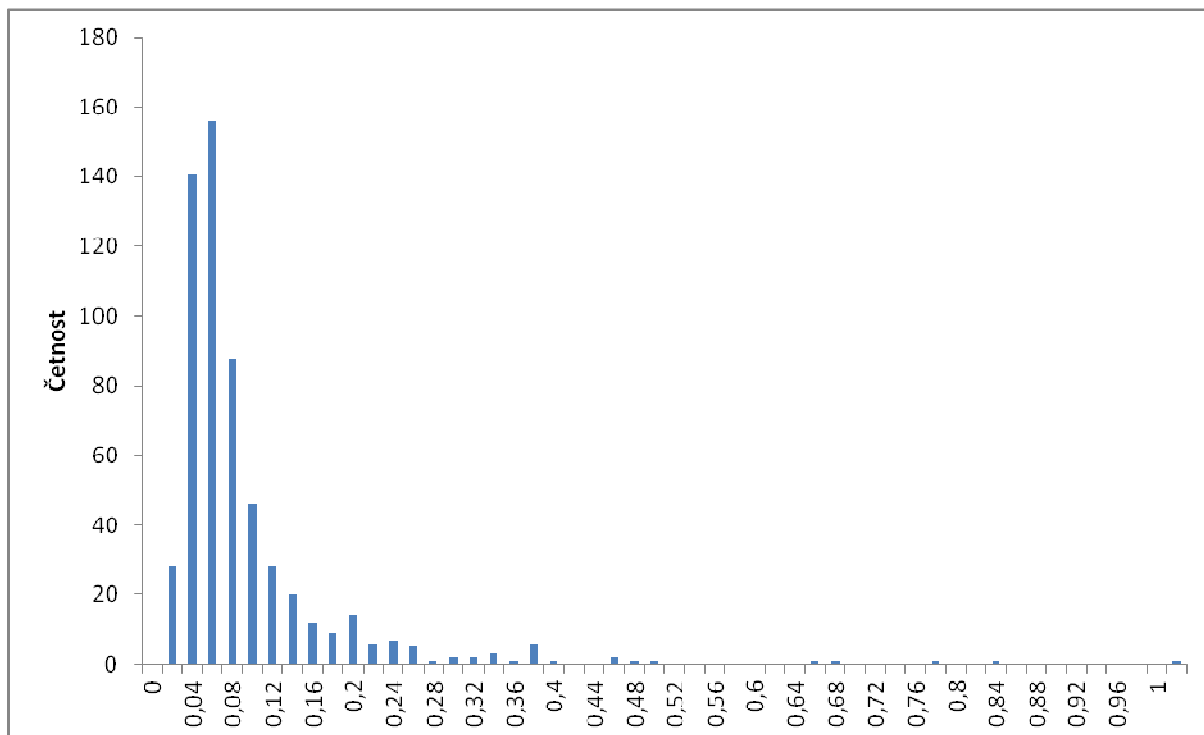
Obr. 54. Histogram ekvivalentního průměru pro vzorek KM-ZE (jeden úder).



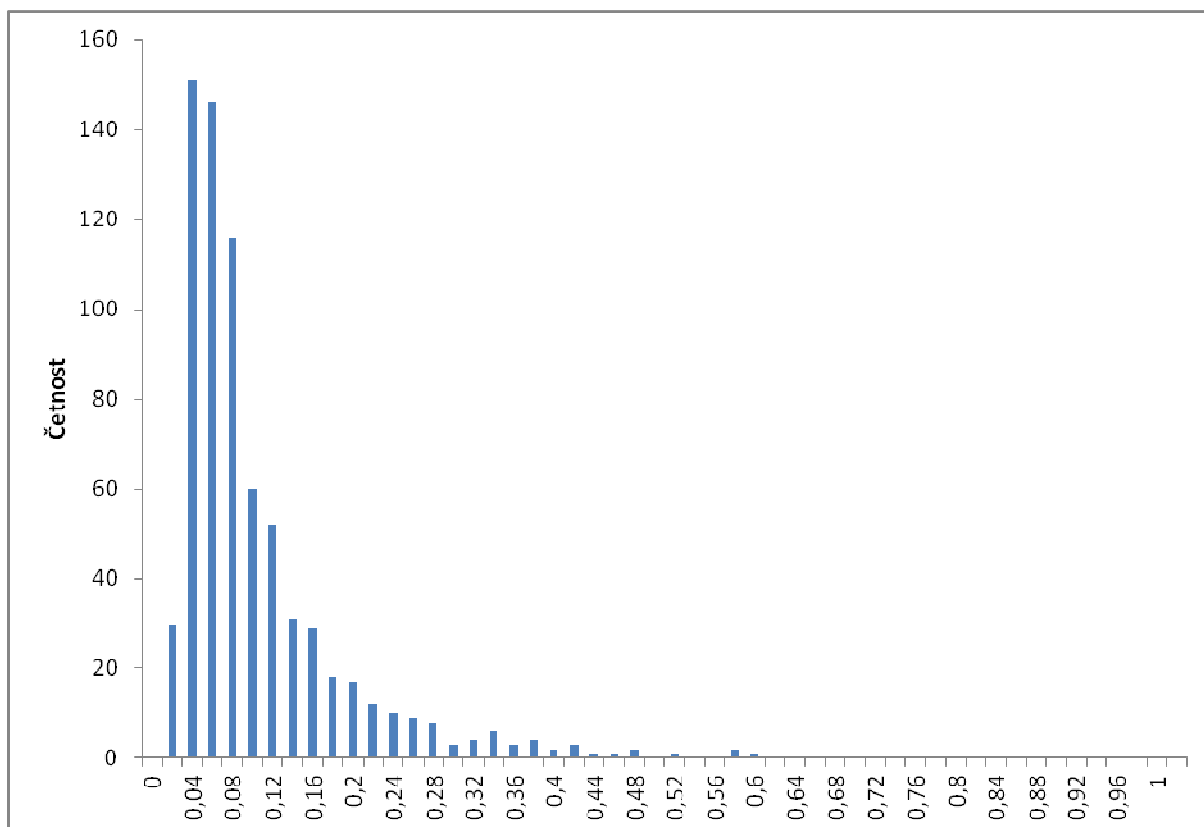
Obr. 55. Histogram ekvivalentního průměru pro vzorek KM-ZE (dva údery).



Obr. 56. Histogram ekvivalentního průměru pro vzorek KM-ZE (tři údery).

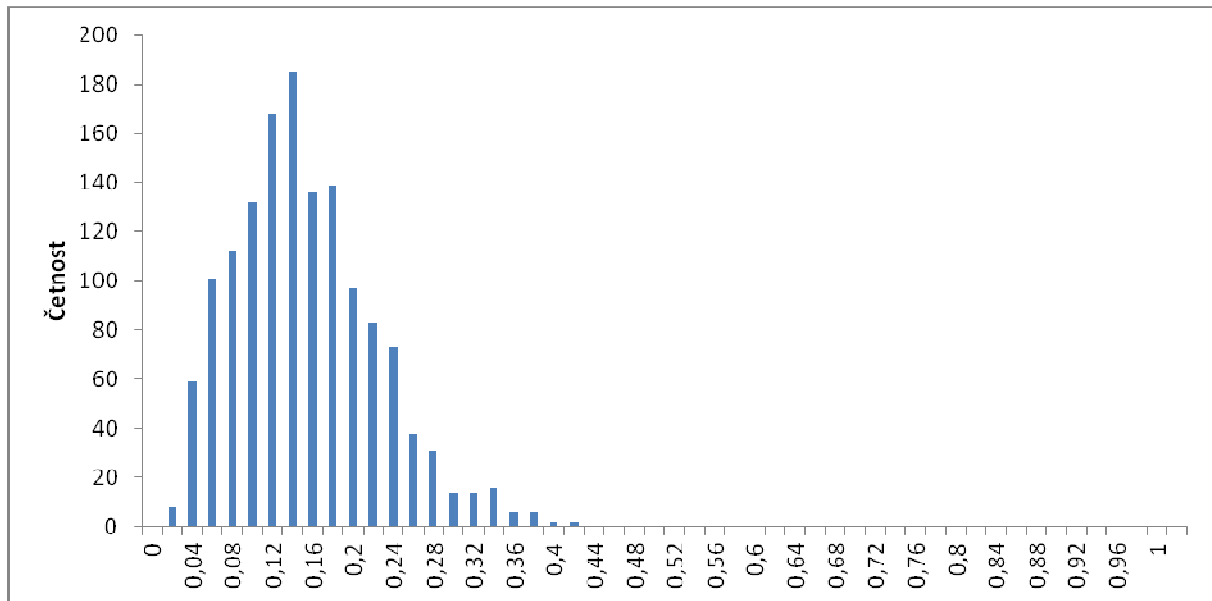


Obr. 57. Histogram ekvivalentního průměru pro vzorek KM-ZE (čtyři úderů).

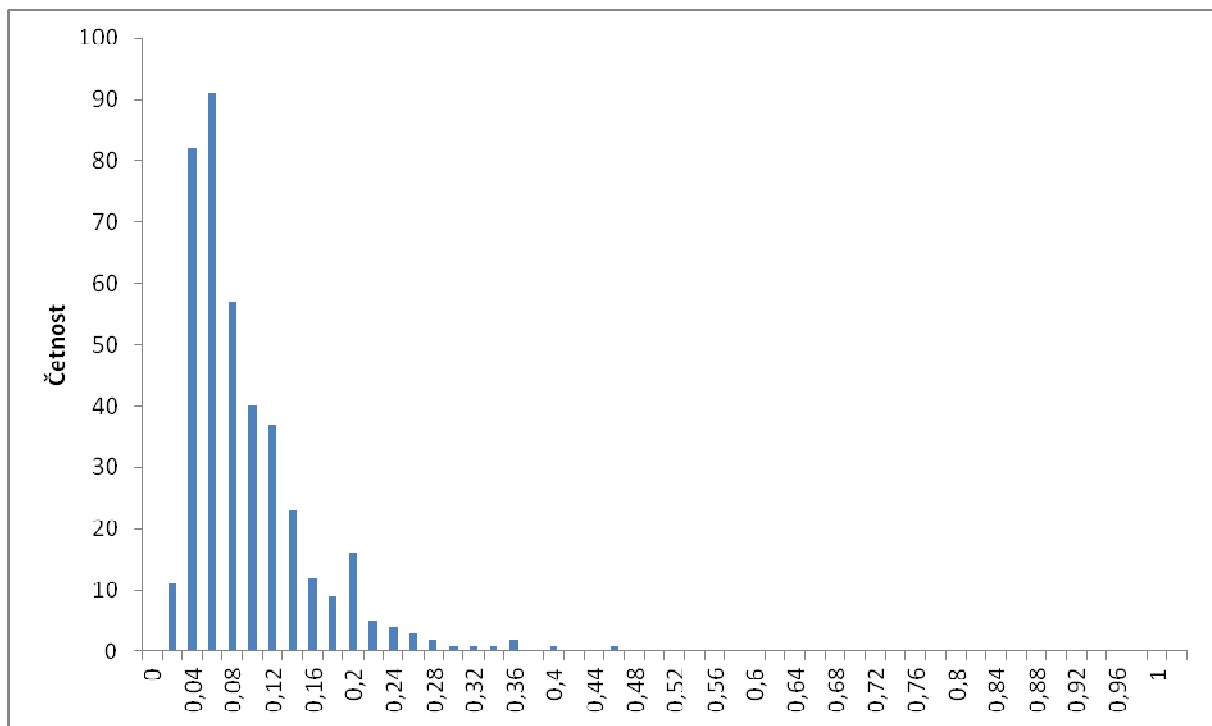


Obr. 58. Histogram ekvivalentního průměru pro vzorek KM-ZE (pět úderů).

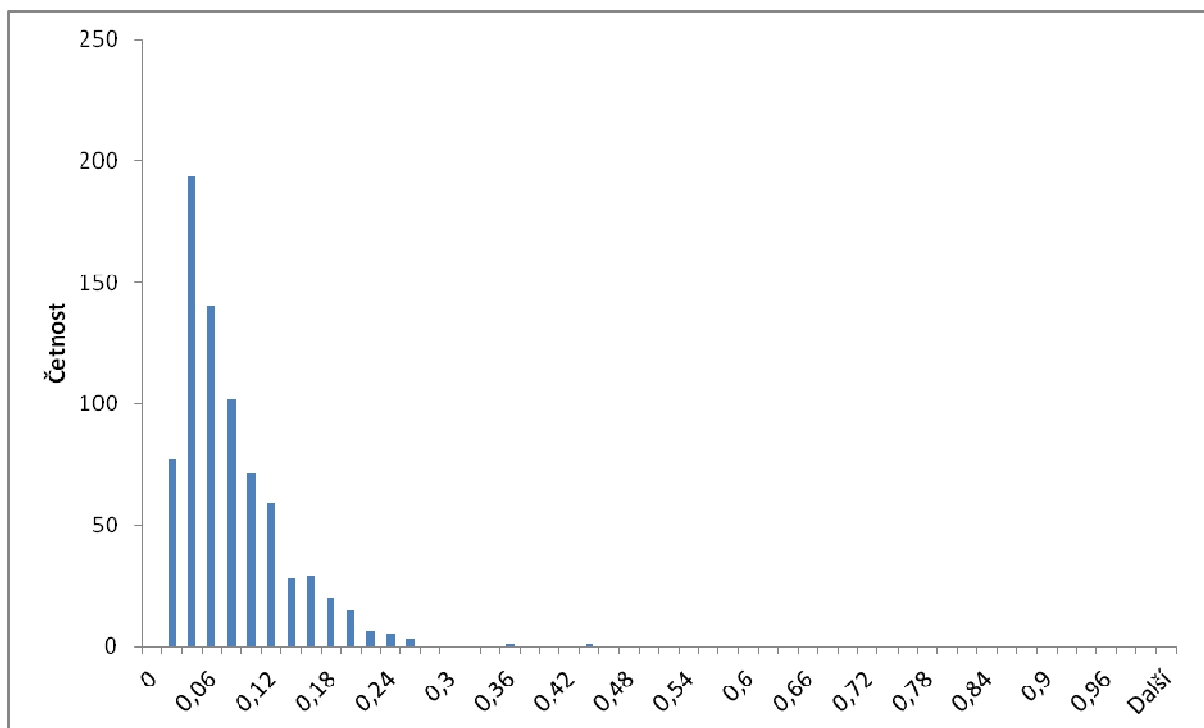
Vzorek KM-ZE1



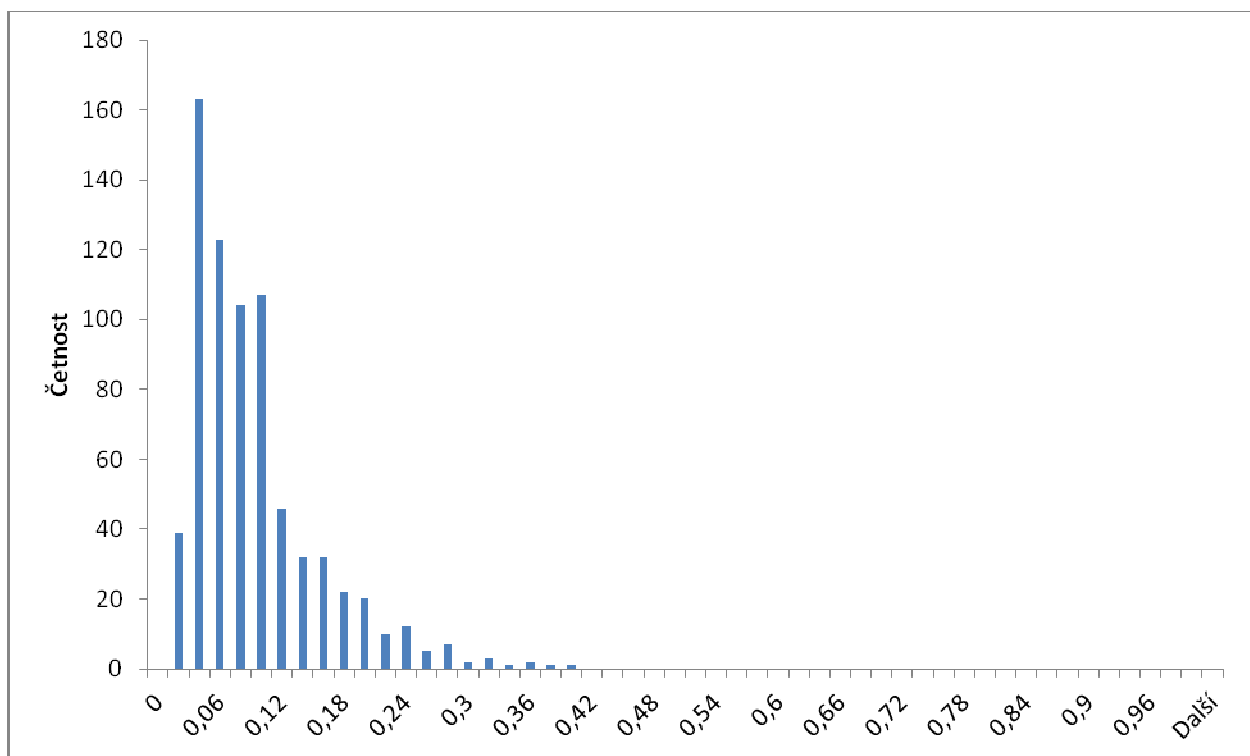
Obr. 59. Histogram ekvivalentního průměru pro neporušenou část horniny ve vzorku KM-ZE1.



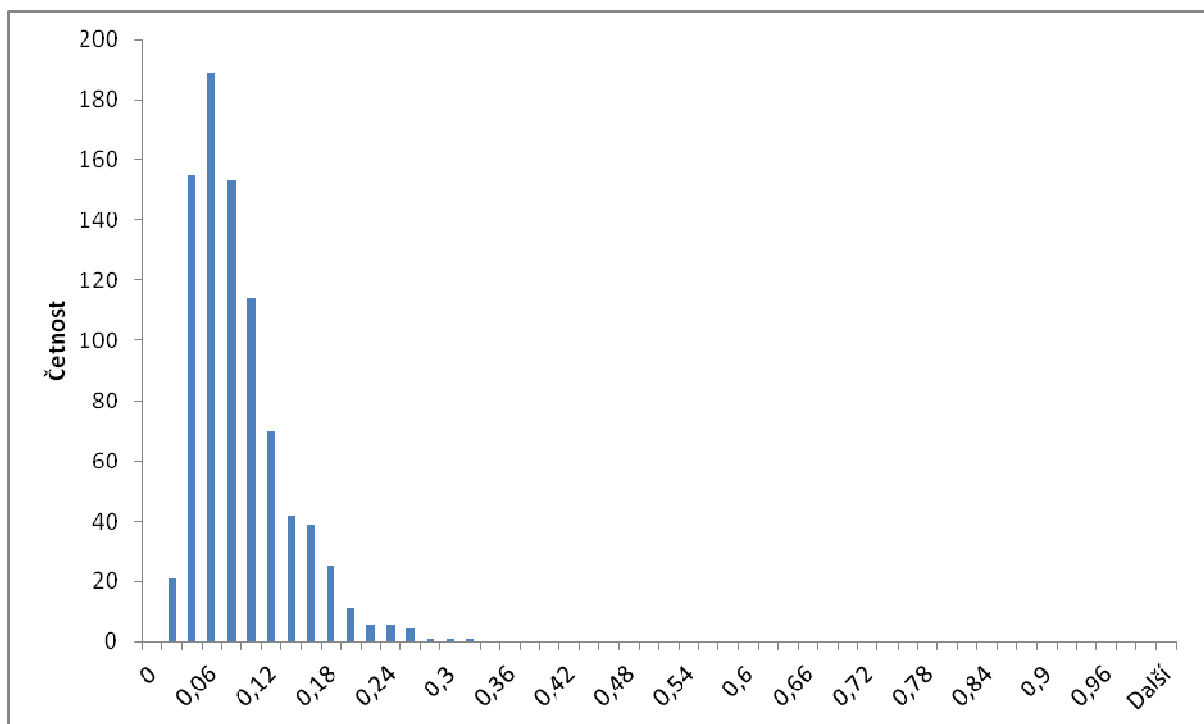
Obr. 60. Histogram ekvivalentního průměru pro vzorek KM-ZE1 (jeden úder).



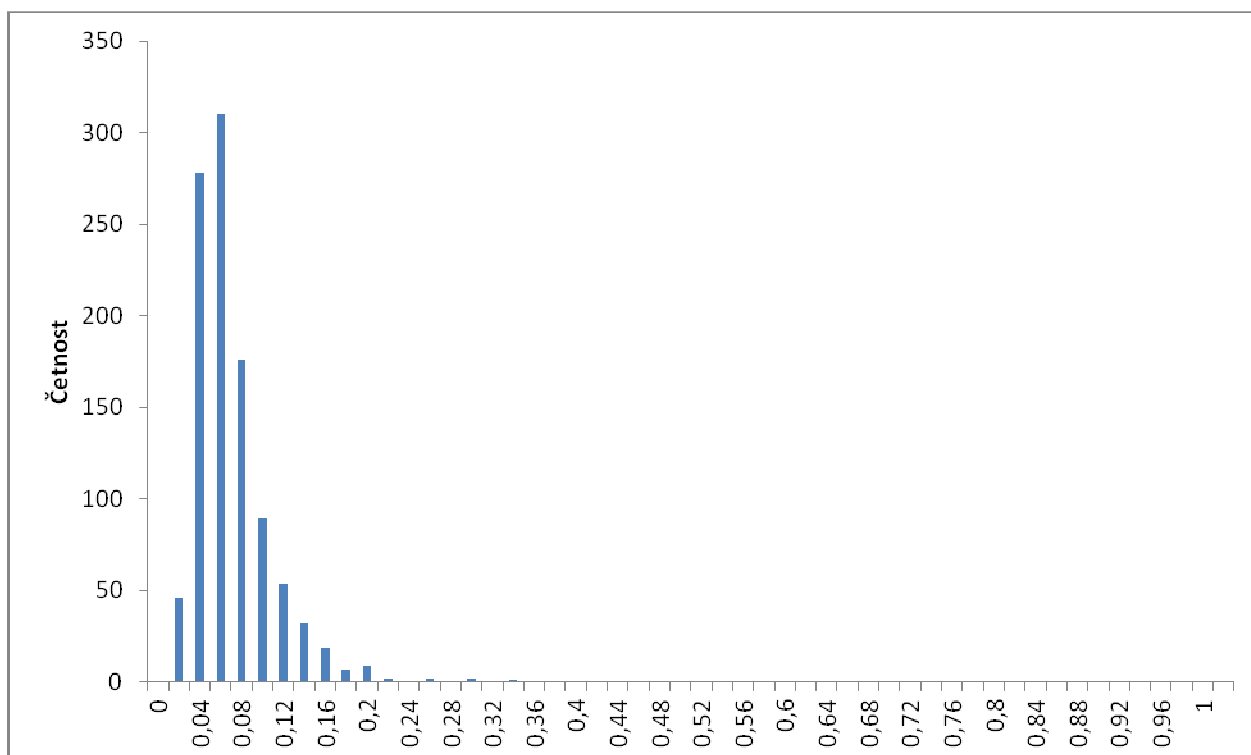
Obr. 61. Histogram ekvivalentního průměru pro vzorek KM-ZE1 (dva údery).



Obr. 62. Histogram ekvivalentního průměru pro vzorek KM-ZE1 (tři údery).

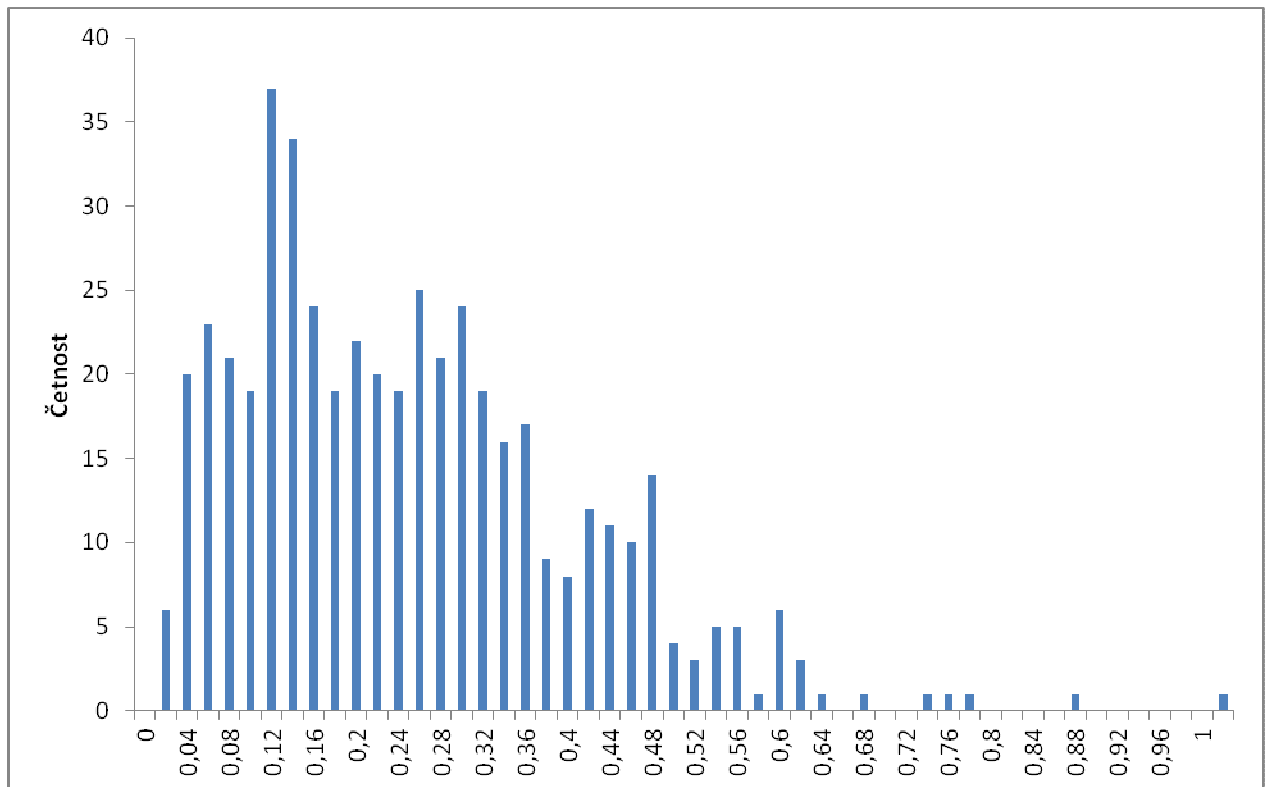


Obr. 63. Histogram ekvivalentního průměru pro vzorek KM-ZE1 (čtyři úderů).

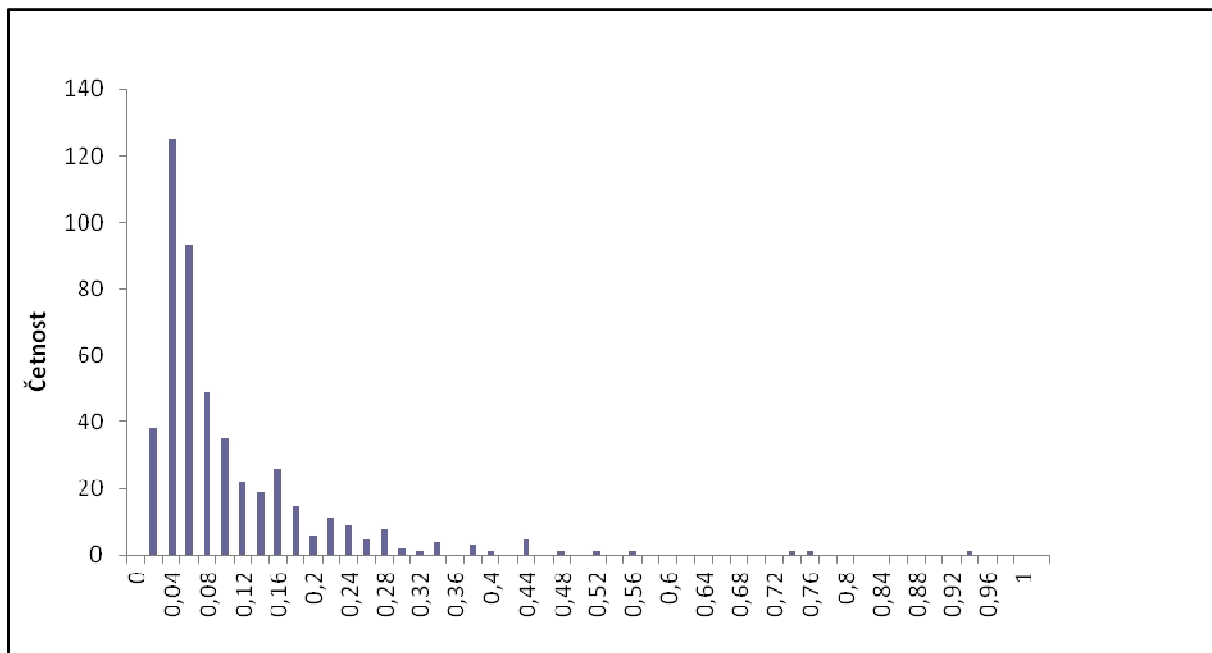


Obr. 64. Histogram ekvivalentního průměru pro vzorek KM-ZE1 (pět úderů).

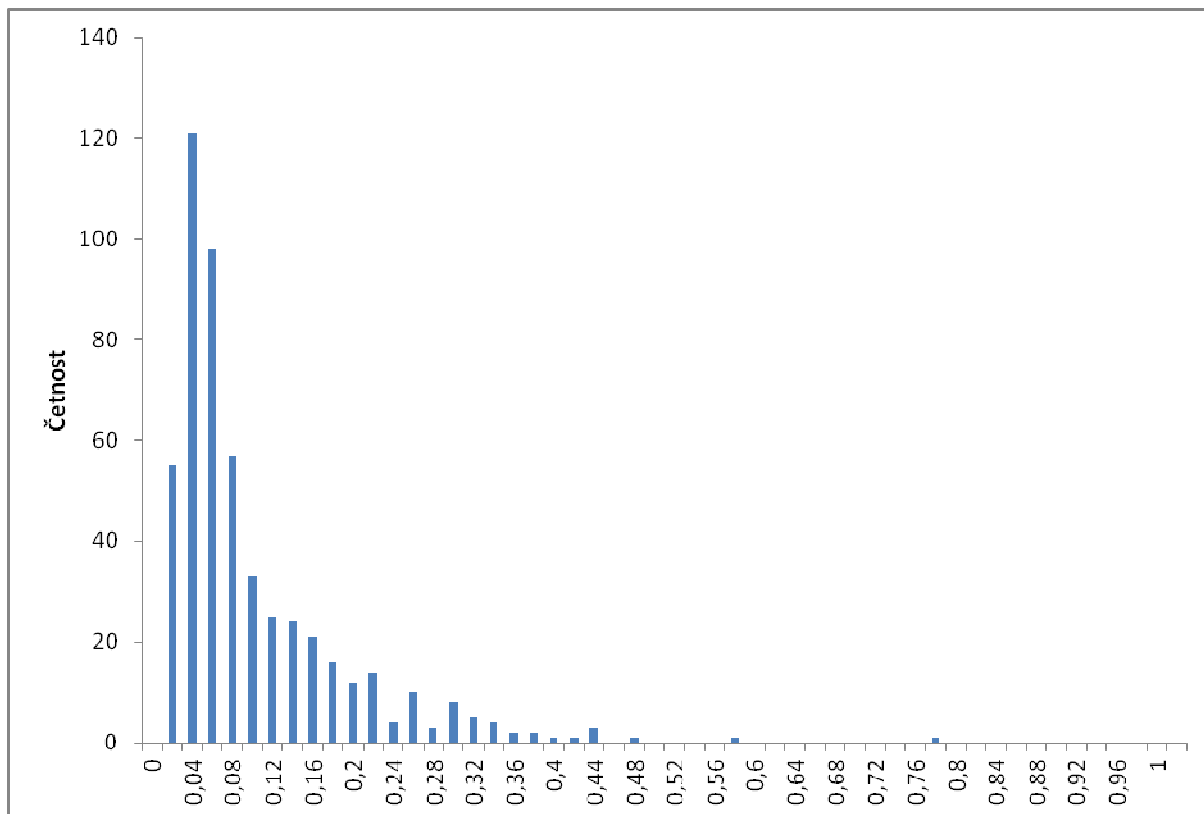
**Vzorek KM-ZE2**



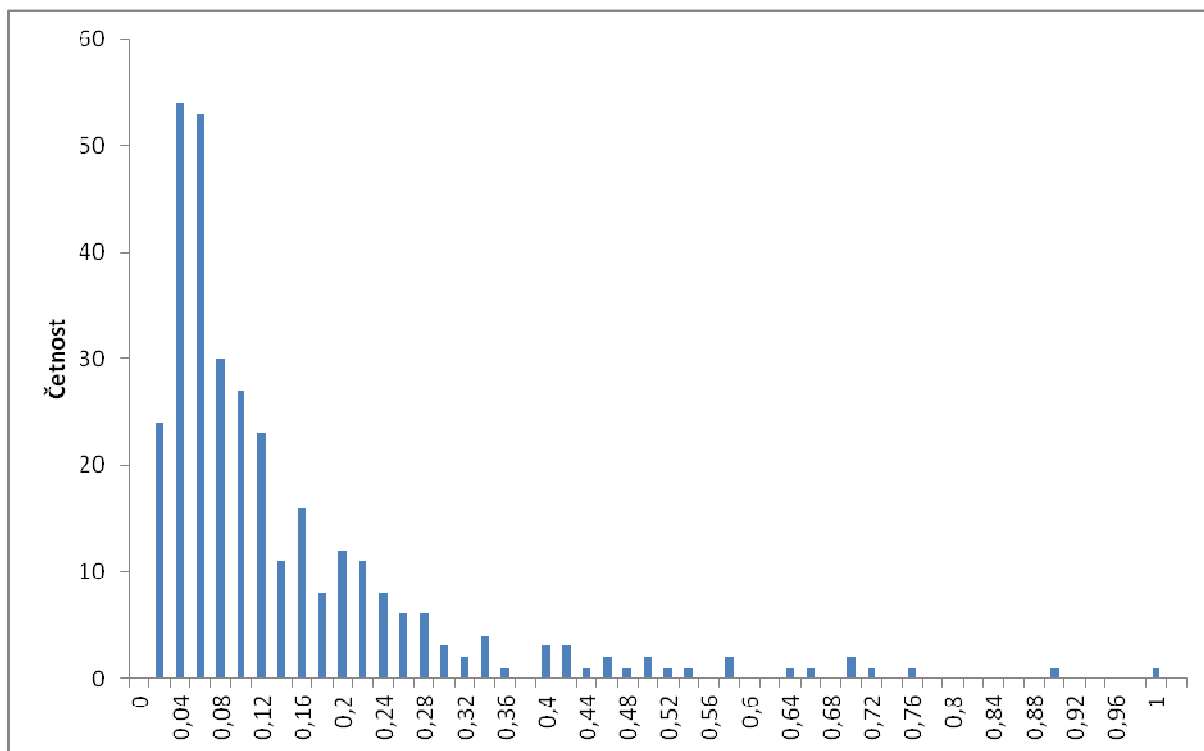
Obr. 65. Histogram ekvivalentního průměru pro neporušenou část horniny ve vzorku KM-ZE2.



Obr. 66. Histogram ekvivalentního průměru pro vzorek KM-ZE2 (jeden úder).

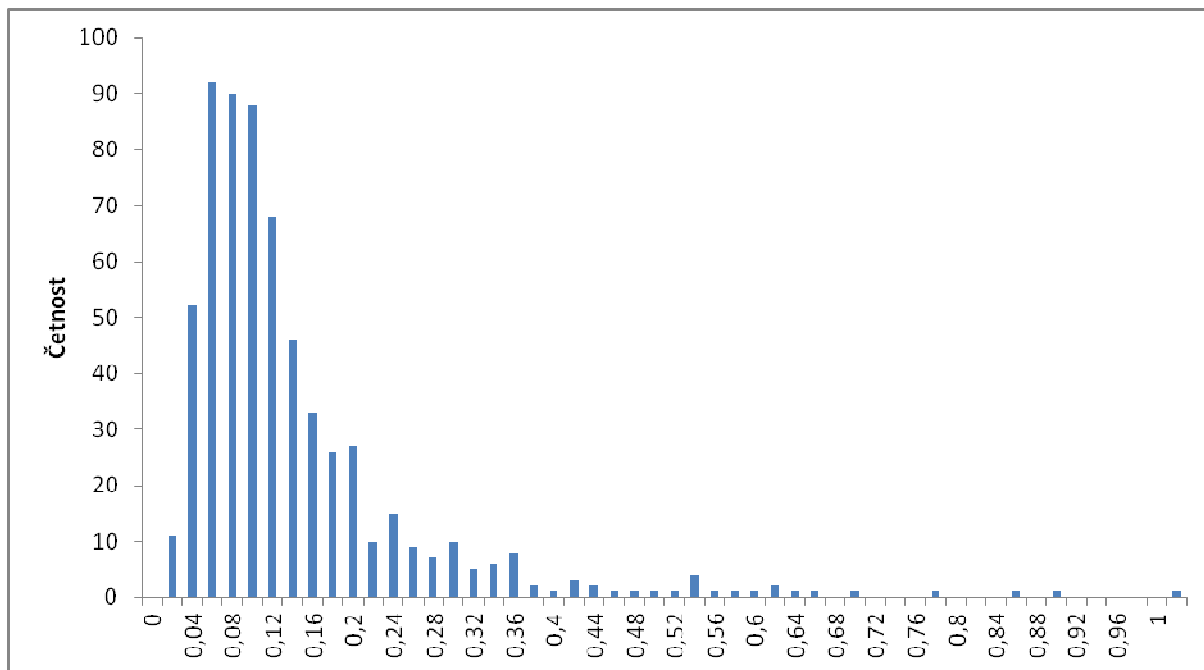


Obr. 67. Histogram ekvivalentního průměru pro vzorek KM-ZE2 (dva údery).

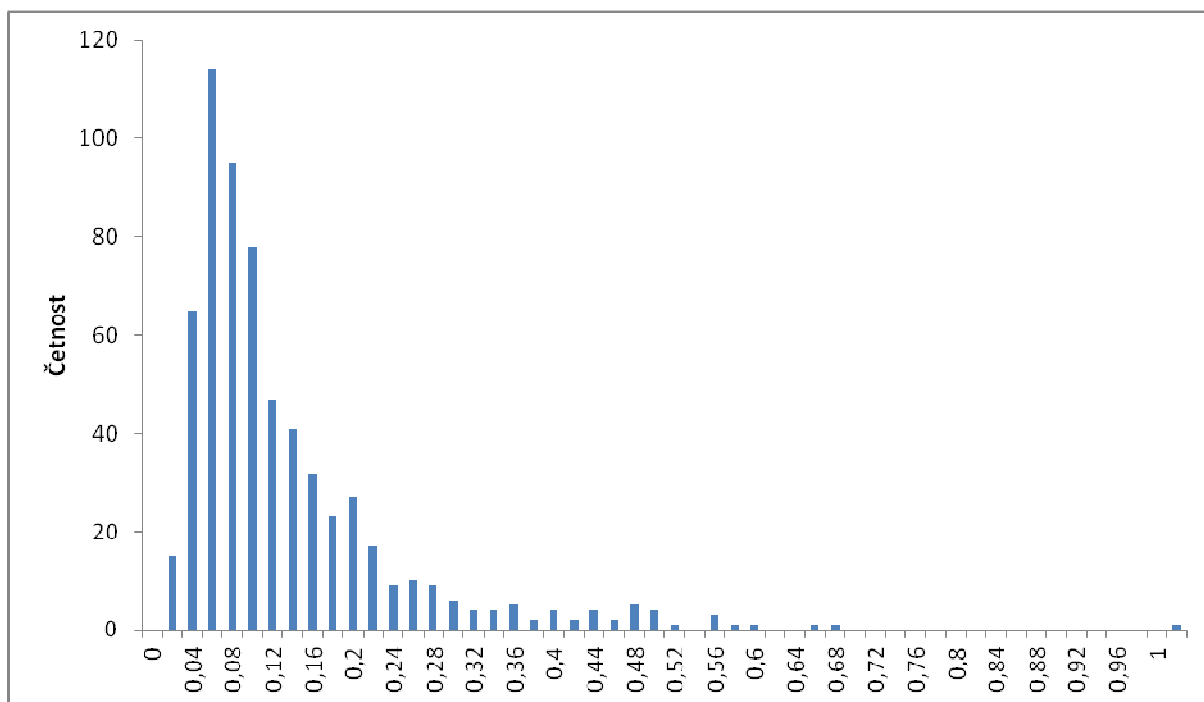


Obr. 68. Histogram ekvivalentního průměru pro vzorek KM-ZE2 (tři údery).



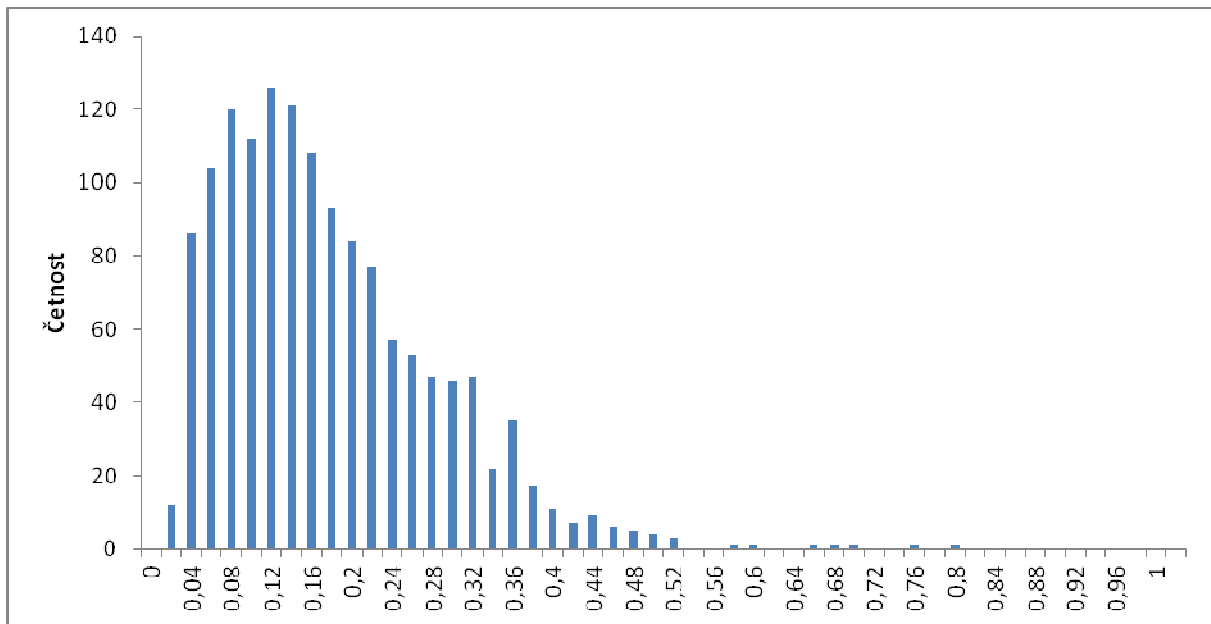


Obr. 69. Histogram ekvivalentního průměru pro vzorek KM-ZE2 (čtyři úderý).

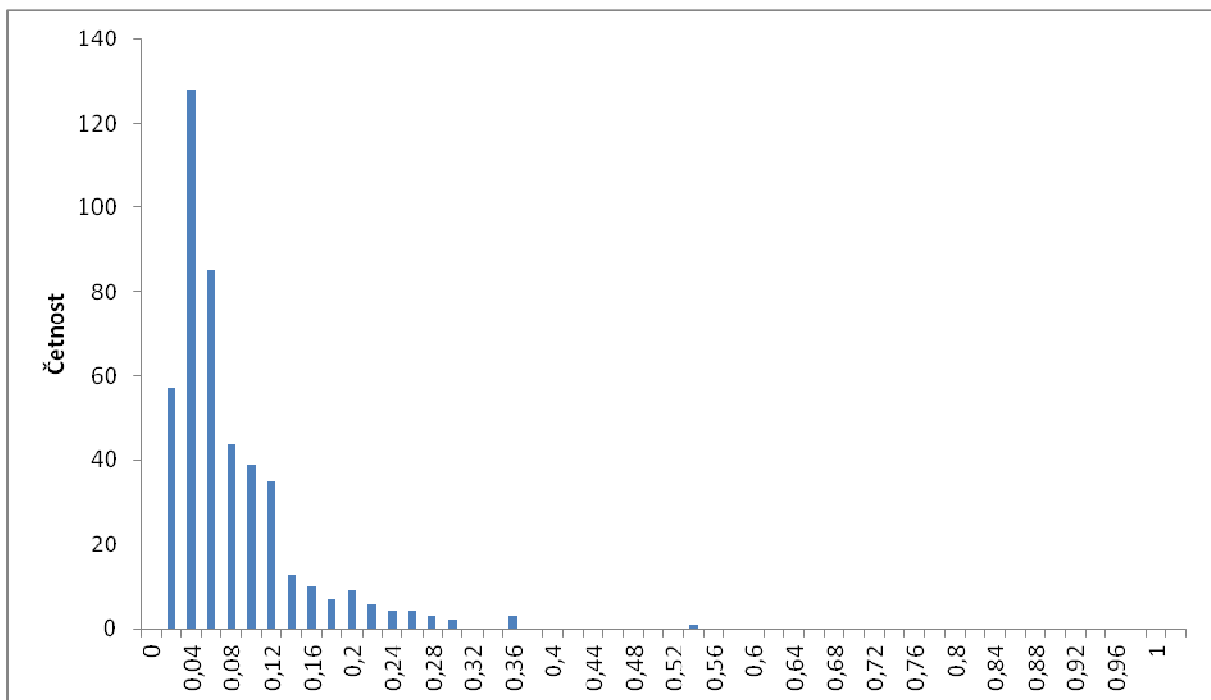


Obr. 70. Histogram ekvivalentního průměru pro vzorek KM-ZE2 (pět úderů).

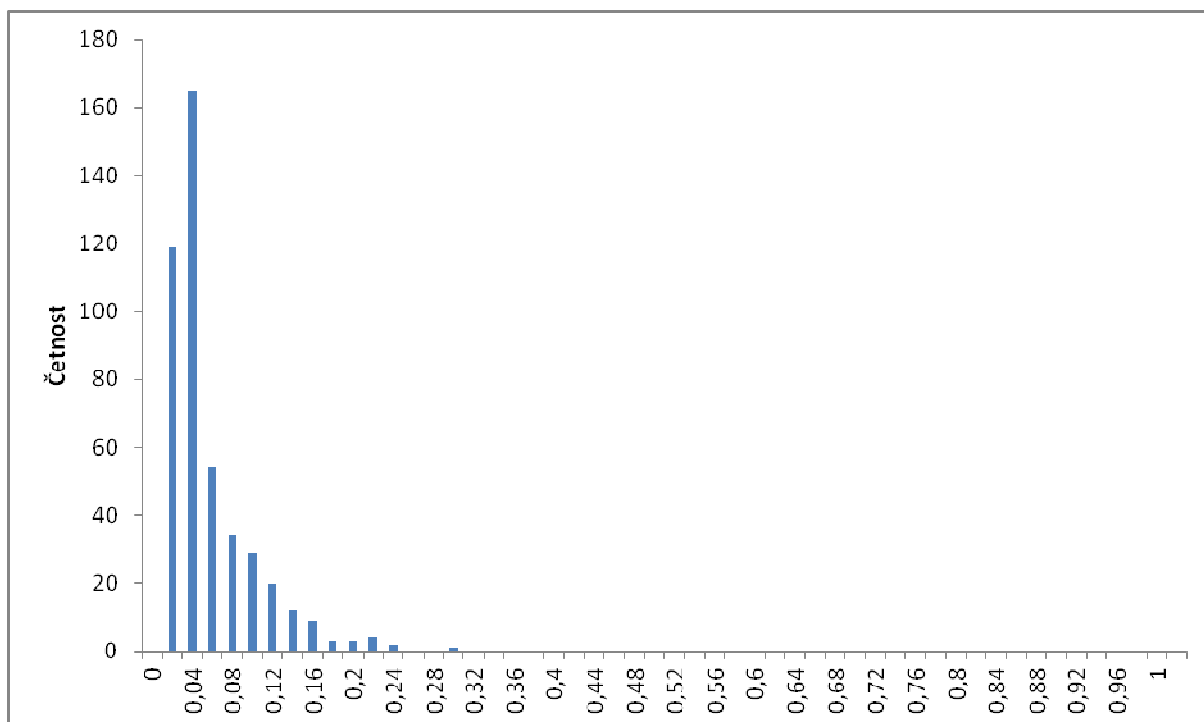
## Vzorek KO-S



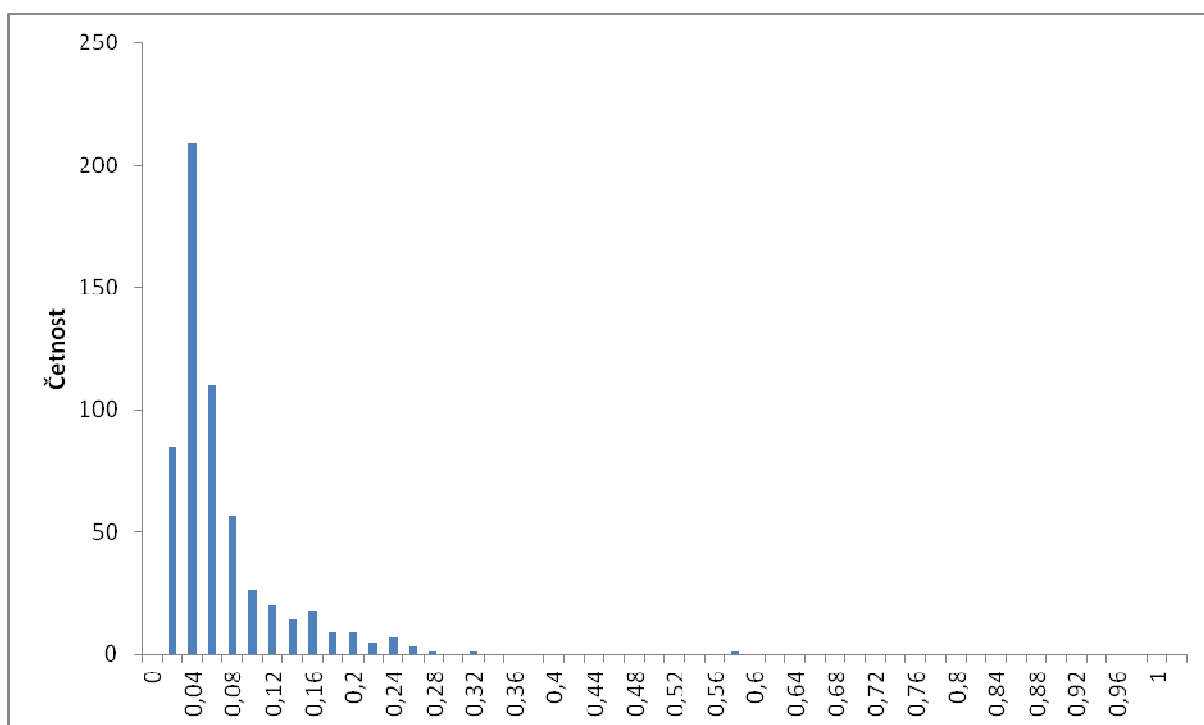
Obr. 71. Histogram ekvivalentního průměru pro neporušenou část horniny ve vzorku KO-S.



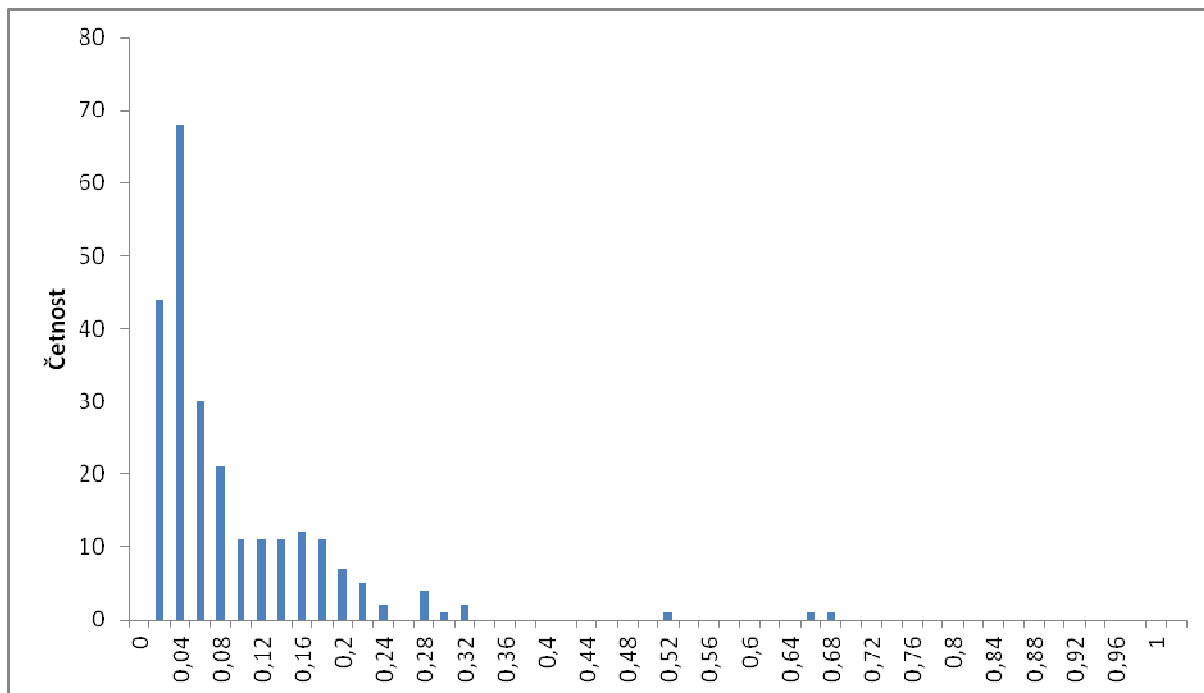
Obr. 72. Histogram ekvivalentního průměru pro vzorek KO-S (jeden úder).



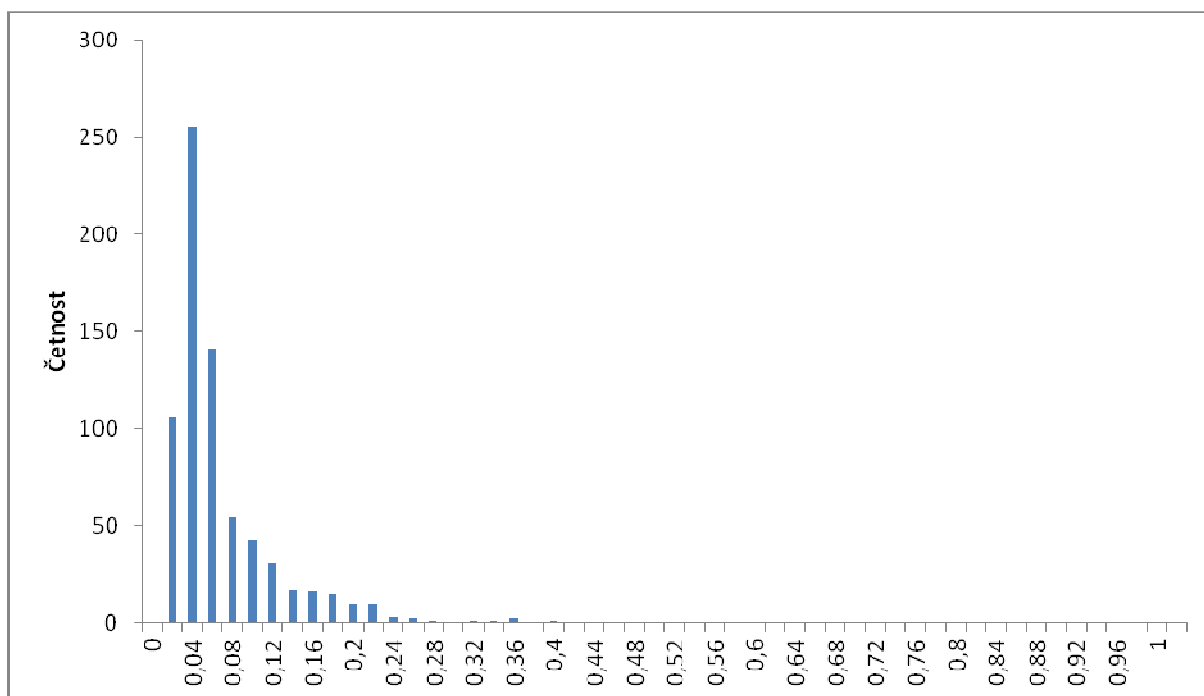
Obr. 73. Histogram ekvivalentního průměru pro vzorek KO-S (dva údery).



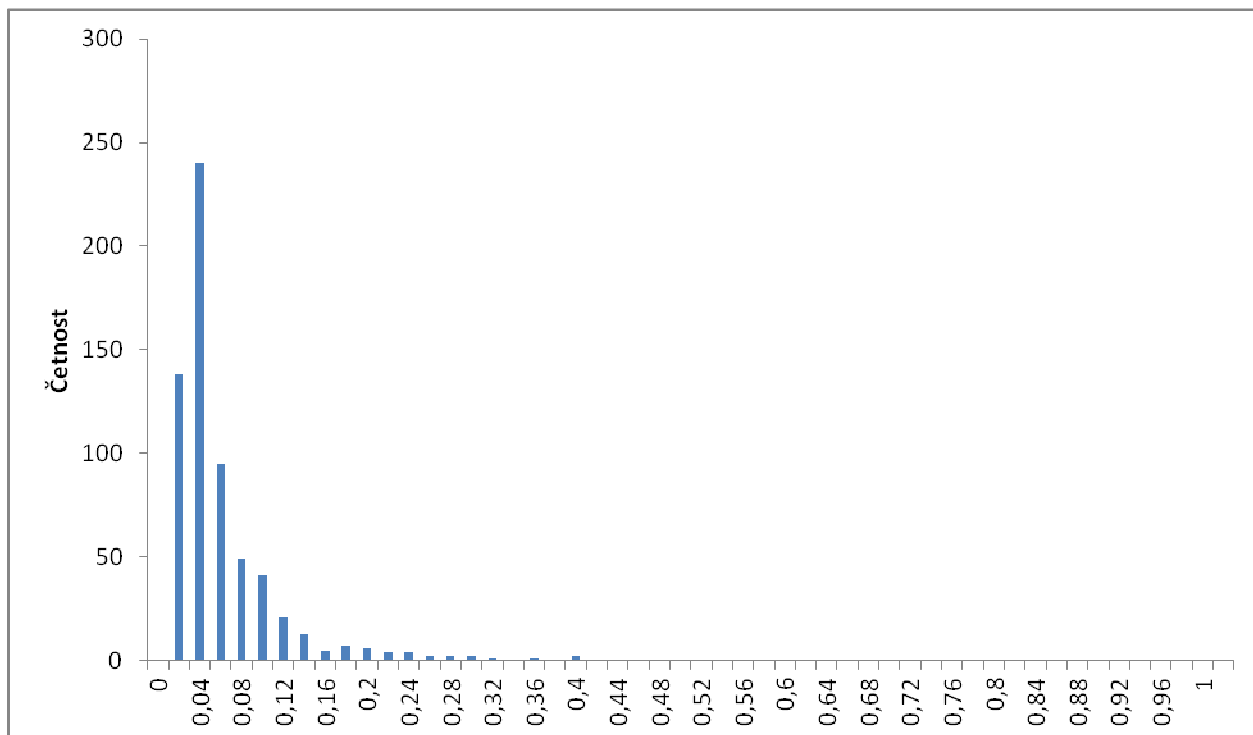
Obr. 74. Histogram ekvivalentního průměru pro vzorek KO-S (tři údery).



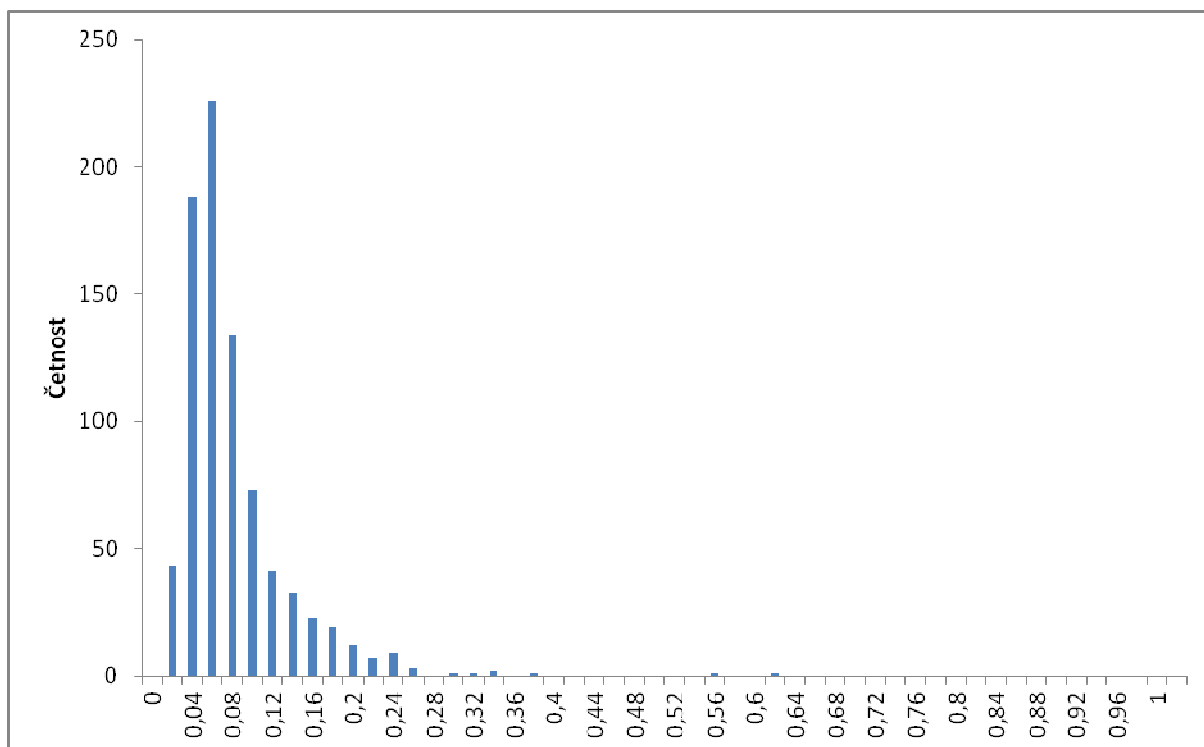
Obr. 75. Histogram ekvivalentního průměru pro vzorek KO-S (čtyři údery).



Obr. 76. Histogram ekvivalentního průměru pro vzorek KO-S (pět úderů).

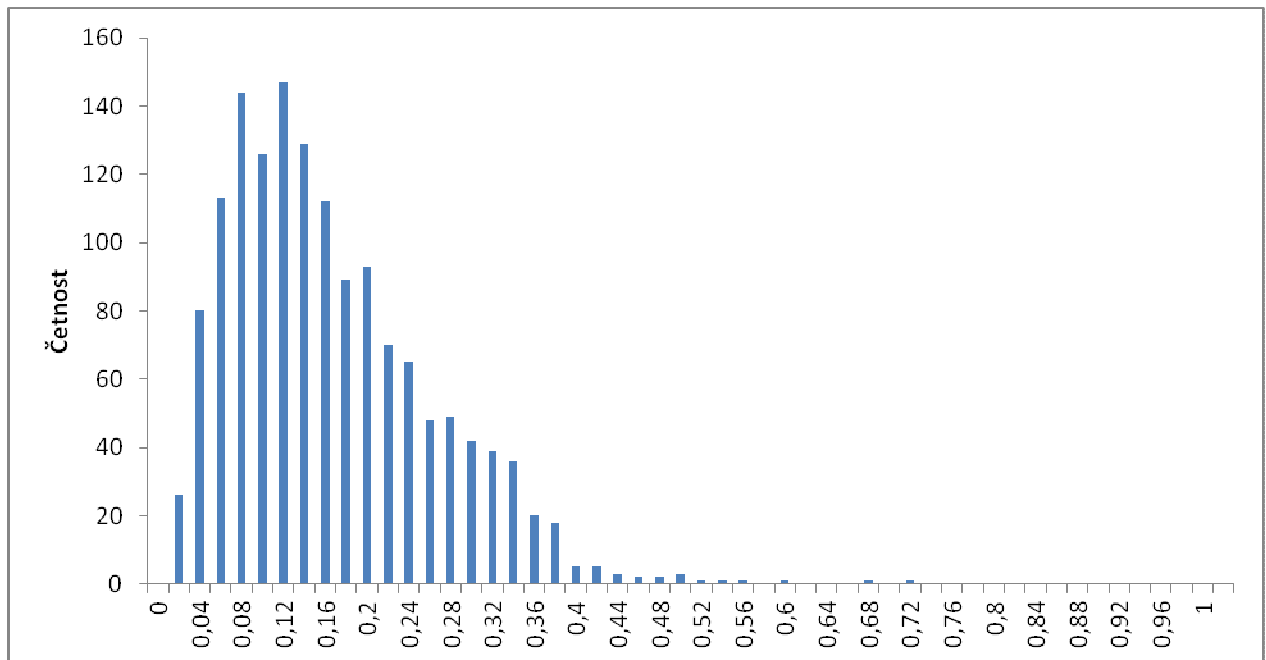


Obr. 77. Histogram ekvivalentního průměru pro vzorek KO-S (šest úderů).

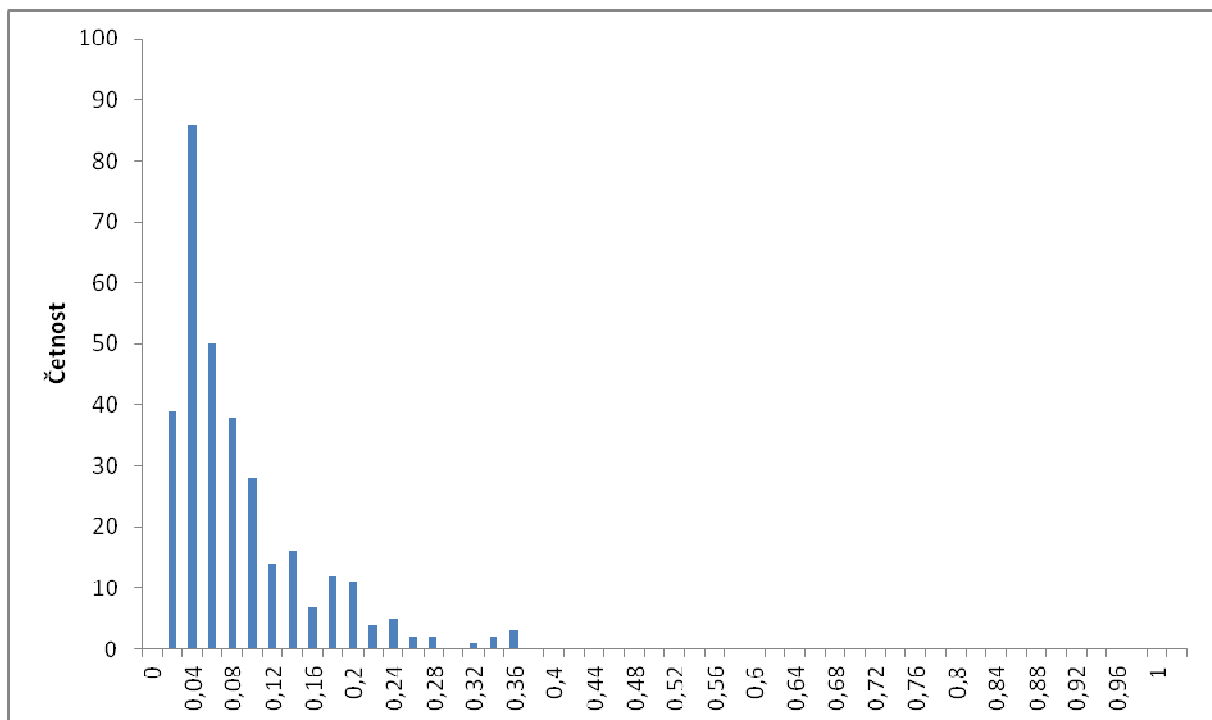


Obr. 78. Histogram ekvivalentního průměru pro vzorek KO-S (sedm úderů).

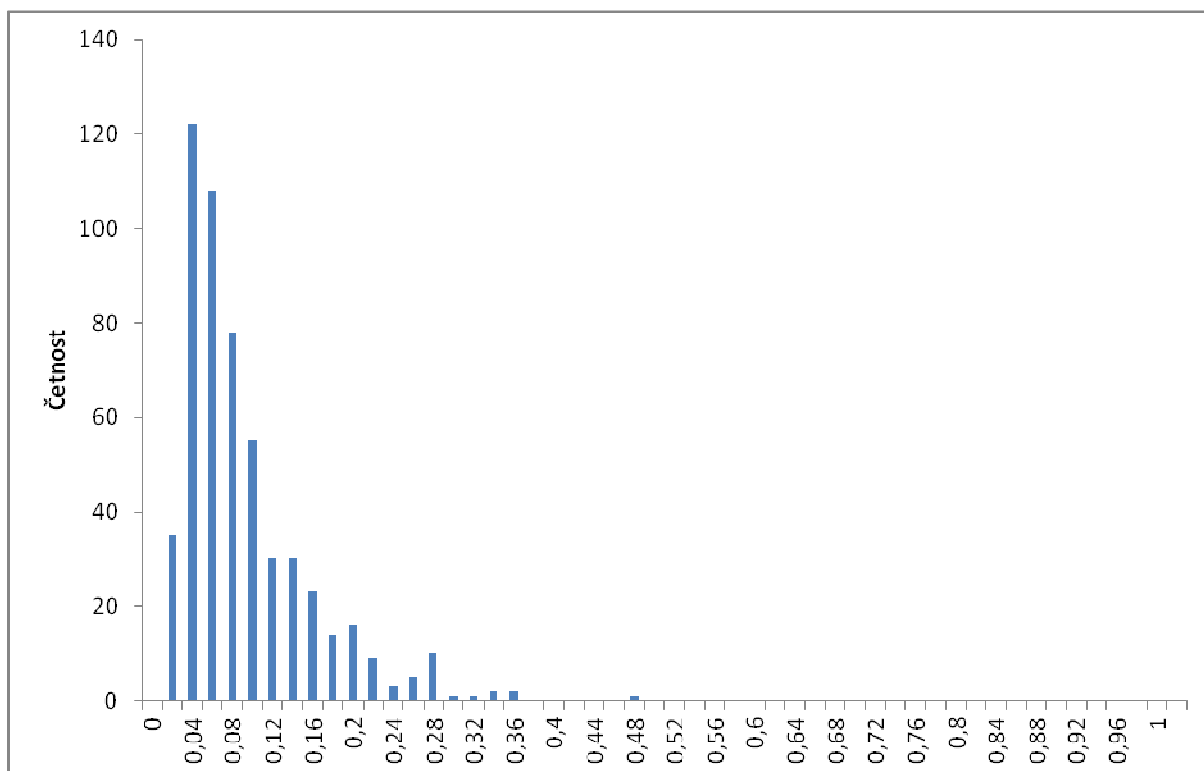
## Vzorek KO-M



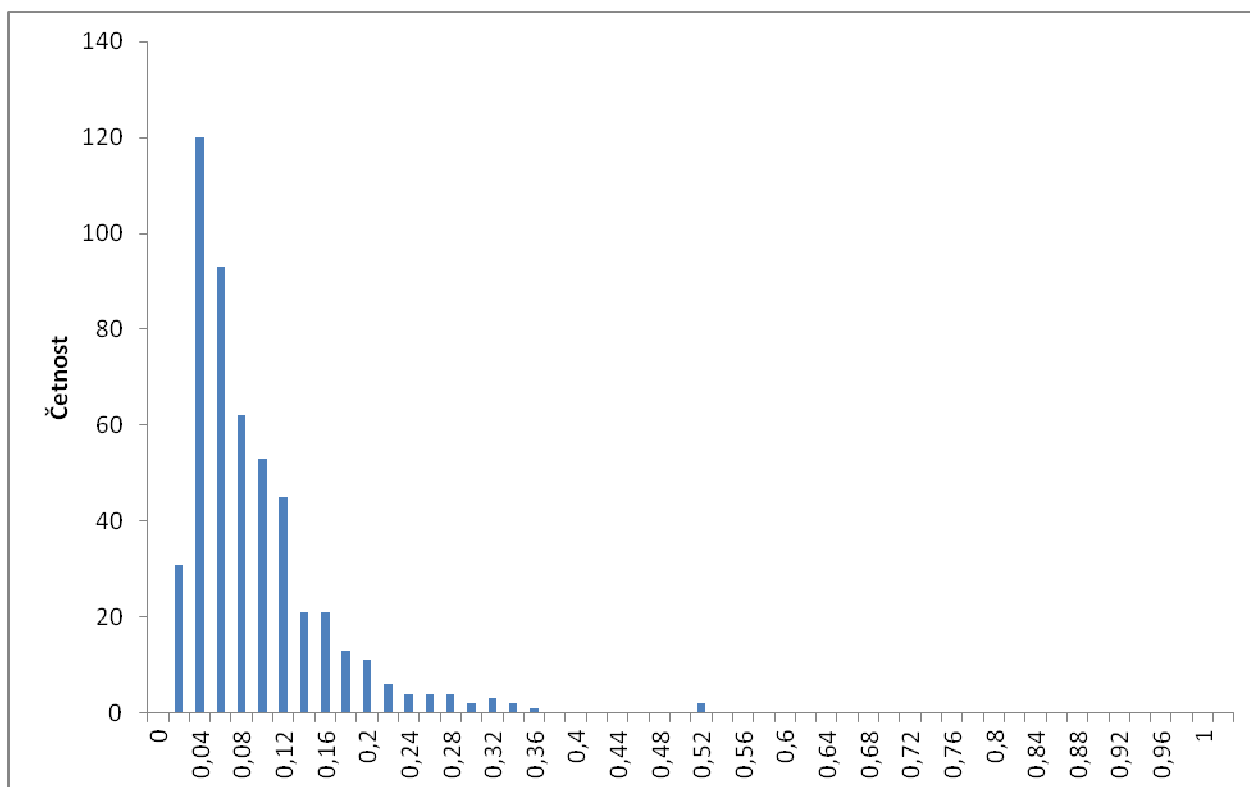
Obr. 79. Histogram ekvivalentního průměru pro neporušenou část horniny ve vzorku KO-M.



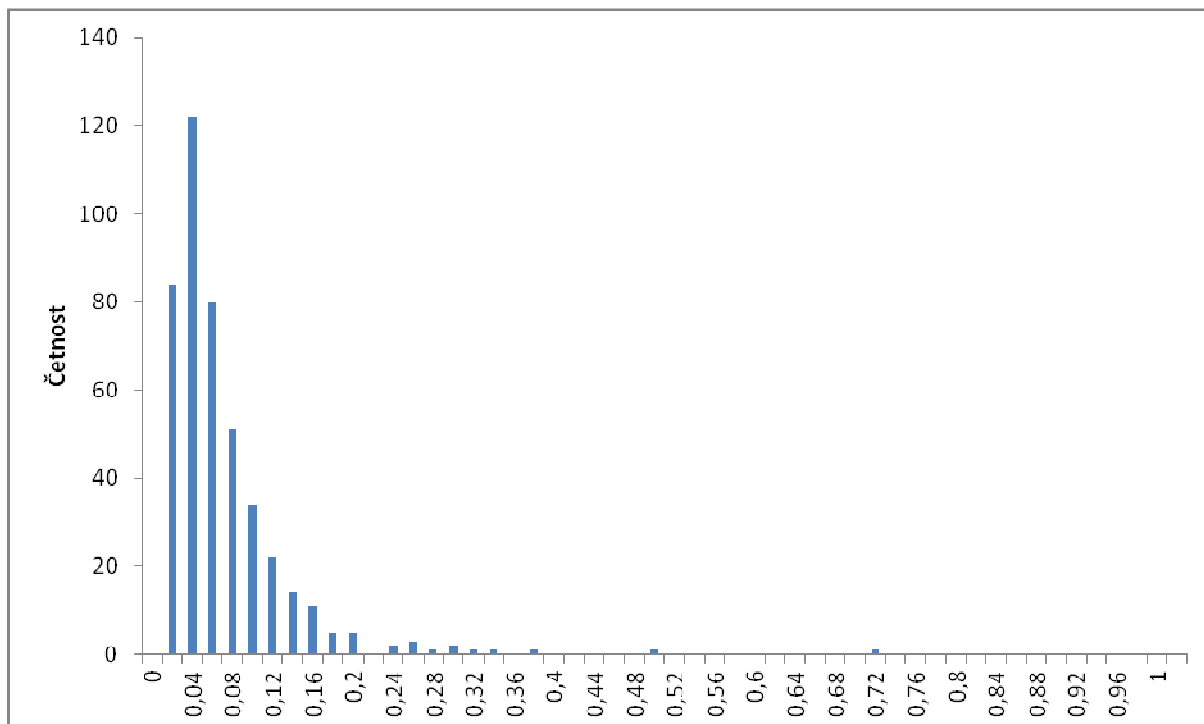
Obr. 80. Histogram ekvivalentního průměru pro vzorek KO-M (jeden úder).



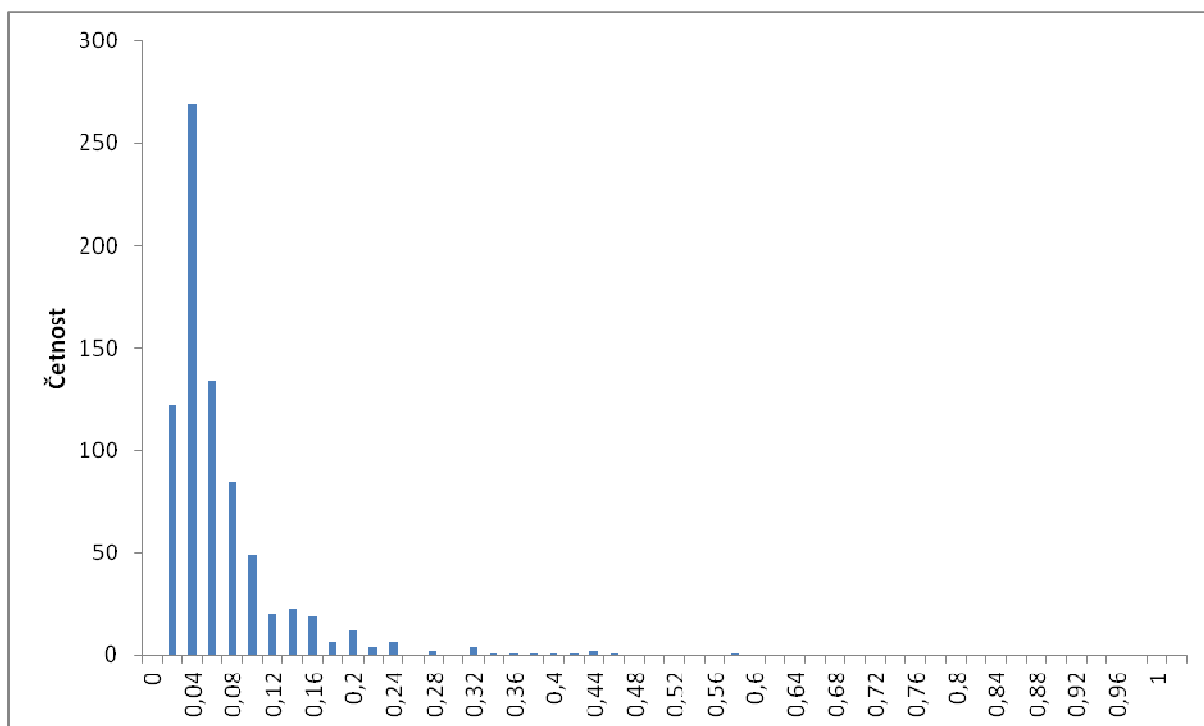
Obr. 81. Histogram ekvivalentního průměru pro vzorek KO-M (dva údery).



Obr. 82. Histogram ekvivalentního průměru pro vzorek KO-M (čtyři údery).

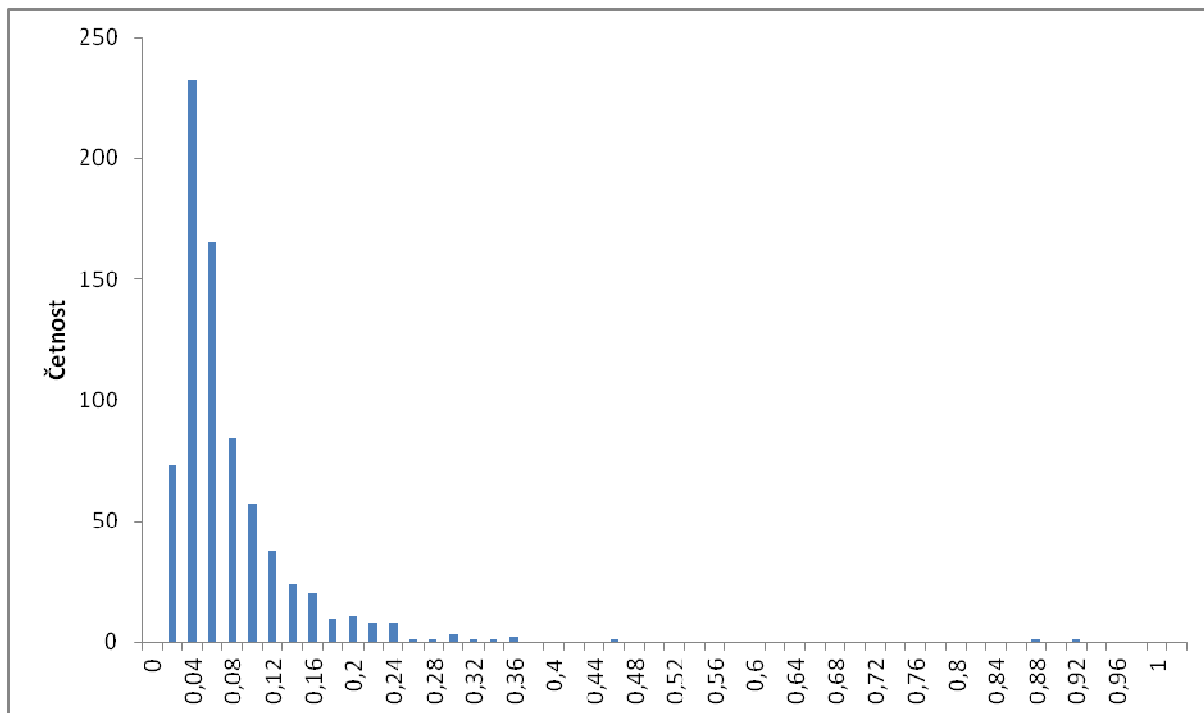


Obr. 83. Histogram ekvivalentního průměru pro vzorek KO-M (pět úderů).



Obr. 84. Histogram ekvivalentního průměru pro vzorek KO-M (šest úderů).





Obr. 85. Histogram ekvivalentního průměru pro vzorek KO-M (sedm úderů).